

**INSTITUTUL POLITEHNIC "TRAIAN VUIA" TIMIȘOARA  
Facultatea de Tehnologie Chimică**

**Ing. LAZAU IOAN**

**CIMENTURI CU INTARIRE RAPIDA SI  
TEMPERATURA JOASA DE ARDERE**

**Tesătură  
pentru obținerea titlului de doctor inginer**

**CONDUCATOR STIINȚIFIC  
Prof.dr.ing. IOAN DRAGOI**

BIBLIOTECA CENTRALĂ  
UNIVERSITATEA "POLITEHNICA"  
TIMIȘOARA

- 1990 -

NR. 100	554358
Vol. 1	292
Dur.	F



## C U P R I N S

	Pag.
<b>Cap.1. CIMENTURI CU INTARIRE RAPIDA</b>	<b>3</b>
1.1. Cimenturi portland cu întărire rapidă	3
1.2. Cimenturi cu întărire rapidă pe bază de siguri de furnal și clincher de ciment portland	6
<b>Cap.2. CAI DE REDUCERE A TEMPERATURII DE ARDERE A         CLINCHERELOR</b>	<b>10</b>
2.1. Utilizarea mineralizatorilor	10
2.2. Utilizarea diferitelor deșeuri industriale în componenta amestecului de materii prime	12
2.3. Scăderea temperaturii de ardere a clincherelor pe seama compoziției mineralogice	14
<b>Cap.3. CIMENTURI CU INTARIRE RAPIDA SI TEMPERATURA         JOASA DE ARDERE</b>	<b>18</b>
3.1. Cimenturi cu conținut de halogenocaluminat de calcium	18
3.1.1. Structura și proprietățile compusului $C_{12}A_7$ și a modificărilor lui	18
3.1.2. Cimenturi halogenocaluminatice obținute prin introducerea halogenilor în amestecul de materii prime	26
3.1.3. Cimenturi halogenocaluminatice obținute prin amestecarea unor cimenturi portland cu halogenocaluminat preparați anterior	37
3.1.4. Reglarea timpului de prindere a cimenturilor cu conținut de halogenocaluminat de calcium	38
3.2. Cimenturi cu conținut de sulfataluminat de calcium	39
3.2.1. Structura și proprietățile sulfataluminatului de calciu	39
3.2.2. Obținerea cimenturilor sulfataluminatice	41
3.2.3. Cimenturi cu întărire rapidă obținute prin amestecarea unor cimenturi cu sulfat de calcium	44
3.2.4. Cimenturi cu conținut de alunit	44
<b>Cap.4. DETERMINARI EXPERIMENTALE IN VEDEREA STABILITATII         STRUCTURII SI A PROPRIETATILOR HEPTAALUMINATULUI         DE CALCIU SI A MODIFICARILOR LUI HALOGENATE</b>	<b>46</b>

4.1. Sintesa și caracterizarea structurală a fluoroaluminatului de calciu	46
4.2. Studiul comparativ al proprietăților hidraulice ale $C_{12}A_7$ și $C_{11}A_7 \cdot CaX_2$	52
4.3. Influența condițiilor de obținere asupra proprietăților hidraulice ale $C_{11}A_7 \cdot CaX_2$	58
4.4. Stabilirea influenței unor adăosuri întinsitoare asupra proprietăților hidraulice ale $C_{11}A_7 \cdot CaX_2$	65
4.5. Influența temperaturii de ardere asupra conținutului de halogeni din halogenoaluminatii de calciu	69
<b>Cap.5. DETERMINARI EXPERIMENTALE IN VEDEREA OBȚINERII UNOR CIMENTURI CU CONȚINUT DE <math>C_{11}A_7 \cdot CaX_2</math></b>	<b>74</b>
5.1. Obținerea unor cimenturi cu conținut de $C_{11}A_7 \cdot CaX_2$ prin introducerea $CaX_2$ în amestecul de materii prime	74
5.1.1. Influența adăosului de $CaF_2$ asupra formării mineralilor în sistemul $CaO-Al_2O_3-SiO_2$	74
5.1.2. Obținerea unor cimenturi fluoroaluminatice în sistemul $CaO-Al_2O_3-SiO_2-CaF_2$	81
5.2. Obținerea unor cimenturi cu conținut de halogenoaluminati prin adăosul de $C_{11}A_7 \cdot CaX_2$ la cimenturi portland	91
<b>Cap.6. OBȚINEREA UNOR CIMENTURI CU TEMPERATURA JOASA DE ARDERE, IN PARAGHEMEA <math>C_{11}A_7 \cdot CaCl_2-C_4AF-C_2S</math></b>	<b>98</b>
<b>Cap.7. OBȚINEREA UNOR CIMENTURI ALBII CU TEMPERATURA JOASA DE ARDERE, PE BAZA DE <math>C_{11}A_7 \cdot CaX_2</math></b>	<b>106</b>
<b>Cap.8. STUDIUL PROCESELOR DE HIDRATARE ALE CIMENTURILOR HALOGENOALUMINATICE OBTINUTE</b>	<b>109</b>
<b>CONCLuzii GENERALE</b>	<b>121</b>
<b>Bibliografie</b>	<b>125</b>

## INTRODUCERE

O tendință puternic rezimțită în industria cimentului în ultimii ani este aceea de a fabrica și a utiliza cimenturi cu întărire rapidă și rezistențe mari. Aceste cimenturi asigură reducerea timpului de construcție, creșterea vitezei de circulație a tiparelor, scăderea masei construcțiilor și ca urmare determină importante economii de materiale și avantaje economice.

Pe de altă parte criza energetică mondială din ultimul deceniu pune și în domeniul industriei cimentului (material energo-intensiv) serioase probleme de orientare, de folosire rațională și reducere a consumurilor energetice. Consumul teoretic de căldură pentru obținerea unui kilogram de clincher de compozitie:  $C_3S=67,3\%$ ;  $C_2S=11,2\%$ ;  $C_3A=10,3\%$  și  $C_4AF=11,3\%$  este 434,6 kcal/kg /1/. În practică însă cantitatea de căldură consumată pentru obținerea unui kilogram clincher este mult mai mare; în procedeul umed: 1200-1600 kcal/kg, iar în procedeul uscat: 900-1100 kcal/kg. Se observă că aproximativ jumătate din căldura consumată la obținerea unui kilogram clincher este căldură pierdută cu: gazele de ardere, aerul evacuat, clincherul și prin peretii cuptorului.

Pentru reducerea cantității de căldură pierdută au existat și există, pe plan mondial, preocupări permanente, a căror rezultat este realizarea unor instalații termotehnologice din ce în ce mai perfectionate, caracterizate printr-un înalt grad de automatismare. Rezursele oferite de această cale au fost însă în bună măsură epuizate, ceea ce a făcut ca atenția cercetătorilor să se îndrepte spre o altă direcție majoră de reducere a consumului de combustibil și anume scăderea temperaturii de ardere a clincherului.

Dacă această direcție întâmpină dificultăți majore legate de realizarea unor compozitii mineralogice a clincherului care să permită arderea la temperaturi mai joase și totodată păstrarea sau chiar îmbunătățirea proprietăților hidraulice a acestuia, pe plan mondial există totuși numeroase realizări în acest sens. Reducerea temperaturii de ardere cu numai 50-100 °C înseamnă reducerea importantă a consumului de combustibil chiar și numai ca urmare a scăderii corespunzătoare a pierдерilor de căldură prin

pereții cuporului. De regulă însă clincherele arse la temperaturi mai joase se caracterizează și printr-o micinare mai ușoară, generind și economii de energie electrică.

Realizarea unor cimenturi care să indeplinească ambele deziderate concomitent, adică să prezinte întărire rapidă și să se obțină prin ardere la temperaturi joase, ar asigura maximum de avantaje economice, mai ales dacă ele ar dezvolta și rezistențe mecanice superioare și dacă s-ar putea obține din materii prime ușor accesibile.

Scopul studiilor și a determinărilor experimentale abordate în prezența teză a fost tocmai acela de a realiza niște cimenturi cu temperatură joasă de ardere și întărire rapidă.

## Cap.1. CIMENTURI CU INTĂRIRE RAPIDA

Numerosele preocupări care au avut ca scop obținerea de cimenturi cu întărire rapidă și foarte variatele realizări în acest sens fac dificilă încercarea de clasificare a cimenturilor cu întărire rapidă. Totuși, ținând cont de compoziția lor mineralogică, cimenturile cu întărire rapidă se pot împărti în:

- a) Cimenturi cu întărire rapidă pe bază de clincher portland cu conținut ridicat de alit.
- b) Cimenturi cu întărire rapidă pe bază de zgură și clincher de ciment portland.
- c) Cimenturi cu întărire rapidă pe bază de clincher aluminoz și mai ales clincher aluminoz modificat prin introducerea de halogenuri sau sulfati în amestecul de materii prime.
- d) Cimenturi cu întărire rapidă obținute prin amestecarea unui clincher de bază cu adăosuri diverse: halogenocaluminat de calciu, sulfataluminat de calciu, alunit ars, etc.

### 1.1. Cimenturi portland cu întărire rapidă

ACESTE CIMENTURI SE CARACTERIZEAZĂ PRINTR-O VITESĂ mare a procesului de interacțiune cu apa și ca urmare printr-o creștere rapidă a rezistențelor mecanice în prima perioadă a procesului de întărire. În primele 24 de ore de întărire, în condiții normale de umiditate și temperatură se realizează 40-70% din mărime; în continuare creșterea rezistențelor mecanice are loc relativ mai încet decât în cazul cimentului portland normal.

Factorii care condiționează obținerea unor cimenturi portland cu întărire rapidă și rezistențe inițiale mari sunt: caracteristicile amestecului de materii prime, tratamentul termic, textura și compoziția mineralologică a clincherului, finețea de micinare și compoziția mineralologică a cimentului.

Baza de materii prime reprezintă un factor important pentru obținerea cimenturilor portland rapide. Sunt indicate amestecurile de materii prime cu o bună aptitudine la clincherizare, determinată de concordanța între intervalele de existență a metastructurilor alumino-silicatice, a oxidelui de calciu și a silicatului dicalcic de activitate corespunzătoare, precum și de ca-

racteristicile structural-mineralogice ale materiilor prime și în primul rînd de o proporție cît mai redusă de cuart /2/, /3/.

Esențial pentru obținerea unor cimenturi portland cu întărire rapidă este și factorul emogenitate al amestecului de materii prime, precum și finetea de măcinare și spectrul granulometric al acestuia. Deși nu pot fi stabilită reguli absolute cu privire la granulometria amestecului de materii prime, se consideră oportun ca fracțiunea grosieră să fie cuprinsă între 50-60  $\mu\text{m}$  pentru a putea obține cimenturi cu întărire rapidă /4/.

Tratamentul termic aplicat la obținerea clincherului portland, caracterizat prin vitesa de încălzire a amestecului de materii prime, temperatură de ardere și modul de răcire are o importanță deosebită pentru obținerea unui clincher cu proprietăți hidraulice superioare. Viteza de încălzire rapidă are efect favorabil asupra reactivității materiilor prime decarece preîntâmpină procesul de ordonare a metastructurilor provenite din descompunerea materiilor prime. Se consideră că intervalul  $800^{\circ}\text{C} - 1400^{\circ}\text{C}$  trebuie să fie parcurs cît mai repede posibil pentru a valorifica la maxim reactivitatea ridicată a produselor de descompunere a materiilor prime. Temperatura de ardere este strîns legată de compoziția mineralogică a clincherului, dar ea influențează și proprietățile hidraulice a fiecărui constituent mineralogic al clincherului, în parte /5/. Viteza de răcire a clincherului este de asemenea un factor important care permite reglarea compoziției mineralogice a clincherului în anumite limite, cu scopul asigurării unui conținut maxim de  $\text{C}_3\text{S}$  /6/.

Compoziția mineralogică a clincherului este factorul decisiv în asigurarea unor proprietăți hidraulice superioare. Studiind rezistențele mecanice ale mineralelor pure ale clincherului, precum și ale unor amestecuri de minerale, Ergov /7/ arată nu numai că silicatul tricalcic ( $\text{C}_3\text{S}$ ) este componentul mineralogic principal, care împrime rezistențele mecanice ridicate ale cimentului portland, dar și că un adăos de 10-15%  $\text{C}_3\text{A}$  are efect favorabil pronunțat asupra rezistențelor mecanice ale amestecurilor de  $\text{C}_3\text{S}$  și  $\text{C}_3\text{A}$ . Se impune însă precizarea că obținerea concomitentă a unui amestec de minerale ale clincherului prin arderea unui amestec de materii prime (așa cum se întâmplă în practică) determină interacțiuni mult mai complexe între acestea, cauzate de substituțiile care pot avea loc în rețelele cristaline precum și de influență reciprocă, pozitivă sau negativă, asupra procesului de

interacțiune cu apa a acestor minerale.

Problema cantității de  $C_3S$  în clincherele de ciment portland cu întărire rapidă a preocupat pe mulți cercetători. S-a stabilit /7/ că prin ridicarea conținutului de  $C_3S$  de la 68% la 85% are loc creșterea importantă a rezistențelor cimentului la primele termene de întărire. În schimb, la 28 zile rezistențele cimenturilor cu 65-70% și respectiv 85% se egalizează. Prin urmare ridicarea însemnată a conținutului de  $C_3S$  prezintă însemnatate numai pentru cimenturile portland cu întărire rapidă. La stabilirea conținutului optim de  $C_3S$  trebuie ținut cont că prin ridicarea conținutului său peste 70% se îngreiază procesul de obținere a clincherului, crește temperatura de ardere, uzura cupoarelor și consumul energetic.

În vederea obținerii unor cimenturi portland cu întărire rapidă, alituri de  $C_3S$ , un rol însemnat îl joacă prezența  $C_3A$  în cantități optime - 10-15% /7/. Acțiunea acestuia din urmă este determinată atât de influența pozitivă pe care o manifestă asupra hidratării silicatului tricalcic, cât și de viteza ridicată de hidratare a aluminatului tricalcic însăși, cu formarea unei cantități mari de gel în primele ore de întărire. Cimenturi portland cu întărire rapidă se pot obține pentru  $M_{Si} > 4$ .

Textura și structura cristalină a mineralelor clincherului influențează puternic viteza de hidratare a acestora, care scade o dată cu avansarea perfectiunii rețelei și crește cu creșterea numărului de defecte, a diferitelor inclusiuni și cu formarea soluțiilor solide. S-a observat /7/ că în cazul alitului activitatea hidraulică crește o dată cu anizotropia cristalelor, ceea mai bună activitate hidraulică având alitul cu cristale prismatice-aciculare, granulație fină și regulată. Granulația fină, regulată a alitului și textura compactă a clincherului poate fi realizată în următoarele condiții /8/:

- a) coeficientul ridicat de saturare în calce a amestecului de materii prime (în jur de 0,95);
- b) măcinarea fină a amestecului de materii prime (trecere completă prin sita 4900 ochiuri/cm<sup>2</sup>) și o foarte bună omogenizare a acestuia;
- c) regim constant de funcționare a cuporului;
- d) arderea intensă într-o zonă apropiată și scurtă - viscozitatea ridicată a topiturii formate, durată scurtă de

stationare în zona de ardere și cantitatea nu prea mare de faza lichidă, determină formarea granulelor de clincher aglomerat, permitând arderea amestecului de materii prime cu coeficient ridicat de saturare în calce. Pentru obținerea unui clincher de calitate, conținutul de CaO liber nu trebuie să depășească 0,15%, ceea ce se poate realiza prin arderea amestecului de materii prime cu coeficient de saturare în calce de maxim 0,95.

Finețea de măcinare și compoziția granulometrică a cimentului sunt factori care influențează în mod hotărât viteză de interacțiune cu apa a acestuia. Pentru a obține un ciment cu întărire rapidă, pe lîngă compoziție mineralogică adecvată trebuie asigurată și o compoziție granulometrică și finețe de măcinare adecvate. Fornind de la un clincher cu 60% C<sub>3</sub>S și 3% C<sub>3</sub>A, prin creșterea suprafeței specifice de la 3000 cm<sup>2</sup>/g la 6500 cm<sup>2</sup>/g, rezistențele la compresiune după o zi de hidratare aproape se dublează /8/. Rezistențele după 28 zile sunt influențate semnificativ însă doar prin creșterea suprafeței specifice între 3000 și 4500 cm<sup>2</sup>/g. Trebuie precizat însă că pentru suprafețe specifice comparabile, cimenturile prezintă activități hidraulice mult diferite în funcție de compoziția granulometrică. Se consideră că viteză răpidă de formare a structurii de rezistență în cimentul portland este asigurată pentru următoarea compoziție granulometrică: 20-25% particule sub 5 μ și 50-55% particule între 5 și 30 μ.

Dacă asupra fineței de măcinare se poate acționa relativ ușor prin intermediul timpului de măcinare, asupra compoziției granulometrice se poate acționa numai folosind instalații moderne de măcinare în circuit închis. Compoziția granulometrică și finețea de măcinare optimă depind de compoziția mineralologică, structura și textura clincherului.

Dacă cimenturile portland cu întărire rapidă prezintă multe avantaje se constată totuși că ele prezintă și un dezavantaj major, acela a unui consum energetic foarte ridicat determinat de temperatura înaltă de ardere, 1450 - 1500 °C și măcinare avansată.

#### 1.2. Cimenturi cu întărire rapidă pe bază de zgură de furnal și clincher de ciment portland

Acste cimenturi se obțin prin măcinarea concomitentă a clincherului de ciment portland cu zgură de furnal granulată

(30-70%) și cu adăos de ghips. În funcție de proporția componentelor, de adăosurile folosite și de condițiile de fabricație se pot obține cimenturi cu întărire rapidă, normală sau lentă.

Particulele de ciment din compoziția acestui liant formează în urma proceselor de hidratare aceeași produsă ca și la hidratarea și întărirea cimenturilor pure, adică: hidroaluminatii, hidrosilicati și hidroferiti de calciu, hidroxid de calciu și combinații complexe.

Hidroxidul de calciu rezultat din hidratarea cimentului portland, acționează ca un activator, distrugând structura zgurii, determinând formarea de aluminatii și silicati de calciu în jurul granulelor de zgură, care reacționează cu gelurile de hidrosilicati și cu  $\text{Al(OH)}_3$ , formând produsă cristalini.

Acțiunea gipsului constă în combinarea sa cu hidroaluminatii formati la hidratarea zgurilor și transformarea acestora în sulfataluminat de calciu, care în cazul acestor cimenturi este componentul principal de structură și rezistență /1/.

Viteza de hidratare și întărirea cimenturilor cu zgură și rezistențele mecanice dezvoltate depind de o serie întreagă de factori cum sunt: compoziția chimică a zgurii, compoziția mineralogică a cimentului, finetea de măcinare a componentelor și raportul acestora, conținutul de ghips, etc.

Influenta compozitiei chimice a zgurilor asupra proprietăților hidraulice a cimenturilor cu zgură a fost studiată în lucrarea /9/. În acest scop s-a folosit un clincher portland cu  $S_K = 0,87$ ;  $M_{\text{Ca}} = 2,3$  și  $M_{\text{Al}} = 1,1$ . Cimenturile s-au obținut prin adăos de zgură granulată - 40% și ghips - 4% și măcinare la suprafață specifică  $4000 \text{ cm}^2/\text{g}$ . Rezistențele mecanice ale probelor, determinate pe mortare vitroase, după o zi de hidratare au variat între 242 și  $334 \text{ daN/cm}^2$ , în funcție de compoziția chimică a zgurii (modulul de bazicitate a variat între 0,8 și 1,29) fiind că atât mai ridicate cu cît modulul de bazicitate a zgurii este mai mare.

Compoziția mineralologică a clincherului utilizat la obținerea cimenturilor cu zgură, joacă de asemenea un rol important. Astfel Budnikov /10/ și Semenovker /11/ indică pentru acest clincher un conținut de 50-60%  $\text{C}_3\text{S}$  și 12%  $\text{C}_3\text{A}$ , iar Saterin /12/ recomandă în acest scop folosirea unor clinchere portland slab arse, cu conținut de 5-7%  $\text{CaO}$  liber.

Influenta finetei de măcinare a cimentului cu zgură asupra proprietăților acestuia este foarte importantă. Holin /13/

arată că ridicarea suprafeței specifice de la 2500 la 4500  $\text{cm}^2/\text{g}$  determină creșterea rezistențelor la compresiune, după 28 zile, cu 20-50%, iar a rezistențelor la încovoiere cu 60-100%. Studiind influența finetării de măcinare a componentilor cimentului portland cu zgură asupra proprietăților hidraulice ale acestuia, Satarin și colaboratorii /14/ constată că dacă mărirea suprafeței specifice a cimentului se face pe seama clincherului, sporul de rezistență este mai pronunțat decât dacă suprafața specifică se mărește pe seama zgurii. Această observație prezintă o deosebită importanță pentru alegerea tehnologiei optime de fabricare a cimentului cu zgură.

Prin măcinarea prealabilă a clincherului pînă la 50% refuz pe sita nr. 008 și folosind un raport zgură:ciment = 1:1, s-a obținut un ciment cu suprafață specifică 4000  $\text{cm}^2/\text{g}$ , care a dezvoltat rezistențe la compresiune după 3 zile de hidratare, de 200  $\text{daN}/\text{cm}^2$  - la determinarea pe mortare plastice și 300  $\text{daN}/\text{cm}^2$  - la determinarea pe mortare vitroase. După 28 zile de hidratare rezistența a fost 400-450  $\text{daN}/\text{cm}^2$  - pe mortare plastice și 450-550  $\text{daN}/\text{cm}^2$  - pe mortare vitroase /15/. Ridicarea dozajului de clincher la 70% și mărirea suprafeței specifice a cimentului a permis obținerea unui ciment cu zgură, cu întărire rapidă, care după 3 zile de hidratare a dezvoltat rezistențe de 460-500  $\text{daN}/\text{cm}^2$  (pe mortare vitroase) și 250-300  $\text{daN}/\text{cm}^2$  (pe mortare plastice). După 28 zile de hidratare acest ciment a dezvoltat rezistențe peste 600  $\text{daN}/\text{cm}^2$  (pe mortare vitroase) și 400-500  $\text{daN}/\text{cm}^2$  (pe mortare plastice).

Adăosul de ghips în cazul cimentului portland cu zgură are acțiune de accelerare a procesului de priză și întărire. Adăosul optim de ghips depinde de raportul dintre clincher și zgură, precum și de compoziția clincherului și a zgurii. Budnikov și colaboratorii /10/ arată că pentru a obține un ciment portland cu zgură, cu întărire rapidă, adăosul optim de ghips este în jur de 5%.

Domenii de utilizare a cimenturilor portland cu zgură, cu întărire rapidă.

Resultatele prezentate în literatură arată că se pot obține cimenturi portland cu adăos de zgură a căror proprietăți hidraulice să nu fie mai prejos decât a cimenturilor portland obișnuite. În schimb cimenturile cu zgură au marele avantaj al unui preț de cost mai redus. Pe lîngă aceasta mai prezintă încă și alte avantaje legate de căldura de hidratare mai redusă decât a

cimenturilor portland și de o contractie mai redusă. Aceste proprietăți le fac foarte utile pentru realizarea unor construcții hidrotehnice masive. Cimenturile portland cu zguri se comportă bine de asemenea la tratamentele termice. O mențiune care se cuvine făcută este diferența semnalată între rezultatele rezistențelor la compresiune determinate pe probe virtoase, respectiv plastice, mai mare decât în cazul cimenturilor portland.

## Cap.2. CAI DE REDUCERE A TEMPERATURII DE ARDERE A CLINCHERELOR

Caiile de reducere a temperaturii de ardere a clincherului sunt:

- utilizarea mineralizatorilor;
- utilizarea diferitelor deseuri industriale, în amestecul de materii prime;
- modificări ale instalațiilor termotehnologice;
- modificarea compoziției mineralogice a clincherului, în sensul scăderii cantității de  $C_3S$  și creșterea cantității de  $C_2S$  și a unor minerale de tipul  $3(CA).CaSO_4$  și  $C_{11}A_7.CaX_2$ .

### 2.1. Utilizarea mineralizatorilor

În tehnologia liantilor noțiunea de mineralizatori reprezintă substanțe care adăugate în amestecul de materii prime în cantități reduse (0,1-1,0%) accelerează procesul de formare a clincherului și îmbunătățesc calitatea acestuia. Acțiunea mineralizatorilor este complexă și se poate manifesta în toate etapele procesului de obținere a clincherului /16/.

Mineralizatorii cei mai utilizăți sunt compuși cu fluor, sulfatii, apatita și unii oxizi ( $Fe_2O_3$ ,  $TiO_2$ ,  $Mn_2O_3$ ,  $ZnO$ ).

Compoundii cu fluor asigură terminarea procesului de legare a oxidului de calciu la temperaturi mai scăzute decât în amestecurile fără mineralizatori /17/, /18/ și intensificarea procesului de cristalizare și creștere a cristalelor de alit și belit /19/.

În lucrarea /20/ se indică posibilitatea obținerii unui ciment cu temperatură joasă de ardere (1270-1385 °C) prin utilizarea unui adăos compus din 0,5 - 2,5  $CaF_2$  (sau alte floriuri sau cloruri) și 1 - 2,5%  $B_2O_3$ . Acest ciment conține 20-70%  $\beta-C_2S$  și 10-50%  $C_3S$ .

Nikiforov și colaboratorii /21/ arată că prin utilizarea adăosului de 0,2%  $CaF_2$  la amestecul de materii prime, productivitatea cuptoarelor a crescut cu 1,1%, consumul de combustibil a scăzut cu 2,8%, iar conținutul de alit al clincherelor

a crescut cu 10-15%. Căptușeala cuptoarelor în care s-a ars amestecul mineralizat s-a caracterizat printr-o mai mare uniformitate și rezistență în comparație cu căptușeala cuptoarelor în care s-a ars amestec de materii prime fără adăos de mineralizator.

Pasenko /22/ arată că utilizarea adăosului de 5%  $\text{CaF}_2$  în amestecul de materii prime pe bază de calcar și bazalt permite desigurarea procesului de clincherizare la temperaturi de 1300-1350 °C.

Prin utilizarea unui adăos complex format din  $\text{Na}_2\text{SiF}_6$ ,  $\text{NaF}$  și lignosulfonat de magneziu /23/ se reduce umiditatea amestecului de materii prime cu 8,9 - 14,3%, temperatura de ardere a clincherului scade cu 0,46-0,12%, iar rezistențele mecanice cresc. Rezultate similare sunt prezentate în /24/. Clincherele mineralizate cu compuși cu fluor prezintă și un grad de alb mai ridicat decât clincherele de bază (nemineralizate) /23/, /24/, /25/.

Sulfatii acționează asupra proceselor care au loc la arderea clincherekilor, într-un interval relativ larg de temperaturi cu modificarea compozitiei fazale a clincherului și a vitezei interacțiunilor chimice. Este cunoscută în mod deosebit acțiunea mineralizatoare a sulfatului de calciu /26-31/.

Budnikov /26/ a constatat că în clincherekile mineralizate cu ghips, cantitatea de alit poate crește ca urmare a accelerării procesului de legare a oxidului de calciu, precum și ca urmare a acțiunii pe care o are sulfatul de calciu asupra compusilor aluminiatici. În sărjele cu adăos de ghips se formează  $(\text{Ca})_2\text{SO}_4$  în locul  $\text{C}_3\text{A}$ , cu eliberarea unei părți corespunzătoare de  $\text{CaO}$  care determină creșterea conținutului în  $\text{C}_3\text{S}$ . Sulfataluminatul de calciu începe să se formeze la 1000 °C, el regăsindu-se și la temperaturi peste 1400 °C, deși domeniul său de stabilitate nu depășește 1350-1370 °C /28/.

Apatita prezintă de asemenea acțiune mineralizatoare. Sicev și Korneev /32/ arată că un adăos de 1% apatită, în amestecul de materii prime, determină reducerea temperaturii de ardere a clincherului cu 50 °C, mărzind productivitatea cuporului și îmbunătățind compozitia mineralologică a clincherului. După majoritatea autorilor dezarea apatitei trebuie astfel făcută încât să nu se depășească 0,5%  $\text{P}_2\text{O}_5$  în clincher. Totuși Simanovski /33/ arată că se pot obține clinchere cu 50-60% alit chiar utilizând un amestec de materii prime cu 3-5%  $\text{P}_2\text{O}_5$ , cu

condiția utilizării și a unui adăos de 0,75% CaF<sub>2</sub>

Unii oxizi: FeO, Fe<sub>2</sub>O<sub>3</sub>, TiO<sub>2</sub>, Mn<sub>2</sub>O<sub>3</sub> prezintă de asemenea acțiune mineralizatoare /34/, manifestată mai ales prin grăbirea apariției fazelor lichide și micșorarea viscosității acestora.

## 2.2. Utilizarea diferitelor deșeuri industriale în componenta amestecului de materii prime

Intrucât industria cimentului este mare consumatoare de combustibil și energie electrică a existat o preocupare continuă, mai ales în ultimii ani, de a găsi noi materii prime care să asigure reducerea consumului de energie electrică și combustibil, în procesul de fabricație. Rezultatul acestor preocupări este inclusivarea în gama de materii prime pentru obținerea clincherului, a tot mai multor deșeuri din cele mai diferite ramuri industriale, cum sunt: cenusa de pirită, zgurile metalurgice, fosfoghipsul, cenusa de termocentrală, deșeuri de la prelucrarea unor minereuri, atât feroase cât și neferoase, șlamul belitic de la prelucrarea complexă a rocilor apatito-nefelinice, etc.

Utilizarea acestor deșeuri are multiple avantaje economice:

- reducerea consumului de energie electrică pentru prepararea amestecului de materii prime, întrucât deșeurile industriale rezultă de regulă sub forma unor pulberi fine;

- reducerea consumului de combustibil pe seama eliminării unor reacții endotermice de descompunere a materiilor prime argiloase și calcaroase - care sunt parțial înlocuite cu aceste deșeuri;

- reducerea consumului de combustibil pe seama scăderii temperaturii de clincherizare - datorită conținutului de micro-elemente cu efect mineralizator;

- îmbunătățirea calității clincherului prin utilizarea diferitelor deșeuri în proporții optime;

- reducerea sau eliminarea efectului poluant al deșeurilor respective.

Zgurile de furnal - în special zgurile acide, cu proprietăți hidraulice latente foarte slabe - se pot utiliza ca materie primă pentru obținerea amestecului brut destinat obținerii clincherului, asigurând reduceri importante a consumului de combustibil, ca urmare a eliminării reacțiilor endotermice de descompunere a materiilor prime argiloase și calcaroase (pe care le înlocuiesc) și ca urmare a prezenței unor silicati și aluminați deja în zguri /35/, /36/, /37/.

Zgurile de la extragerea unor metale neferoase au fost utilizate în ultimul timp cu mult succes la obținerea clincherului, asigurind reducerea temperaturii de ardere, concomitent cu sporirea activității hidraulice a clincherului. În acest scop s-a utilizat zgură ferotitanică /38/, zgură de la obținerea aluminiului /39/, deșeuri de la prelucrarea minereurilor de bariu-mangan /40/, deșeuri cu conținut de bariu /41/, deșeuri de la fabricarea titan-magneziului /42/.

Slamul belitic (nefelinic) rezultat la prelucrarea complexă a rocilor apatito-nefelinice, conține o cantitate mare de silicat dicalcic (aproximativ 80%), putând fi utilizat fie ca adăos la clincherul de ciment portland, fie ca materie primă pentru fabricarea clincherului - asigurind creșterea productivității cupitorului cu 20-30%, /16/, reducerea consumului de combustibil /43/ și ridicarea rezistențelor mecanice ale cimentului obținut /44/.

Fosfoghipsul se poate utiliza ca mineralizator la obținerea clincherului, dar în acest caz se consumă doar cantități mici. O cale de valorificare a unor cantități mari de fosfoghips este utilizarea lui ca materie primă purtătoare de CaO, în producția simultană de clincher și acid sulfuric /45/. Fosfoghipsul poate fi utilizat de asemenea la obținerea cimenturilor sulfocaluminatice, prin ardere la 1200-1300 °C /46/.

Cenușile de termocentralki se folosesc în calitate de component alumino-silicatic, în amestecul de materii prime și asigură reducerea consumului de combustibil și ridicarea activității hidraulice a clincherului /47/. Cenușile de termocentralki se pot utiliza pentru obținerea simultană a cimentului portland și aluminei /48/.

Utilizarea unor deșeuri miniere și din alte ramuri industriale, ca materie primă pentru obținerea clincherului capătă o tot mai mare amploare. Astfel prin folosirea unei game variate de deșeuri provenite de la: îmbogățirea cărbunilor /49/, îmbogățirea minereurilor de fier /50/, îmbogățirea calcopiritei /51/, obținerea AlCl<sub>3</sub> /52/, obținerea fosforului /53/, sterilul rezidual de turnătorie /54/, deșeuri din producția de aluminiu /55/, slamul clorurat din producția titan-magneziului /56/, noroiul provenit din apele scurse de la fabricarea asfocimentului /57/, precum și a altor deșeuri /58 - 61/ se asigură intensificarea proceselor la arderea clincherului, reducerea temperaturii de ardere și sporirea activității hidraulice a clincherului.

### 2.3. Schiderea temperaturii de ardere a clincherezelor pe seama compozitiei mineralozilor

Temperatura de ardere a clincherului se poate reduce prin scăderea gradului de saturare în calce, ceea ce înseamnă obținerea unor clinchere cu conținut redus de  $C_3S$  și în schimb bogate în  $C_2S$  - așa numitele clinchere belitice.

Prin temperatură joasă de ardere se caracterizează și cimenturile fero-portland nesilicioase, care au  $MgO$  mai mic, cu scopul ridicării la maxim a conținutului de  $C_4AF$  prin scăderea conținutului în silicati, fără ca prin aceasta rezistențele cimentului să fie sacificate.

In ultimii ani, ca urmare a descoperirii proprietăților hidraulice foarte bune ale halogenoaluminatilor de calciu ( $C_{11}A_7 \cdot CaX_2$ ) și ale sulfataluminatului de calciu ( $3(CA) \cdot CaSO_4$ ) s-a acordat un interes deosebit obținerii cimenturilor care conțin aceste minerale. Problemele legate de obținerea acestor cimenturi vor constitui obiectul unui capitol separat.

#### Cimenturi belitice

Prin realizarea unor cimenturi belitice este posibilă o scădere a consumului specific de căldură la arderea clincherului, cu aproximativ 95 kcal/kg clincher. Aceste cimenturi se caracterizează însă printr-o activitate hidraulică mai slabă. Înlăturarea sau cel puțin diminuarea acestui dezavantaj presupune o serie de măsuri legate de viteză de răcire a clincherezelor belitice, adăosuri activatoare, finețe de măcinare, etc.

Cimenturile care au drept mineral principal belitul și care corespund din punct de vedere al rezistențelor mecanice și a altor proprietăți unor cimenturi portland uzuale, poartă denumirea de cimenturi belitice active. Un interes sporit pentru obținerea acestor cimenturi l-au acordat cercetătorii din R.D.Germania /62 - 69/, /72 - 75/. Cercetările efectuate de Stark și colaboratorii /62 - 66/ au arătat că nu se poate obține o sporire a rezistențelor mecanice a cimenturilor belitice prin creșterea vitezei de încălzire. Temperatura de ardere a unui clincher belitic având  $K_s=80$  este între  $1300 - 1350$  °C, cu un palier de 20 minute, astfel ca să se asigure un conținut de  $CaO$  liber = 1%. Foarte importantă pentru aceste clinchere este viteză de răcire; răcirea rapidă (1200 K/min) a unui clincher cu  $K_s = 80$  determină o sporire a rezistenței la compresiune cu 300% față de răcirea lentă. Răcirea rapidă este obligatorie în intervalul  $1300-900$  °C

/62/. Clincherele rezultate se caracterizează printr-un conținut de  $\alpha$  și  $\alpha'$ -belit, fin interpătrunse, cu atât mai ridicat cu cît viteză de răcire este mai mare. Belitul din aceste clinchere prezintă o rețea cristalină cu un grad de dezordine ridicat, ceea ce îi asigură o activitate hidraulică sporită. Încercările de activare chimică a belitului, în scopul micșorării vitezei de răcire necesară /69/, au arătat că un rol esențial prezintă conținutul de  $\text{SO}_3$  din clincher. Un conținut de 5-6%  $\text{SO}_3$  în clincherele belitice determină un spor de 40% a rezistențelor mecanice în cazul clincherelor răcite cu viteză  $\leq 120 \text{ K/min.}$ , în timp ce pentru clincherele răcite rapid (3000 K/min) sporul de rezistență determinat de prezența  $\text{SO}_3$  este de numai 10%. Aceasta se explică prin faptul că  $\beta\text{-C}_2\text{S}$  cu conținut de  $\text{SO}_3$  este mai activ decât fără  $\text{SO}_3$ . În schimb formarea fazei  $\alpha'\text{-C}_2\text{S}$  este frenată de adăosul de  $\text{SO}_3$ , care leagă alcaliile sub formă de sulfati și ca urmare acesta nu mai sunt disponibile pentru stabilizarea modificărilor de temperatură ridicată.

Încercări de activare chimică a belitului, prin stabilizarea modificărilor de temperatură ridicată au făcut și alți cercetători. Matkovici /70/ arată că adăosul de  $\text{BaSO}_4$  în proporție de 4,5% determină stabilizarea formei  $\beta\text{-C}_2\text{S}$  cu puțin  $\alpha'\text{-C}_2\text{S}$ , iar pentru adăosuri peste 9%  $\text{BaSO}_4$  este favorizată stabilizarea formei  $\alpha'\text{-C}_2\text{S}$ . Cimenturile belitice obținute prezintă rezistențe mecanice similare cimenturilor portland normale.

S-au făcut de asemenea încercări de activare mecanică a clincherezilor belitice /71/. La măcinarea de lungă durată a clincherului se modifică nu numai gradul de dispersie ci și structura cristalină a mineralelor componente, având loc un proces de deformare și amorfizare a acestora, care influențează viteza de hidratare a cimentului rezultat.

În urma rezultatelor obținute în cercetarea de laborator Stark și colaboratorii au trecut la realizarea industrială a cimenturilor belitice active /72 - 75/. Autorii arată că se poate obține un ciment belitic activ /72/, /73/ prin arderea la  $1350^\circ\text{C}$  a unui clincher cu  $K_{\text{S}}=80$ , urmată de răcire rapidă (500 K/min), prin împărtiere rapidă a clincherului la ieșirea din cupor. Fracțiunea grosieră din clincher (care nu se poate împărtiția), se răcește mai lent, iar după măcinare se folosește ca adăos la cimentul belitic activ sau la ciment portland obișnuit.

Folosind un amestec de materii prime cu modul de silice = 2, prin răcire de la  $1250 - 1300^\circ\text{C}$  pînă la  $800 - 1000^\circ\text{C}$  cu

viteze între 500 - 3000 K/min., se obține un ciment belitic cu activitate hidraulică la 28 zile analoagă cimentului portland obisnuit /74/. Resultate asemănătoare se pot obține și la o viteză mai mică de răcire (150 K/min) dacă se folosește un amestec de materii prime cu  $M_{Si}=4$ , /75/.

Un ciment belitic activ se poate obține din amestec de materii prime cu conținut de alcalii /76/. Astfel cimentul obținut dintr-un amestec cu  $K_g=75 - 85$  și 5% alcalii, conține 50 - 60%  $C_2S$  stabilizat sub formele de temperatură ridicată, ceea ce îi asigură activitate hidraulică similară cu a unui ciment portland normal.

Se poate obține ciment belitic și prin utilizarea în amestecul de materii prime, a deșeului din producția de aluminiu /77/. Amestecul de materii prime folosit s-a compus din: 25 - 30% argilă; 50 - 54% calcar; 22 - 16% deșeu și 3 - 7% ghips.

#### Cimenturi cu conținut ridicat de fier

Cimenturile feroportland de tip Ferari, cu  $M_{Al}=0,64$  și  $M_{Si}=2,5$  se caracterizează prin rezistențe mecanice ridicate. Valoarea ridicată a  $M_{Si}$  are ca scop asigurarea unei cantități corespunzătoare de fază lichidă în clincher, pentru a evita dificultățile ce apar la ardere prin formarea de lipituri și inele care pot să blocheze cuporul /6/.

Cimenturile feroportland nesilicioase de tip Kuhl ( $M_{Al}=1,2$  și  $M_{Si}=1,2$ ) și de tip Albert ( $M_{Al}=0,64$  și  $M_{Si}=1,5$ ) caută să realizeze un conținut cât mai mare de  $C_4AF$  prin scăderea conținutului în silicati, fără ca prin aceasta rezistențele cimentului să fie sacrificiate; conținutul ridicat de  $C_4AF$  determină rezistențe inițiale mari, contractie redusă, căldură de hidratare mică, stabilitate la acțiunea sulfatică - proprietăți care asigură acestor cimenturi, domenii importante de aplicație: baraje, drumuri, porturi maritime, etc. Aceste cimenturi se obțin prin ardere la temperaturi scăzute.

In /78/ se arată că cimentul înalt feritic, cu întărire rapidă se poate obține prin ardere la 1250-1300 °C a unui amestec de materii prime cu  $M_{Si} < 0,81$ ;  $M_{Fe} < 0,98$ . Utilizând mineralizator  $CaF_2$  și  $CaSO_4$  prin ardere la 1250-1300 °C se obține un clincher care conține: 30...75%  $C_4AF$ , 0...23%  $C_2S$ , 17...34%  $C_3A_3 \cdot CaSO_4$  și 8...12%  $C_{11}A_7 \cdot CaF_2$ . Cimentul obținut din acest clincher prezintă rezistență la compresiune, după 24 ore de întărire, între 320 și 450 daN/cm<sup>2</sup>.

In /79/ se propune cimentul portland cu întărire rapidă, cu conținut ridicat de oxid de fier, obținut dintr-un clincher cu conținut de: 50-65%  $C_3S$ , 0-2%  $C_3A$  și 12-20%  $C_4AF$ .

Că urmare a temperaturii relativ scăzute de formare a  $C_4AF$  și a proprietăților lui hidraulice bune, acesta este unul din componentii mineralogici de bază din cimenturile sulfat-aluminatice. Astfel în /80/ sînt semnalate cimenturi cu conținut de 33-68%  $C_4AF$ , alături de  $C_4A_3S$  și  $C_2S$ . Aceste cimenturi s-au obținut prin arderea unor amestecuri de materii prime naturale, la temperaturi de 1230-1250 °C. Cimenturile obținute prezintă întărire rapidă și rezistențe ridicate, corespunzătoare mîrcii 500.

554358  
292F

**Cap. 3. CIMENTURI CU INTARIRE RAPIDA SI  
TEMPERATURA JOASA DE ARDERE**

**3.1. Cimenturi cu continut de halogenoaluminatii de calciu**

In ultimul timp interesul pentru heptaaluminatul de calciu,  $C_{12}A_7$ , si diferitele lui modificatii a crescut mult, constatindu-se ca unele din aceste modificatii pe langa interacțiune rapidă cu apa, in conditii potrivite dezvoltă si rezistente mecanice superioare. Ca urmare a apărut o clasă de cimenturi cu întărire rapidă cu continut de  $C_{12}A_7$  si mai ales cu modificatiile lui halogenate.

**3.1.1. Structura si proprietatile compusului  $C_{12}A_7$  si a modificatiilor lui**

La inceput Rankin si Wright /81/ au indicat pentru acest compus formula  $C_5A_3$ , cu două forme polimorfe - una cubică și alta ortorombică, forma cubică fiind stabilă, iar cea ortorombică instabilă. Acum este stabilit că cele două presupuse forme polimorfe sunt faze independente, compusul ortorombic fiind descris de formula  $C_5A_3$ , iar cel cubic de formula  $C_{12}A_7$  /82 + 85/.

$C_{12}A_7$  prezintă o rețea cristalină formată din tetraedri  $[AlO_4]^{5-}$  parțial legați prin puncte de oxigen, și octaedri  $[CaO_6]^{10-}$ , /82/. Rețeaua prezintă "goluri" structurale mari care pot fi considerate responsabile de interacțiunea rapidă cu apa a acestui compus. Încălzit în aer,  $C_{12}A_7$  preia ușor apa din umiditatea atmosferică, suferind o hidroxilare, formula sa brută în aceste condiții fiind  $C_{11}A_7 \cdot Ca(OH)_2$ , /86 - 88/. Celula elementară a compusului anhidru conține două molecule de  $C_{12}A_7$ , lăsând doi ioni de oxigen în afară ( $Ca_{24}Al_{28}O_{64}$ ) care sunt capabili să formeze grupe hidroxil /89/.

Brisi Cesare /90/ arată că  $C_{12}A_7$  obținut prin ardere la temperaturi mai mari de  $900^{\circ}C$ , în aer, conține întotdeauna un surplus de oxigen. Astfel  $C_{12}A_7$ , sintetizat în aer, la temperaturi de  $1250-1350^{\circ}C$  conține 0,10-0,12% surplus de oxigen. Valoarea plusului de oxigen crește prin scăderea conținutului de apă sau grupări OH în atmosfera cuptorului și mai ales prin arderea în atmosferă oxidantă. Surplusul maxim de oxigen (0,56%) a fost

present în probele sintetizate în atmosferă oxidantă la temperatură de 1300 °C. Aceste probe corespund formulei  $C_{11}A_7 \cdot CaO_{1.49}$ .

Resultatele prezentate de Brisi arată că heptaaluminatul de calciu are formula limită  $C_{11}A_7 \cdot CaO_2$ , în care cei doi atomi de oxigen pot fi înlocuiți cu doi atomi de fluor sau clor sau cu două grupări OH, atunci cînd sinteza se realizează în prezența acestor halogeni sau a umidității. Această comportare se explică prin faptul că în celula elementară cubică, a  $C_{12}A_7$  doi din cei 66 atomi de oxigen nu posedă poziții precise, ci sunt distribuîti statistic și pot fi total sau parțial substituîti de ioni monovalenți:  $OH^-$ ,  $Cl^-$ ,  $F^-$ . Structura compusului  $C_{12}A_7$  se conservă însă și în urma acestor substituîti, avînd loc însă o variație a parametrului reticular, indicelui de refracție, densității, tabelul 1.

Compoziția elementară a  $C_{12}A_7$  și  $C_{11}A_7 \cdot CaF_2$  este dată în tabelul 2, /91/.

În scopul stabilirii structurii derivaîilor halogenatî Jeevaratnam /88/ a preparat amestecuri cu conținut variabil de  $CaCl_2$  pe care le-a calcinat la temperaturi între 900-1300 °C. S-a observat că valoarea parametrului reticular și a indicelui de refracție rămîne practic constantă în intervalul de temperatură studiat, pentru un conținut constant de  $CaCl_2$ . Valorile parametrului reticular, în funcție de conținutul de  $CaCl_2$  din probe sunt prezentate în figura 1.

Intrucît există două posibilități de formare a unor soluîii solide halogenate:

a) Soluîie solidă de forma  $C_{12}A_7 \cdot CaX_2$  în care conținutul celulei elementare va fi  $Ca_{26}Al_{28}O_{66}X_4$

b) Soluîie solidă de forma  $C_{11}A_7 \cdot CaX_2$  în care conținutul celulei elementare va fi  $Ca_{24}Al_{28}O_{64}X_4$ .

Jeevaratnam și colaboratorii au preparat compozîiile corespunzînd celor două posibilități, iar după calcinare au constat că numai probele cu stoichiometria  $C_{11}A_7 \cdot CaX_2$  au dat un preparat optic omogen a cărui densitate a corespuns cu densitatea calculată. Aceste rezultate sugerează că cea de-a două variantă este corectă, combinaîile halogenate ale  $C_{12}A_7$  fiind de fapt soluîii solide de forma  $C_{12-y}A_7 \cdot yCaX_2$  în care  $y < 1$ , stabilitatea maximă corespunzînd pentru  $y = 1$ .

Prin închîlzirea compusului clorurat cu exces de  $CaF_2$ , ionul  $Cl^-$  este înlocuit cu  $F^-$  în schimba înlocuirea fluorului prin închîlzirea compusului fluorurat cu exces de  $CaCl_2$  nu este posibilă.

Tablă 1.

Proprietatea	Compozul	B 1 b 1 i o R F a f i e						
		Gor'kov V.S. /91/ Foleah J.H./82/	Nurree R.W. /91/ Rox R./82/	Roy D.M. /91/ Rox R./82/	Jeevaratnam J. /91/ Glasser R.P.J./82/			
Parametru reticular (A)	C <sub>12</sub> A <sub>7</sub> (anhidru)	11,9880	11,9880	11,9770	11,9830			
	C <sub>11</sub> A <sub>7</sub> .Ca(OH) <sub>2</sub>	11,9747	11,9747	11,9870	11,9760			
Indice de refracție	C <sub>12</sub> A <sub>7</sub>	1,608	1,61	1,616	1,610			
	C <sub>11</sub> A <sub>7</sub> .Ca(OH) <sub>2</sub>	1,619	1,62	1,610	1,620			
	C <sub>11</sub> A <sub>7</sub> .CaF <sub>2</sub>	1,601	-	-	-			
Densitate (g/cm <sup>3</sup> )	C <sub>12</sub> A <sub>7</sub>	2,68	2,68	-	2,68			
	C <sub>11</sub> A <sub>7</sub> .Ca(OH) <sub>2</sub>	2,73	2,73	-	2,72			
	C <sub>11</sub> A <sub>7</sub> .CaF <sub>2</sub>	2,70...3,12	-	-	-			
Duriitate (Mohs)	C <sub>12</sub> A <sub>7</sub>	5	-	-	-			
	C <sub>11</sub> A <sub>7</sub> .Ca(OH) <sub>2</sub>	-	-	-	-			
	C <sub>11</sub> A <sub>7</sub> .CaF <sub>2</sub>	6	-	-	-			

Tablă 2.

Compozul	Masa molară	% CaO	% Al <sub>2</sub> O <sub>3</sub>	% Ca	% Al	% O	% CaF <sub>2</sub>	% P
C <sub>12</sub> A <sub>7</sub>	1386,68	48,53	51,47	34,86	27,24	38,08	-	-
C <sub>11</sub> A <sub>7</sub> .CaF <sub>2</sub>	1408,67	43,79	50,67	34,17	26,82	36,25	5,54	2,69

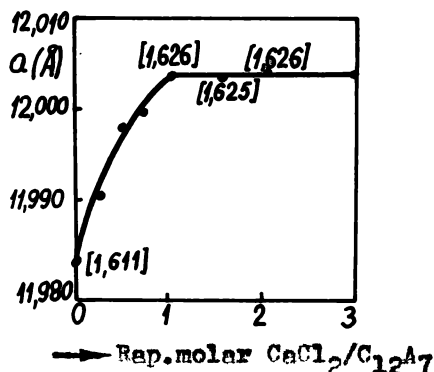
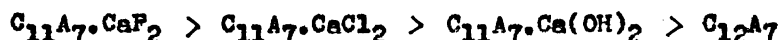


Fig.1. Valoarea parametrului reticular  
(a) și a indicelui de refracție  
a soluțiilor solide cloroalumi-  
natică.

De asemenea autorii au observat că nici una din fazele halogenate nu preia umiditatea din aer. În schimb nici  $C_{12}A_7$  și nici  $C_{11}A_7 \cdot Ca(OH)_2$  nu reacționează cu  $CaBr_2$ .

In concluzie se poate afirma că stabilitatea relativă a acestor compuși este:



Această ordine a stabilității este susținută și de datele tabelului 1, din care se vede că  $C_{11}A_7 \cdot CaF_2$  are densitatea și durata cea mai mare.

În natură s-a descoperit, în calcarale înglobate în lemn, un mineral asemănător cu  $C_{12}A_7$ , care poartă denumirea de maienit /91/.

În literatura de specialitate se acordă un interes sporit modificării fluorurate a maienitului,  $C_{11}A_7 \cdot CaF_2$ , lucru ușor de înțeles dacă se ține seama de stabilitatea maximă a acestuia, arătată anterior.

Părtul că aluminatele tricalcice,  $C_3A$ , este instabil în prezența compușilor cu fluor, semnalat în multe lucrări /92.- 94/ se explică toamă prin stabilitatea mai ridicată a  $C_{11}A_7 \cdot CaF_2$  care se formează în aceste condiții, chiar dacă aceste lucrări indică formarea compusului  $C_5A_3$  - forma cubică, în locul  $C_3A$ . Acum se știe că formula corectă a aluminatele de calciu în discuție nu este  $C_5A_3$  ci  $C_{12}A_7$  /82...85/. Deoarece înținem cont că în prezența  $CaF_2$  în locul  $C_{12}A_7$  se formează  $C_{11}A_7 \cdot CaF_2$ , care are propriile același spectru de difracție RX ca și  $C_{12}A_7$ , devine clar de

ce in lucrările mai vechi se arată că în prezență compugilor cu fluor în locul  $C_3A$  se formează  $C_5A_3$ .

Toropov /93/ arată că adăosul de KF la  $C_3A$  determină descompunerea acestuia, începând cu temperatura de  $800^{\circ}C$ .



Descompunerea termică a  $C_3A$  sub influența KF se observă pînă la  $1300^{\circ}C$ . Peste această temperatură se formează din nou  $C_3A$ , figura 2. O influență asemănătoare arată și NaF.

A fost studiată de asemenea și influența  $CaF_2$ . S-a observat că adăosul de  $CaF_2$  începe să arate influență, prin descompunerea  $C_3A$  cu formare de  $C_5A_3$  și C, la temperaturi mai înalte decît KF și NaF. Liniile de difracție a  $C_5A_3$  și CaO liber apar la temperatură de  $1000^{\circ}C$ . În schimb influența  $CaF_2$  se păstrează pînă la temperatura de  $1400^{\circ}C$ , peste care începe reformarea  $C_3A$ .

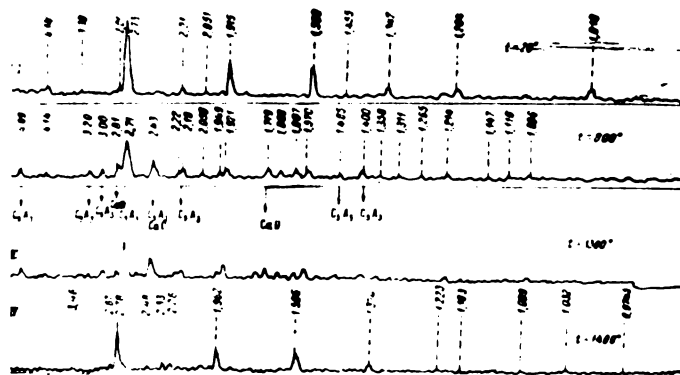
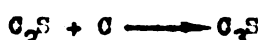


Fig.2. Spectrele de difracție RX ale  $C_3A$  cu adăos de KF, la diferite temperaturi

Resultate similare a obținut Satarin /92/, care consideră că în procesul arderei amestecului de materii prime pentru obținerea cimentului, în cazul adăosului de  $CaF_2$ , sunt posibile următoarele reacții:



și ca urmare sugerează reglarea distribuției oxidului de calciu între  $Al_2O_3$  și  $SiO_2$  prin adăosul de  $CaF_2$ , în scopul sporirii cantității de  $C_3S$  din clincher.

Okerov /94/ arată că dintre toți aluminații de calciu este instabil în prezență fluorurilor numai  $C_3A$ .

În ce privește domeniul de stabilitate termodynamică a  $C_{11}A_7 \cdot CaF_2$ , părerile sunt contradictorii. În timp ce în lucrările /92 - 94/ se arată că peste  $1300^{\circ}C$  (în prezență KF și NaF) respectiv peste  $1400^{\circ}C$  (în prezență  $CaF_2$ ) se reformează  $C_3A$ , ceea ce echivalează cu descompunerea  $C_5A_3$  (care de fapt este  $C_{11}A_7 \cdot CaF_2$ ), în lucrarea /95/ se arată că  $C_{11}A_7 \cdot CaF_2$  prezintă stabilitate termică înaltă și ca urmare poate fi present în clincherele portland obținute prin utilizarea mineralizatorilor cu fluor.

Plecind de la  $CaCO_3$ ,  $Al_2O_3$  și  $CaF_2$ , Volkovskii și colaboratorii /95/ au preparat amestecuri corespunzătoare obținerii  $C_3A$ ,  $C_{12}A_7$  și  $C_{11}A_7 \cdot CaF_2$ , pe care le-au ars la  $1200^{\circ}C$ , timp de 6 ore, apoi le-au supus analizei RX, IR și determinării indicelui de refracție. Spectrele de difracție RX și curbele IR obținute sunt prezentate în figurile 3 și 4.

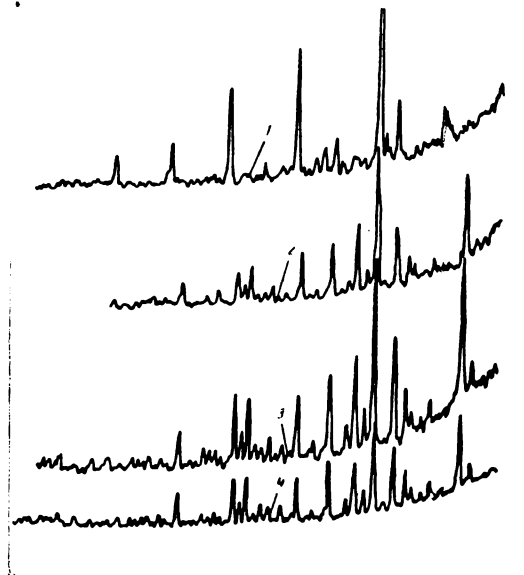


Fig. 3. Spectrele de difracție RX a aluminaților de calciu și a compușilor cu fluor.  
1- $C_3A$ ; 2- $C_{12}A_7$ ; 3- $C_{11}A_7 \cdot CaF_2$ ;  
4- $C_{11}A_7 \cdot CaF_2$  după calcinare la  $1450^{\circ}C$ ,  
timp de 8 ore.

Se observă că  $C_{12}A_7$  și  $C_{11}A_7 \cdot CaF_2$  prezintă practic același spectru de difracție RX. Spectrele IR ale celor doi compuși sunt de asemenea foarte apropiate, doar cu o deplasare a benzilor de

absorbție spre lungimi de undă mai mari în cazul fluoroaluminatului.

In scopul studierii stabilității termice a fluoroaluminatului, probe din acestea au fost calcinate la temperatură de  $1450^{\circ}\text{C}$  timp de 2 ore. Această temperatură a fost aleasă pe baza unor indicații din literatură care arătau că la temperaturi peste  $1300\text{-}1400^{\circ}\text{C}$  în amestecurile cu conținut de fluor se reformează  $\text{Ca}_3\text{A}$  /93/.

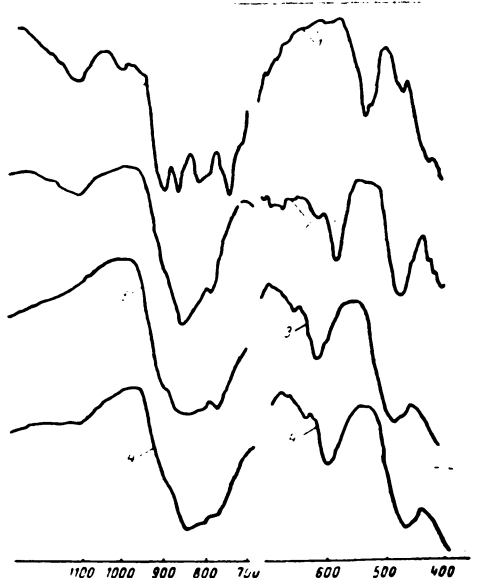


Fig.4. Spectrele IR ale aluminatilor de calciu și a compugilor cu fluor.

1- $\text{Ca}_3\text{A}$ ; 2- $\text{Ca}_2\text{Al}_7$ ; 3- $\text{Ca}_{11}\text{Al}_7\text{CaF}_2$ ; 4- $\text{Ca}_{11}\text{Al}_7\text{CaF}_2$   
după calcinare la  $1450^{\circ}\text{C}$ , timp de 8 ore.

Din datele analizei RX și IR rezultă că probele calcinate nu se deosebesc de cele necalcinate. Ca urmare durata de calcinare a fost mărită la 8 ore. Spectrele RX și IR a probei  $\text{Ca}_{11}\text{Al}_7\text{CaF}_2$  calcinată 8 ore (curbele 4 din figurile 3 și 4) sunt analoge cu a probei necalcinate (curbele 3 din aceeași figură). Analiza microscopică a acestor probe pune în evidență granule izotrope cu indicele de refacție 1,601. Înseanță că prin calcinarea timp de 8 ore la  $1450^{\circ}\text{C}$  compusul  $\text{Ca}_{11}\text{Al}_7\text{CaF}_2$  nu se modifică, ceea ce dovedește o stabilitate termică suficientă pentru ca el să apară în clincherele obținute din amestecuri de materii prime cu adăos de compuși cu fluor.

Deosebirile de păreri în ceea ce privește stabilitatea termică a  $\text{Ca}_{11}\text{Al}_7\text{CaF}_2$  (respectiv a  $\text{Ca}_3\text{A}$ , format în prezență de  $\text{CaF}_2$ ) nu se pot explica decât prin condiții de lucru diferite, care

vine, și mai ales posibilitatea volatilizării fluorului. Desigur că dacă se pleacă de la  $C_3A$ , cu adăos de compusă cu fluor, în intervalul  $1000 \dots 1400^\circ C$  se formează  $C_{11}A_7 \cdot CaF_2$ , termodynamic mai stabil decât  $C_3A$ , alături de CaO liber. Pe măsură creșterii temperaturii și a duratei de calcinare sporește volatilizarea fluorului și în locul  $C_{11}A_7 \cdot CaF_2$  rămâne  $C_{12}A_7$ , mai puțin stabil decât  $C_{11}A_7 \cdot CaF_2$  și se pare, mai puțin stabil decât  $C_3A$ . Ca urmare  $C_{12}A_7$  (respectiv  $C_5A_3$  în lucrările mai vechi) reacționează cu surplusul de CaO prezent și se reface  $C_3A$ . Această explicație concordă cu observațiile lui Toropov /93/ conform cărora refornarea lui  $C_3A$  în probele cu KF se observă la  $1300^\circ C$ , pe cind în probele cu  $CaF_2$  se observă la  $1400^\circ C$ ,  $CaF_2$  volatilizându-se mai greu decât KF.

În acest context se înțelege că stabilitatea lui  $C_{11}A_7 \cdot CaF_2$  pe lîngă temperatură este condiționată de durata de staționare la această temperatură, de cantitatea de  $CaF_2$  (sau alți compuși cu fluor) utilizată și de toți factorii care influențează volatilizarea fluorului.

În ce privește reactivitatea față de apă a  $C_{12}A_7$  și a modificărilor lui halogenate, toți cercetătorii sunt de acord că interacționează rapid cu apa, imprimând cimenturilor în care se găsesc, priza și întărirea rapidă. În legătură cu rezistențele dezvoltate există însă diferențe foarte mari între valorile indicate de diferiți autori. Aceste diferențe între rezistențele indicate în literatură pentru  $C_{12}A_7$  respectiv modificările lui halogenate se explică prin condițiile diferite de obținere, rolul hotărâtor revenind prezenței halogenilor. În lipsa halogenilor se obține  $C_{12}A_7$  sau  $C_{11}A_7 \cdot Ca(OH)_2$  (în prezența umidității) care interacționează extrem de rapid cu apa, formarea hidroaluminatilor hexagonali având loc încă înainte de punere în operă ceea ce are efect negativ asupra rezistențelor dezvoltate. În plus transformarea, în timp, a hidroaluminatilor hexagonali în hidroaluminat de calciu cubic ( $C_3AH_6$ ) este însotită de variația importantă a volumului specific ceea ce afectează negativ evoluția rezistențelor mecanice în timp.

Spre deosebire de  $C_{12}A_7$ ,  $C_{11}A_7 \cdot CaF_2$  prezintă stabilitate termodynamică mai mare, deci va interacționa mai lent cu apa, permitând o punere corespunzătoare în operă, priza rămânind încă rapidă. În plus ionii de  $F^-$  au efect pozitiv accelerând transformarea hidroaluminatilor de calciu hexagonali în hidroaluminat

cubic și reducind efectele negative ale acestei transformări după formarea structurii de rezistență /96/.

Interesul acordat compusului  $C_{12}A_7$  și mai ales modificărilor lui halogenate este justificat de efectul pozitiv pe care îl are prezența lui asupra proprietăților cimentului, permitând obținerea unor cimenturi cu întărire rapidă sau ultrarapidă și rezistențe ridicate la primele termene de întărire.

#### Cimenturi cu conținut de halogenoaluminati de calciu

ACESTE CIMENTURI SE CARACTERIZEAZĂ PRIN INTĂRIRE RAPIDĂ și REZISTENȚE MECANICE RIDICATE. ÎN CE PRIVEȘTE OBȚINEREA UNOR CIMENTURI CU CONȚINUT DE HALOGENOALUMINATI, ÎN LITERATURA DE SPECIALITATE S-AU CONTURAT DOUĂ DIRECȚII:

a) Introducerea unor adăosuri cu conținut de halogeni ( $CaF_2$ ,  $K_2SiF_6$ , etc.) în amestecul de materii prime și ardere la temperaturi de  $1200-1350^{\circ}C$ ;

b) Amestecarea unor cimenturi portland cu halogenoaluminat preparat anterior și eventual cu adăosuri pentru reglarea prizei.

Fiecare din aceste două variante are atât avantaje cât și dezavantaje.

#### 3.1.2. Cimenturi halogenoaluminatice obținute prin introducerea halogenilor în amestecul de materii prime

Introducerea compușilor cu conținut de halogeni în amestecul de materii prime pentru obținerea cimentului influențează puternic capacitatea de reacție și procesele ce decurg la ardere, cu implicații majore asupra componiției fazale a clincherului obținut /97 - 115/.

Butt /97/ arată că în prezența  $CaF_2$ , în intervalul  $950 - 1170^{\circ}C$ , se formează următorii compuși:  $2(C_2S).CaF_2$ ;  $C_2S.CaF_2$ ;  $3(CS).CaF_2$ ;  $C_{11}A_7.CaF_2$ ;  $C_{11}S_4.CaF_2$ . Ultimul este stabil în intervalul de temperatură  $1100-1185^{\circ}C$ , la  $1185^{\circ}C$  se topește incongruent, cu formare de  $C_3S$  și topitură.  $C_3S$  apare astfel la temperatură cu  $150-200^{\circ}C$  mai joasă decât în amestecurile de materii prime obișnuite. Compusul  $C_{11}S_4.CaF_2$  poate include în rețea sa cristalină 4-5%  $Al_2O_3$  și 3,5-4,5%  $Na_2O$ .

In sistemul  $CaO-CaCl_2$ , în timpul procesului de ardere se formează un clorosilicat cu basicitate inferioară,  $Ca_{2,15}Si_{4,15+(0...0,035)}Cl_{0...0,07}$  în care  $CaO:SiO_2 \approx 2$  și un clorosilicat cu basicitate superioară,  $Ca_{3,06-(0...0,1)}Mg(0...0,1)$ .

$\cdot Al_{0,09}SiO_5,2+(0...0,1)Cl(0...0,08)$  în care  $CaO:SiO_2 \approx 3$ . În rețeaua acestor silicati  $Cl^-$  poate substitui izomorf  $O^{2-}$  /97/.

La temperaturi între 1084-1100 °C clorosilicatul cu bazicitate inferioară se descompune în  $\alpha'-C_2S$  și o topitură de  $CaCl_2$ , care se scurge din cristale.

Mendez /98/ arată că în prezența unui adăos de 0,5-1,5%  $CaF_2$  în amestecul de materii prime, în probele arse la 1000 și 1200 °C conținutul de  $\beta-C_2S$  este direct proporțional, iar conținutul de  $CaO$  liber invers proporțional cu cantitatea de  $CaF_2$  din amestecuri. Faza aluminatică principală, în prezența  $CaF_2$  este  $C_{11}A_7 \cdot CaF_2$ . La temperatura de 1280 °C, cu mărirea dozajului de  $CaF_2$ , raportul  $C_3S/CaO$  crește, iar conținutul de  $C_3A$  scade.

In /99/ este semnalată influența  $CaF_2$ , de accelerare a descompunerii  $CaCO_3$ , scăderea temperaturii de apariție a fazei lichide în clincher, de la 1360 °C la 1300 °C. La 1300 °C este prezent  $C_{11}A_7 \cdot CaF_2$ , iar  $CaO$  eliberat contribuie la formarea alitului în cantități sporite.

Lughinina /100/ semnalează unele diferențe referitoare la influența fluorinei asupra transformărilor la arderea amestecului de materii prime, în funcție de modul de introducere a acesteia. Determinările asupra unui ciment de fabrică au arătat că se obține un clincher cu rezistențe mecanice mai bune dacă se omogenizează în prealabil fluorina împreună cu calcarul. În schimb dacă se realizează omogenizarea prealabilă a fluorinei cu argila se obține un clincher cu grad de alb mai ridicat decât în cazul adăugării fluorinei la amestecul de calcar și caolin.

Blanco-Valera /101/, urmărind influența adăosului de 0,2% fluorină la un amestec de materii prime ( $SiO_2$ -14,13%;  $Al_2O_3$ -4,14%;  $Fe_2O_3$ -1,76%;  $CaO$ -43,45%;  $MgO$ -1,81%;  $SO_3$ -0,5%;  $Na_2O$ -0,23%;  $K_2O$ -0,63%; P.C.-33,9%) a constatat că prezența  $CaF_2$  scade temperatura de formare a  $C_3S$ , stimulează descompunerea ghehlenitului în intervalul de temperatură 1160-1200 °C, cu formarea de  $C_2S$  și  $C_{11}A_7 \cdot CaF_2$ , cu efecte pozitive asupra proprietăților clincherului rezultat.

Nichiforov /102/ semnalează efectul pozitiv al adăosului de  $CaF_2$  în amestecul de materii prime constând în redistribuirea oxidelui de calciu între  $Al_2O_3$  și  $SiO_2$ , cu creșterea corespunzătoare a conținutului de  $C_3S$  în defavoarea  $C_2S$ . Pentru conținutul de 0,25-0,30%  $CaF_2$  în amestec s-au obținut clinchere cu diferențe de 10-15%  $C_3S$ , tabelul 3.

Tabelul 3.

Caracterisarea modulară			$\text{CaF}_2$ (%)	Conținut (%)			Compoziție fazală determinată (%)			$R_c$ 28 zile ( $\frac{\text{daN}}{\text{cm}^2}$ )	
$\text{KH}$	$M_{\text{Si}}$	$M_{\text{Al}}$		$\text{R}_2\text{O}$	$\text{MgO}$	Alit (calculat)	Determinare solidă	RK e solidă	Alit	Belit	
0,90	2,3	1,4	-	0,72	1,95	58	56	60	18	22	507
0,90	2,3	1,4	-	0,84	2,02	58	56	60	17	23	503
0,91	2,2	1,4	0,10	0,94	2,40	58	56	62	18	20	527
0,91	2,3	1,4	0,15	0,94	2,40	58	58	62	18	20	543
0,92	2,3	1,4	0,20	2,00	2,00	60	66	70	10	20	563
0,92	2,2	1,5	0,22	-	-	60	66	73	5	22	575
0,92	2,2	1,5	0,25	0,82	1,97	60	68	75	5	20	590
0,92	2,3	1,4	0,35	0,82	1,97	60	70	75	5	20	603

Activitatea clincherului cu conținut de fluor, determinată conform GOST 310.1-76-310.4-76 s-a aflat în limitele 527-600 daN/cm<sup>2</sup>. S-a observat de asemenea că în cazul arderii amestecului de materii prime cu adăos de  $\text{CaF}_2$  cîptușala cuporului (5x185 m) a prezentat o mai mare uniformitate și rezistență în comparație cu amestecurile de materii prime fără adăos de  $\text{CaF}_2$ . Prin mărirea concentrației de fluorină peste 0,20-0,25% s-a observat creșterea radiației termice a cuporului în zona de ardere.

Pentru a urmări influența adăosului de halogeni asupra reactivității amestecului de materii prime și asupra proprietăților clincherului obținut, Vlasova /103/ a folosit un amestec cu  $\text{KH} = 0,86-1,00$ ;  $M_{\text{Si}} = 1,0-1,8$  și  $M_{\text{Al}} = 4,0-8,0$ , la care a adăugat 0,1-5,0% halogeni. După măcinare pînă la un rezidiu de 0,6-1,2% pe sita nr. 008 amestecurile au fost supuse arderii la temperaturi de 1150, 1200, 1250, 1300 și 1350 °C. Capacitatea de reacție a amestecurilor cu conținut de halogeni s-a apreciat prin comparare cu amestecurile fără adăos de halogeni, tabelul 4.

Se observă că introducerea fluorului determină legarea completă a  $\text{CaO}$  în intervalul de temperatură corespunzător reacțiilor în fază solidă, în amestecurile obținute.

Tabelul 4.

Nr. amestec	Conținutul de $\text{CaF}_2$ (%)	Caracteristicile clincherului			Conținutul de $\text{CaO}$ liber (%) după arderea amestecurilor 30 min. la ( $^{\circ}\text{C}$ )				
		KH	$M_{\text{Si}}$	$M_{\text{Al}}$	1150	1200	1250	1300	1350
1	-	0,87	1,78	8,82	-	-	3,70	1,30	0,18
2	6	0,88	1,69	6,71	6,20	1,60	0,31	-	-
3	8	0,91	1,76	7,04	0,93	0,56	-	-	-
4	10	0,85	1,73	6,53	0,50	-	-	-	-
5	-	1,00	1,46	6,90	-	-	4,80	2,30	0,62
<u><math>\text{CaCl}_2</math></u>									
6	6	1,00	1,44	6,47	-	3,30	0,81	-	-
7	8	1,00	1,45	6,56	1,60	0,65	-	-	-

Studiile termografice ale procesului de ardere, cu înregistrarea curbelor ATD, T și de asemenea conductivitatea electrică, figura 5, au arătat că asimilarea  $\text{CaO}$  se realizează la temperaturi mult mai joase în amestecurile cu adăos de  $\text{CaF}_2$ .

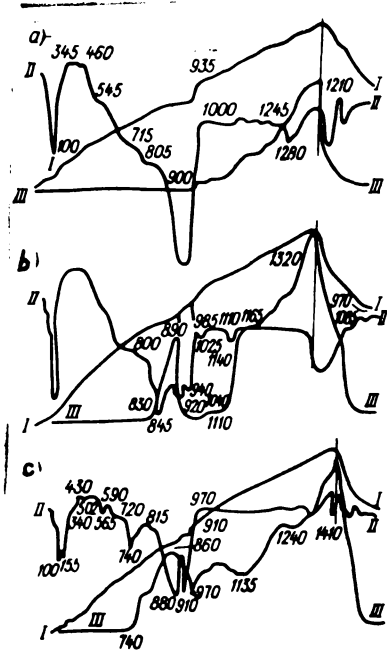


Fig.5.Termogramele amestecurilor de materii prime cu  $\text{KH}=1,0$ .  
I-curba de temperatură;  
II-curba ATD;  
III-curba conductibilității electrice ( $> 10^{-7} \Omega^{-1} \cdot \text{cm}^{-1}$ )  
a) de referință;  
b) cu adăos de 6%  $\text{CaF}_2$ ;  
c) cu adăos de 6%  $\text{CaCl}_2$ .

Se observă că în amestecul cu  $\text{CaF}_2$ , la temperatura de  $890\text{ }^{\circ}\text{C}$  conductibilitatea electrică crește brusc ceea ce dovedește apariția primei topituri eutectice. O parte importantă din  $\text{CaCO}_3$  se consumă imediat după aceasta ca urmare a formării belitului, a cărei prezență este semnalată la  $850\text{ }^{\circ}\text{C}$ , cu  $200-250\text{ }^{\circ}\text{C}$  mai devreme decât în amestecurile fără adăos de halogeni.

Formarea alitului a fost semnalată la  $1150-1200\text{ }^{\circ}\text{C}$ . Aceasta se poate explica prin descompunerea  $\text{Ca}_{12}\text{Si}_4\text{O}_{19}\text{X}_2$  cu formare de  $\text{Ca}_3\text{Si}$  și  $\text{CaF}_2$  care intră în compoziția  $\text{Ca}_{11}\text{Al}_7\text{CaF}_2$ .

Pentru obținerea clincherului cu conținut de halogeni în condiții semiindustriale Vlasova și colaboratorii /103/ au utilizat cuptoare rotative cu lungimea de 8 și 9 m. Arderea s-a făcut în atmosferă oxidantă. Temperatura de asimilare completă a  $\text{CaO}$  în clincherele cu conținut de fluor s-a situat între  $1100-1160\text{ }^{\circ}\text{C}$ , în funcție de conținutul de fluor ( $4,0-0,2\%$ ) și de compoziția amestecurilor. Utilizarea compozitiilor cu exces de clor nu a dus la legarea completă a  $\text{CaO}$ .

În cazul arderii amestecurilor cu fluor, în momentul asimilării complete a  $\text{CaO}$ , rămâne aproximativ jumătate din cantitatea inițial introdusă, iar în cazul arderii amestecurilor cu clor (pentru  $\text{CaO} < 1,5\%$ ) rămâne probabil 20-30% din clor.

Determinarea fluorului și a clorului în clinchere se poate realiza fie pe cale spectrofotometrică /104/, fie pe cale potențiometrică /105/ folosind un electrod sensibil la ioni de  $\text{F}^-$  respectiv  $\text{Cl}^-$  (Orion-Model 91-00).

Captarea halogenilor din gazele de ardere este dificilă și de aceea trebuie căutată reținerea lor în amestecul de materii prime.

Compoziția mineralogică a clincherelor cu conținut de halogeni, elaborate de Vlasova și colaboratorii este prezentată în tabelul 5.

Microstructura clincherelor s-a caracterizat prin dimensiuni mici a cristalelor, iar rezistența la micinare a fost cu 20-30% mai mică decât cea a clincherelor obisnuite.

Procesul de hidratare a clincherelor cu conținut de halogeni s-a studiat cu ajutorul microscopului electronic și analiză termică diferențială; s-a dovedit că modificările halogenate a materialului se hidratează rapid și în plus acceleră procesul de hidratare a alitului. Imediat după amestecare cu apa se formează cantități mari de etringit și  $\text{Ca}_4\text{Al}_1\text{H}_{19}$  și un gel cu conținut

Tabelul 5.

Nr. clincher	C o m p o z i t i e (%)							
	C <sub>1</sub>	F	C <sub>2</sub> S	C <sub>2</sub> A	C <sub>11</sub> A <sub>7</sub> ·CaF <sub>2</sub>	C <sub>11</sub> A <sub>7</sub> ·CaCl <sub>2</sub>	C <sub>4</sub> AF	
1	-	-	38	30	25	-	-	4
2	-	1,00	46	28	-	17	-	6
3	-	1,03	61	16	-	18	-	3
4	-	2,16	37	40	-	18	-	3
5	-	-	40	22	25	-	-	7
6	-	1,10	68	0	10	11	-	5
7	-	1,27	71	0	8	12	-	6
8	-	1,65	70	5	-	18	-	5
9	-	1,03	71	0	-	15	-	5
10	0,13	-	67	-	6	-	14	5
11	0,35	-	65	0	0	-	24	6

de fluor, Al(OH)<sub>p</sub>F<sub>q</sub>.

Rezistențele mecanice ale pietrei de ciment în prima etapă sunt determinate de aglomerările de etringit și Al(OH)<sub>p</sub>F<sub>q</sub>, iar la perioade mai lungi participă și hidrosilicatați de calciu. Cimenturile cu conținut de halogeni au prezentat o degajare de căldură mai mare decât cimenturile obișnuite.

Caracteristicile fizico-mecanice ale cimenturilor obținute, cu adăosuri optime de sulfat de calciu sunt prezentate în tabelul 6, /103/. Pentru comparație sunt date și rezultatele determinărilor pe un ciment aluminos, marca 600 (Nr.12).

Tabelul 6.

Nr. ci- ment	S <sub>0</sub> (cm <sup>2</sup> /g)	Apa de consistență normală (%)	Timp de priză h-min		Rezistență la compresiune (daN/cm <sup>2</sup> )				
			Inceput	Sfîrșit	6 h	10h+1zii	7 zile	28 zile	
2	5000	31,33	0-10	0-12	107	113	105	283	426
3	5000	28,00	0-12	0-20	94	100	98	376	460
4	5000	27,66	0-25	0-30	120	127	133	286	311
8	2150	28,00	0-13	0-16	98	104	92	326	412
10	5200	26,00	0-38	1-05	117	149	272	437	295
11	4890	26,00	0-31	0-50	65	184	288	435	476
12	5000	27,80	1-50	2-11	7	88	276	623	647

Resultatele prezentate demonstrează că cimentul cu întărire rapidă, cu conținut de halogeni poate substitui cu succes cimentul rapid alumines.

Pentru producerea industrială a cimentului cu întărire rapidă, cu conținut de halogeni, se poate folosi erice amestec de materii prime cu conținut de cel puțin 25%  $\text{Al}_2\text{O}_3$ , și utilajul tehnologic al fabricilor de ciment obisnuite. Temperatura de ardere a acestor cimenturi se recomandă în intervalul de 1180 - 1300 °C, /103/.

Basindu-se pe rezultatele de laborator obținute, Vlasova și colaboratorii au trecut la obținerea cimentului fineroaluminos în condiții industriale /106/. În acest scop au folosit un amestec compus din calcar și zgură de la fabricarea aluminiului. Cantitatea de  $\text{CaF}_2$  introdusă în amestec s-a calculat cu formula:

$$\% \text{CaF}_2 = 0,11(\% \text{Al}_2\text{O}_3 - 0,26\% \text{Fe}_2\text{O}_3) + 1,26\% \text{Na}_2\text{O} + 0,86\% \text{K}_2\text{O}$$

Clincherul obținut a conținut 15%  $\text{C}_{11}\text{A}_7\cdot\text{CaF}_2$  și 65% alit, ceea ce a corespuns la o compozitie mineralogică ce poate fi calculată cu formulele:

$$\begin{aligned} \% \text{C}_3\text{S} &= 4,1\% \text{CaO} + 3,7\% \text{Na}_2\text{O} + 2,4\% \text{K}_2\text{O} - 7,6\% \text{SiO}_2 - 3,52\% \text{Al}_2\text{O}_3 - \\ &- 5,71\% \text{Fe}_2\text{O}_3 - 2,85\% \text{SO}_3; \end{aligned}$$

$$\% \text{C}_{11}\text{A}_7\cdot\text{CaF}_2 = 1,97(\% \text{Al}_2\text{O}_3 - 0,68\% \text{Fe}_2\text{O}_3)$$

În tabelul 7 sunt prezentate rezultatele determinărilor pe clincher obținute, cu conținut de fluor în clincher între 0,5 - 0,8% /106/.

Rezultate asemănătoare sunt prezentate în /107/, autorii au folosit un amestec de materii prime cu următoarea compozitie: 20-35%  $\text{Al}_2\text{O}_3$ ; 7,2-15,5%  $\text{SiO}_2$ ; 52-65%  $\text{CaO}$ ; 1,3-2,6%  $\text{K}_2\text{O}$  și sub 3%  $\text{Fe}_2\text{O}_3$ . Arderea s-a făcut la temperaturi cuprinse între 1240-1360 °C, obținând clincher cu 40-60%  $\text{C}_{11}\text{A}_7\cdot\text{CaF}_2$  și 30-15%  $\text{C}_3\text{S}$ . Timpul de prăjire al cimentului obținut s-a reglat prin adăugare de ghips sau amestec de semihidrat și anhidrit.

Pentru a urmări influența adăosului de  $\text{CaF}_2$  asupra proprietăților clincherului obținut, în funcție de compozitie de bază a clincherului și de modul de introducere, Lughinina /108/ a folosit trei amestecuri de materii prime:

- a) pentru ciment alitic ( $\text{KH}=0,92$ ;  $M_{\text{Si}}=2,3$ ;  $M_{\text{Al}}=1,4$ )
- b) pentru ciment cu întărire rapidă ( $\text{KH}=0,89$ ;  $M_{\text{Si}}=2,4$ ;  $M_{\text{Al}}=1,2$ )

Tabloul 7a

Content de fluor în clinchier (%)	S <small>o</small> finis ciment (g)	Apă de consistență normală (%)	Timp de priză (h-min)	Rezistență (daN/cm <sup>2</sup> )	
				Inceput sfregat	La compresiune (zile)
0,6	10,0	4900	30,0	0-10	1-14 7-28 1-44 1-7-28
0,6	8,0	4700	29,6	0-20	0-30 1-148 372 240 5 34 43 43
0,8	8,0	4800	29,3	0-18	0-25 81 205 300 340 16 37 40 35
0,5	6,0	4300	30,0	0-40	1-35 10 341 492 597 3 52 56 73

c) pentru ciment rezistent la sulfati ( $M_{H}=0,83$ ;  $M_{Si}=2,2$ ;  $M_{Al}=0,92$ ).

S-au realizat și amestecuri diferind între ele doar prin condițiile de realizare a contactelor initiale ale  $CaF_2$  cu unul din componentii amestecului de materii prime.

Rezultatele obținute au arătat că prin micinarea prealabilă a  $CaF_2$  cu calcarul are loc o scădere a conținutului de alit față de valoarea calculată, în acest caz însă s-a obținut clincher cu cele mai bune rezistențe mecanice, comportare care se poate explica numai prin prezența în aceste clincheri a unui alit cu conținut minim de impurități și cu o structură emogenă, optimă.

În cazul clincherelor obținute din amestecuri de materii prime în care  $CaF_2$  s-a amestecat în prealabil cu cenușa de piatră, s-a constatat conținutul maxim de alit, dar acesta a prezentat inclusiuni de aluminiu și fier în rețea cristalină și ca urmare o activitate hidraulică mai slabă.

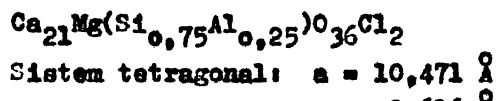
Amestecarea  $CaF_2$  cu toți componentii amestecului de materii prime deodată a determinat scăderea temperaturii de apariție a fazei lichide în sistem și formarea unui alit cu mai multe inclusiuni, o structură mai neomogenă și cu o activitate hidraulică mai slabă. Aceste rezultate arată că se poate îmbunătăți calitatea clincherului prin contacte initiale foarte bune ale mineralizatorului cu unii din componentii amestecului de materii prime.

Mecanismul după care acționează  $CaCl_2$  în amestecul de materii prime pentru obținerea cimentului a constituit de asemenea obiectul a numeroase lucrări, în special în vederea obținerii clincherelor alinitice. Nudelman și colaboratorii /109 - 112/ indică posibilitatea obținerii clincherului de ciment pe calea granulariei amestecului de materii prime și combustibil solid, cu elorūm de calciu și arderea pe grătar convoyer.

Scopul adăosului de  $CaCl_2$  este de intensificare a proceselor din timpul arderei și de formare a clorocaluminatului de calciu în clincher. Pentru a reduce volatilitatea  $CaCl_2$ , autori au folosit la granulare două amestecuri de materii prime, diferite numai prin conținutul de  $CaCl_2$ . Miezul granulelor a fost realizat din amestec de materii prime cu 5-10%  $CaCl_2$ , iar stratul exterior din amestec, cu conținut de 0,5-3%  $CaCl_2$ . Raportul între masa stratului exterior și masa miezului granulei a fost de 0,25 - 2.

Tot în scopul reducerii volatilității  $\text{CaCl}_2$ , autorii au supus arderii două straturi suprapuse pe grătar, în care stratul inferior a prezentat conținut mai mare de  $\text{CaCl}_2$ , iar cel superior conținut mai mic.

În urma experiențelor lui Nudelman și colaboratorii a fost elaborată tehnologia de ardere a clincherului în topitură de  $\text{CaCl}_2$ . Specificul acestei tehnologii constă în faptul că la fânia brută pentru obținerea cimentului se adaugă 10-20%  $\text{CaCl}_2$ , fără de numai 2-3% în calitate de mineralizator. Sub acțiunea topiturii de  $\text{CaCl}_2$ , cu viscozitate mică, ce apare la 700 °C, mineralele clincherului se formează mai ușor și la temperaturi mai joase (1000-1200 °C). În topitura de sare se formează un compus nou de tip silicat tricalcic, cu activitate hidraulică mai mare decât cea a alitului. Acest compus a fost denumit alinit /113/. Formula structurală și caracteristicile cristalografice ale alinitului sunt:



Indici de refracție:  $\text{Ng} = 1,704$   
 $\text{Np} = 1,609$

Densitate: = 3,075 g/cm<sup>3</sup>

Prin arderea amestecului de materii prime în topitură de  $\text{CaCl}_2$ , între 500-700 °C pe suprafața granulelor de materie primă se formează la început  $\text{CaCO}_3 \cdot \text{CaCl}_2$ , apoi  $\text{CaO} \cdot 4\text{CaCl}_2$ . Aceștia se descompun termic și între 700-900 °C se formează în continuare compuși complecși, cu caracter intermediar, de tip clorasilicat de calciu și ferit - cloroaluminat de calciu. Între 1000-1200 °C se formează alinitul. Deosebirea esențială între compuși intermediari și alinit este că în structura primilor, clorul se așează fie terminal, fie puncte între doi ioni de  $\text{Ca}^{2+}$ , iar în alinit clorul ocupă poziție centrală, în coordonată octaedrică între ioni de  $\text{Ca}^{2+}$  /113/. Ca urmare ionicul  $\text{Cl}^-$  se păstrează în rețea alinitului pînă la 1450 °C.

Compoziția chimică a clincherului alinitic, exceptind conținutul în clor, nu diferă esențial de cea a clincherului obișnuit. În afară de alinit și cloroaluminat de calciu, clincherul mai conține  $\text{C}_2\text{F}$  și  $\beta-\text{C}_2\text{S}$ . Porozitatea lui poate atinge 40-50%, ceea ce face ca măcinabilitatea lui să fie esențial mai bună decât a clincherului obișnuit.

Cimentul obținut prin măcinarea clincherului alinitic corespunde mărclor 400 sau 500. Betoanele realizate cu ciment alinitic, în urma unui tratament termic (aburire) 5-6 ore ating 60-70% din rezistența după 28 zile /114/.

Problema coroziunii oțelului din armătură este controversată; unei autori susțin că în cazul betoanelor cu ciment alinitic coroziunea este importantă doar în faza de început de rigidizare, iar după un timp mai lung viteza de coroziune s-ar incetini și asemenea măsură încit pe ansamblu coroziunea este mai mică decât în cazul betoanelor obișnuite. Alți autori sunt de părere că odată cu hidratarea și rigidizarea crește în mod continuu cantitatea de cloruri solubile și astfel coroziunea avansează.

Încercări de obținere a cimentului alinitic au făcut și Révay și Bényei /115/. Rezultatele lor au confirmat indicațiile din literatură referitoare la acțiunea pozitivă a  $\text{CaCl}_2$  asupra formării clincherului. În figurile 6 și 7 este prezentată dependența conținutului de  $\text{CaO}$  liber (în două clinchere) funcție de adăosul de  $\text{CaCl}_2$  și temperatura de ardere.

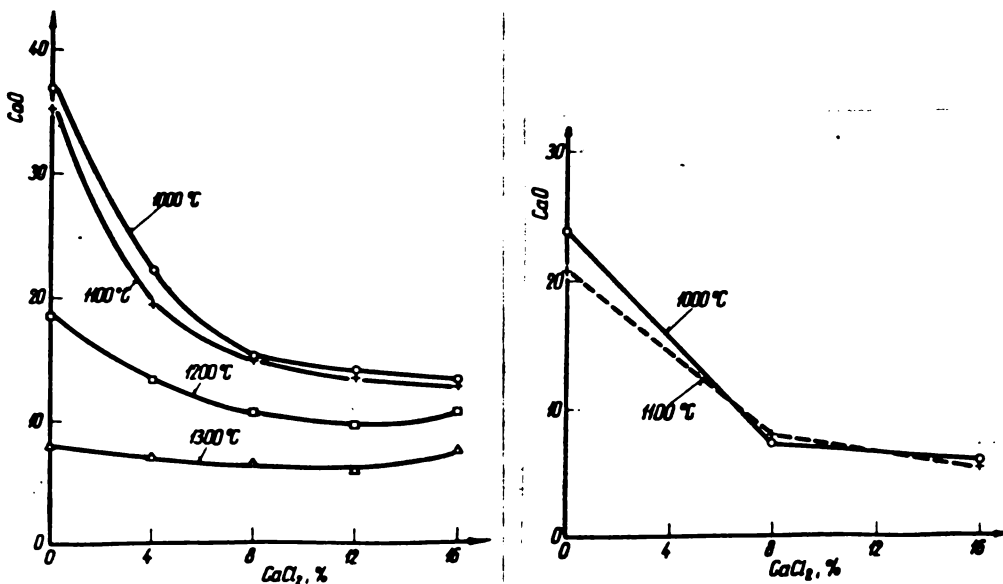


Fig.6. Dependența conținutului de  $\text{CaO}$  liber de cantitatea de  $\text{CaCl}_2$  și temperatura de ardere, pentru un clincher cu  $\text{KH} = 0,99$ .

Fig.7. Dependența conținutului de  $\text{CaO}$  liber de cantitatea de  $\text{CaCl}_2$ , pentru un clincher cu  $\text{KH} = 0,94$ .

Rezistențele mecanice ale cimenturilor alinitice realizate de cei doi autori (4 compozitii) prin ardere la  $1150^{\circ}\text{C}$ , 2 ore au fost nesatisfăcătoare - maxim  $365 \text{ daN/cm}^2$ , după 28 zile. Autorii atribuie aceste rezultate nesatisfăcătoare faptului că în condițiile de ardere aplicate  $\text{CaCl}_2$  s-a eliminat într-o măsură prea mică.

Folosind clinchere cu conținut de halogenocaluminati se pot obține și cimenturi cu adăosuri. În lucrarea /116/ se arată posibilitatea obținerii unui ciment cu întărire rapidă și rezistențe ridicate prin adăos de 10-30% zgură granulată, la un clincher conținând  $1\text{-}50\%$   $\text{C}_{11}\text{A}_7\text{-CaX}_2$ . Cimentul conține de asemenea anhidrit și semihidrat sau ghips, cu raportul  $\text{CaSO}_4/\text{Al}_2\text{O}_3 < 2,4$  (molar) și de asemenea  $\text{Na}_2\text{SO}_4$  sau  $\text{K}_2\text{SO}_4$ . Acest ciment se caracterizează prin rezistențe mai mici, dar apropiate de ale cimentului fără adăos de zgură. De exemplu, cimentul format din 10 părți zgură granulată și 90 părți clincher cu 17%  $\text{C}_{11}\text{A}_7\text{-CaF}_2$  a dezvoltat rezistențe la compresiune după 3 ore, 1 zi, 3 zile și 7 zile de: 109, 143, 239 și  $322 \text{ daN/cm}^2$ , în timp ce cimentul analog, dar fără zgură a prezentat după aceleasi termene, rezistențe de: 118, 170, 307 și  $366 \text{ daN/cm}^2$ .

### 3.1.3. Cimenturi halogenocaluminatice obținute prin amestecarea unor cimenturi portland cu halogenocaluminati preparați anterior

Decarece la temperatura de formare a  $\text{C}_2\text{S}$  și  $\text{C}_3\text{S}$  cu viteză apreciabilă, volatilitatea halogenilor introduse în amestecul de materii prime este destul de ridicată și decarece temperatura de formare a  $\text{C}_{11}\text{A}_7\text{-CaX}_2$  este mai joasă ( $1100\text{-}1200^{\circ}\text{C}$ ), au existat încercări de a obține cimenturi rapide prin amestecarea unor clinchere de ciment portland cu halogenocaluminati preparați anterior /117-120/.

Bilkov /117/ arată că prin folosirea unui adăos de 15%  $\text{C}_{11}\text{A}_7\text{-CaX}_2$  (X = F, Cl) la un clincher portland se pot obține cimenturi cu întărire rapidă și rezistențe inițiale ridicate. În /118/ se propune cimentul cu următoarea compoziție (în părți masă): 100 - component de bază conținând 10-80%  $\text{C}_2\text{S}$ , 90-20 părți  $\text{C}_{12}\text{A}_7$  și de asemenea 2-1000 părți ghips.

În /119/, /120/ se indică de asemenea obținerea unor cimenturi cu întărire rapidă și rezistențe inițiale satisfăcătoare, folosind amestecuri de  $\text{C}_{11}\text{A}_7\text{-CaX}_2$ , clincher portland și ghips, în

care conținutul de  $C_{11}A_7 \cdot CaX_2$  variază între 5-25%.

In /121/ se arată că se poate obține un liant cu întărire ultrarapidă compus dintr-un clincher cu conținut de  $C_{11}A_7 \cdot CaX_2$ ,  $C_3S$  și  $C_2S$ , în proporție de pînă la 30%, din ghips: 0,1-20% și cantități mici de sulfati alcalini și sulfati de Al, Mn, Mg. Acest liant atinge rezistențe ridicate după cîteva minute și prezintă rezistențe stabile timp îndelungat, fiind indicat pentru realizarea unor reparări și închideri de seurări de apă.

### 3.1.4. Reglarea timpului de priză a cimenturilor cu conținut de halogenocaluminatii de calciu

Datorită interacțiunii rapide a halogenocaluminatilor de calciu cu apa, o problemă importantă este găsirea unor adăsuri potrivite pentru însetinarea acestui proces, fără ca rezistențele mecanice să fie afectate. Ca întăritori ai procesului de priză se pot folosi: acid boric, borax, dextrină, acizi organici și sărurile lor, etc. In literatură există însă indicații și pentru folesirea sulfatului de calciu ca întăritor de priză a acestor cimenturi. Astfel în /122/ se arată că pentru cimenturi cu conținut de 5-60%  $C_{11}A_7 \cdot CaX_2$  alături de  $C_3S$ ,  $C_2S$  și  $C_4AF$  s-au obținut bune rezultate prin utilizarea unui întăritor compus din anhidrit și fluorură de siliciu. Conținutul de anhidrit se doveză astfel că raportul între  $Al_2O_3$  (din clincher) și  $SiO_2$  (din anhidrit) să se găsească în limitele 0,7-1,8.

In /123/ se propune pentru însetinarea procesului de priză a cimenturilor cu conținut de  $C_{11}A_7 \cdot CaF_2$  un adăs de 0,5-10% format din acizi dicarboxilici nesaturati (maleic, fumaric), anhidridale lor și (sau) sărurile lor. Adăsul se poate introduce în stare uscată sau sub formă de soluție. Astfel, pentru un ciment cu conținut de  $C_{11}A_7 \cdot CaF_2$  timpul de început de priză a fost 13 minute și rezistență după 2 ore 59 daN/cm<sup>2</sup>, iar la utilizarea de 1% acid maleic (în stare uscată) timpul de priză a fost 23 minute și rezistență după 2 ore - 50 daN/cm<sup>2</sup>, iar la utilizarea a 2% acid fumaric (în stare uscată) timpul de priză a fost 21 minute și rezistență 100 daN/cm<sup>2</sup>.

In /124/ ca întăritori pentru întărire halogenocaluminatilor de calciu se recomandă cloruri alcalini sau alcalinopămîtoase ( $NaCl$ ,  $KCl$ ,  $CaCl_2$ ,  $MgCl_2$ ) în cantitate de 0,1-8 molii la 1 mol  $Al_2O_3$ .

In /125/ pentru reglarea timpului de priză a unui ciment cu conținut de  $C_{12}A_7$  se folosește 2%  $KHCO_3$  și 0,5% citrat acid de sodiu. Acidul citric în proporție de 1% se folosește și pentru reglarea timpului de priză a unui ciment aluminat care conține 5%  $C_{12}A_7$  și 40% CA, /126/.

### 3.2. Cimenturi cu conținut de sulfataluminat de calciu

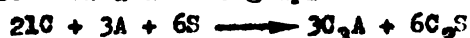
#### 3.2.1. Structura și proprietățile sulfataluminetului de calciu

Sulfataluminatul de calciu, cu formula  $3(CaO \cdot Al_2O_3) \cdot CaSO_4$ , sau  $C_4A_3S$  cristalizează în sistemul cubic, cu parametrul reticular  $a = 18,39 \text{ \AA}$ . Se prezintă sub formă de cristale transparente, cu indice de refracție 1,564 - 1,570. Este solubil în HCl și are densitate 2,61 g/cm<sup>3</sup> /91/. Hidratarea  $C_4A_3S$  descurge intens începând din acest punct de vedere cu  $C_{11}A_7 \cdot CaX_2$  /31/. Prin hidratarea sulfataluminetului de calciu rezultă faze cristaline care constituie o rețea a cărei ochiuri sunt umplute cu fază gelată, ceea ce determină înaltă densitate și trăinicia pietrei de ciment. În prima perioadă de hidratare se formează etringit, hidroaluminati de calciu ( $CAH_{10}$  și  $C_2AH_8$ ) și de asemenea hidroxid de aluminiu care se păstrează perioade îndelungate de timp /31/. Important este faptul că nu s-a pus în evidență o recristalizare a produsilor de hidratare ai  $C_4A_3S$ , ceea ce face ca piatra de ciment să-și păstreze și chiar să-și mărească densitatea în timp.

Cimenturile cu conținut de sulfataluminat de calciu prezintă întărire rapidă, iar la un conținut ridicat al acestuia se obțin cimenturi expansive.

Sulfataluminatul de calciu, ca și halogenocaluminatii de calciu, este mai stabil decât  $C_3A$ . Astfel prin calcinarea unui amestec de  $C_3A$  și ghips, la temperaturi de 1300-1350 °C se formează  $3(CA) \cdot CaSO_4$ . De asemenea pornind de la amestecuri de  $CaCO_3$ ,  $Al_2O_3$  și  $CaSO_4$ , în locul  $C_3A$  se formează  $3(CA) \cdot CaSO_4$  /127/. Pornind de la instabilitatea  $C_3A$  în prezența  $CaSO_4$ , Okorokov și colaboratorii /127/ sugerează posibilitatea dirijării distribuției  $CaO$  între  $SiO_2$  și  $Al_2O_3$ , prin adăos de ghips. El arată că, în principiu, mecanismul formării mineralelor în sistemul  $CaO \cdot Al_2O_3 \cdot SiO_2$ , fără adăos și cu adăos de ghips se poate reprezenta prin următoarele două scheme:

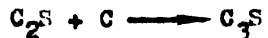
a) Mase fără adăos de ghips:



b) Mase cu adăos de ghips:



Aceste scheme au fost verificate experimental de către autorii amintiți, dar deoarece la temperaturile de lucru (1330 - 1380 °C) viteza de legare a CaO rezultat la formarea  $3(\text{CA})\cdot\text{CaSO}_4$  în locul  $\text{C}_3\text{A}$ , era de așteptat să fie mică, autorii au adăugat alături de ghips și cantități mici (0,7%)  $\text{CaF}_2$ , pentru a grăbi reacția:



În legătură cu cinetica formării mineralelor în sistemul  $\text{CaO}\text{-}\text{Al}_2\text{O}_3\text{-SiO}_2$ , în prezența gipsului, Kuznetov și Kravcenko /31/ arată că ordinea de apariție a acestora este:  $\text{C}_{12}\text{A}_7$ , CA,  $\text{C}_2\text{S}$ ,  $3(\text{CA})\cdot\text{CaSO}_4$ , figura 8. Autorii amintiți semnalează și prezența unui sulfosilicat de calciu, ca fază intermediară de legare a sulfatului de calciu. Aceasta se descompune însă la temperaturi în jur de 1200 °C, iar  $\text{CaSO}_4$  eliberat este legat cu formarea  $3(\text{CA})\cdot\text{CaSO}_4$ .

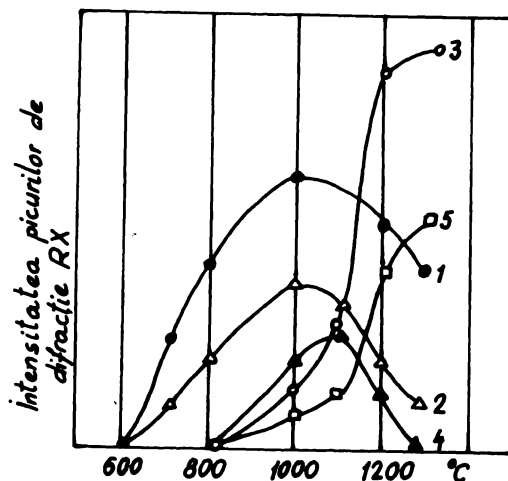


Fig.8. Compozitia fazală a clincherului sulfataluminatic în funcție de temperatura de ardere,

1)  $\text{C}_{12}\text{A}_7$ ; 2) CA;

3)  $3(\text{CA})\cdot\text{CaSO}_4$ ;

4)  $2(\text{C}_2\text{S})\cdot\text{CaSO}_4$ ; 5)  $\text{C}_2\text{S}$ .

In practică sulfatul de calciu se introduce deseori sub formă de fosfoghips care manifestă însă o acțiune mai complexă decât ghipsul, datorită conținutului de microcomponenti, îndeosebi fluor și  $P_2O_5$ .

Okneanova și Kramer /128/ arată că prin adăugarea a 4-5% fosfoghips în făina brută cu  $KH = 0,94-0,96$  se poate obține fie o reducere importantă a temperaturii de ardere, fie un ciment de maro supericolor, cu întărire rapidă.

### 3.2.2. Obținerea cimenturilor sulfataluminatice

Atakuziev și Mirzaev /129/ au arătat că se pot obține cimenturi sulfataluminatice folosind ca materii prime fosfoghipsul, caolin și bauxită. Prin ardere la temperatura de  $1300^{\circ}C$  s-a obținut un clincher cu compoziția mineralogică (în %):  $C_4A_3S-21,20$ ;  $C_5S_2S-63,20$ ;  $CaSO_4$  nelegat-8,60 și  $C_4AF-3,75$ , care după măcinare la suprafețe specifice între  $3000-5000 \text{ cm}^2/\text{g}$  a prezentat întărire rapidă și a dezvoltat rezistențe mecanice la compresiune, după 28 zile de hidratare, cuprinse între  $420-600 \text{ daN/cm}^2$ . Fabricarea acestui ciment asigură reducerea consumului de combustibil cu 30%, scăderea consumului de energie electrică la măcinarea clincherului de 1,5 ori și creșterea productivității euptorului rotativ cu 25% în comparație cu fabricarea cimentului portland normal.

Atakuziev și colaboratorii /129-132/ arată că se pot obține cimenturi sulfataluminat-silicatice alături de gaze sulfuroase, folosind ca materii prime fosfoghipsul, argile caolinițice și bauxită cu conținut ridicat de fier. Arderea se realizează în atmosferă oxidantă, la temperaturi de  $1200-1300^{\circ}C$  și se obține un clincher cu  $10-15\% CaSO_4$ , care prezintă întărire rapidă.

Proprietăți remarcabile prezintă cimenturile sulfataluminatice cu conținut ridicat de fier. Kulikova și Zosulja /80/ au realizat clinchere din materii prime naturale: calcar, bauxită, component feritic și fosfoghips, prin ardere la  $1230-1250^{\circ}C$ , timp de 1 oră. Clincherele obținute au conținut (%):  $3(CA).CaSO_4 = 19-48$ ;  $C_4AF = 33-68$  și  $C_2S = 5,8-36,0$  și au prezentat viteză ridicată de hidratare, dezvoltând rezistențe mecanice corespunzătoare mărții 500.

Temperatura de ardere a unui clincher sulfataluminatic este cu cel puțin  $200^{\circ}C$  mai joasă decât a unui clincher portland obișnuit, în timp ce viteză de interacțiune cu apa este

mai ridicată în cazul cimentului sulfataluminatice, figura 9, /133/.

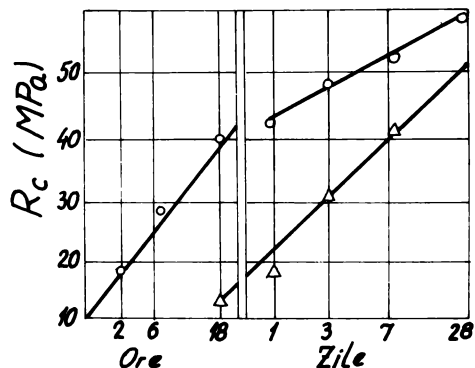


Fig.9. Variatia in timp a rezistentei la compresiune a unui ciment sulfataluminatic (1) si portland (2).

Caracteristic pentru cimentul sulfataluminos este faptul că în perioada de început de întărire, rezistența crește în mod intensiv – asemănător cimenturilor aluminoase, iar în urma rigidizării îndelungate rezistența crește mai departe în mod continuu – asemănător cimentului portland.

Jaler și Webb /134/, /135/ propun cimentul cu întărire ultrarapidă conținând (%):  $C_4A_3S = 3,75-40$ ;  $CaO = 0,1-5$ ;  $CaSO_4 = 3-35$  și restul silicat dicalcic. Folosind cimentul cu 18,9%  $C_4A_3S$ ; 22,2%  $CaSO_4$ ; 46%  $C_2S$ ; 1,6%  $C_4AF$  și 4,4%  $CaO$  s-au preparat probe din mortar 2,75:1 și raportul A/C = 0,623; după 1 și 182 zile aceste probe au dezvoltat rezistențe la compresiune de 234 și 405 daN/cm<sup>2</sup>. Pornind de la același ciment, dar cu adăos de 0,81% amidon solubil, parțial hidrolizat și 1% acid citric s-au preparat probe similare care după același termene au dezvoltat rezistențe de 339 și respectiv 503 daN/cm<sup>2</sup> (raportul A/C necesar a fost mai mic: 0,517). Rezultate și mai bune s-au obținut dacă lacimentul de mai sus s-a adăugat 2,0% acid citric și 4,0% sare-roză, probele obținute au prezentat rezistențe (după același termene) de 415 și respectiv 585 daN/cm<sup>2</sup>.

In /136/ se arată că folosind un amestec de materii prime pe bază de azură granulată și ghips, iar ca adăosuri de corecție bauxită și calcar se poate obține, prin ardere la 1250-1300 °C, un ciment care conține:  $C_2S$ ,  $C_4A_3S$ , mici cantități de  $Ca$ ,  $C_{12}A_7$

și (sau) feriți de calciu și de asemenea foarte puțin  $\text{CaSO}_4$ ,  $\text{Ca}_5\text{S}_2\bar{\text{S}}$  și (sau) fază sticloasă. Acest ciment se distinge prin rezistențe ridicate la primele termene de întărire și stabilitate sulfatică ridicată.

Majling /137/ propune obținerea unui clincher sulfataluminat din amestec de materii prime naturale sau (și) deseură, metoda distingindu-se prin aceea că amestecul format din (%): calcar dolomitizat = 58-63; argilă = 30-35 și ghips = 2-5, se oxiogenizează, se arde la 1000-1250 °C, timp de 1 oră și apoi se măcină la suprafață specifică 2500-3000  $\text{cm}^2/\text{g}$ .

Subin /138/ propune un clincher de ciment sulfataluminat caracterizat prin consum redus de combustibil la ardere și viteză de întărire mai lentă. Acest clincher conține (%):  $\text{C}_4\text{A}_3\bar{\text{S}}$  = 12-49,6; CaO liber = 0,1-1;  $\text{CaSO}_4$  = 0,3-2; sulfatferită de calciu = 8-25;  $\text{C}_2\text{S}$  = restul.

Korneev /139/ propune cimentul cu întărire rapidă cuprinzând (%):  $\text{C}_4\text{A}_3\bar{\text{S}}$  = 10-40;  $\text{C}_2\text{S}$  = 2-8;  $\text{CaSO}_4$  = 0,5-10; CaO liber = 0,5-3; alumoferit de calciu = restul. Resistențele la compresiune după întărirea acestui ciment în mediu umed sunt 298  $\text{daN}/\text{cm}^2$  la 1 zi, 378  $\text{daN}/\text{cm}^2$  la 3 zile și 534  $\text{daN}/\text{cm}^2$  la 7 zile.

Kutateladze /140/ a elaborat cimenturi fără contractie și expansive prin introducerea ghipsului în amestecul de materii prime. Cimenturile obținute au prezentat întărire rapidă, corespunzând mărului 400.

Furuhashi Isaac /141/, /142/ propune cimentul cu întărire rapidă conținând 19-70% sulfataluminat de calciu, pînă la 35% sulfat de calciu și 10-65%  $\text{C}_2\text{S}$ , caracterizat prin raport molar  $\text{SO}_3/\text{Al}_2\text{O}_3$  = 0,4-1,7;  $\text{CaO}/\text{Al}_2\text{O}_3$  = 0,5-1,2 și lipsit de CaO liber. Aceast ciment se obține prin ardere la temperaturi de 1200-1300 °C; după măcinare la suprafață specifică de aproximativ  $3400\text{cm}^2/\text{g}$  se obține un ciment cu sfîrșit de priză 1,5-2,5 ore și rezistență la compresiune după 4 ore între 154-245  $\text{daN}/\text{cm}^2$ . Cimentul portland cu proprietăți asemănătoare se obține prin ardere la temperatură de peste 1400 °C, necesitând un consum mult mai mare de combustibil.

Po lîngă consum de combustibil redus, cimenturile sulfataluminatice se caracterizează și prin rezistențe ridicate la primele termene de întărire, datorate compusului  $\text{C}_4\text{A}_3\bar{\text{S}}$ .

### 3.2.3. Cimenturi cu întărire rapidă obținute prin amestecarea unor cimenturi cu sulfat de calciu

Galer /143/ a propus un ciment cu întărire rapidă cu următoarea compoziție (%): 18-65 ciment aluminos; 16-35 sulfat de calciu (dihidrat, semihidrat sau anhidrit); 0-65 ciment portland și 0-8 var (nestins sau stins). Se recomandă ca raportul de masă între cimentul aluminos și sulfatul de calciu să fie între 1:1-2, 4:1, raportul var:sulfat de calciu să fie mai mic decât 0,4:1, iar raportul ciment portland:sulfat de calciu să fie mai mic decât 4:1. Raportul A/C = 0,25-0,8 asigură cantitatea de estringit în primele 3-4 ore de hidratare, în limitele 40-60% din masa pastei.

In /144/ se indică un liant cu întărire rapidă compus din ciment portland cu 24% adăos format din: 100 părți masă  $\text{CaSO}_4$  și 100 părți masă aluminate de calciu amorf (conținând 45,8%  $\text{Al}_2\text{O}_3$ ). La acest liant s-a adăugat 1,6%  $\text{Na}_2\text{CO}_3$  și 0,13% citrat de sodiu. Rezistențele după 1, 2, 3, 6 și 24 ore au fost: 56; 108; 112; 156 și 235 daN/cm<sup>2</sup>.

In /145/ se patentează cimentul cu întărire rapidă compus din (%): 3-20 sulfataluminat de calciu sau  $\text{C}_{12}\text{A}_7$ ; 3-20  $\text{C}_3\text{S}$ ,  $\text{C}_2\text{S}$  sau ciment portland; 6-40 sulfat de calciu anhidru sau dihidrat; 20-30 zgură granulată; 0,1-1,5 acizi carboxilici (maleic, tartric) sau sărurile lor de sodiu. Cimentul compus din: 7%  $\text{C}_{4\text{A}_3\bar{S}}$ , 10% ciment portland alb, 15% anhidrit și 67% zgură granulată, măcinat la 4000 cm<sup>2</sup>/g, a dezvoltat rezistențe după 1, 7 și 28 zile de: 112, 350 și respectiv 428 daN/cm<sup>2</sup>.

Tamaka /146/ propune cimentul cu întărire ultrarapidă compus din: 100 părți masă ciment portland, 3-200 părți material calcinat (de compozиție: 6-10%  $\text{SiO}_2$ ; 30-40%  $\text{Al}_2\text{O}_3$ ; 1,5-2,5%  $\text{Fe}_2\text{O}_3$ ; 40-50%  $\text{CaO}$ ; 0,3%  $\text{MgO}$  și 5-12%  $\text{SO}_3$ ) și 2-70 părți sulfat de calciu. Cimentul rezultat se caracterizează prin adesiune foarte bună și rezistențe mecanice (inițiale și finale) mari.

### 3.2.4. Cimenturi cu continut de alunit

Alunitul are formula chimică:  $\text{K}_2\text{SO}_4 \cdot \text{Al}_2(\text{SO}_4)_3 \cdot 2\text{Al}_2\text{O}_3 \cdot 6\text{H}_2\text{O}$ . Pentru ca  $\text{Al}_2\text{O}_3$  și  $\text{SO}_4^{2-}$  din compoziție să să devină active, de obicei este necesar tratamentul termic al acestuia la temperaturi între 600-800 °C. Alunitul are interacționarea cu  $\text{Ca}(\text{OH})_2$

rezultat din hidratarea  $C_3S$  din ciment, formindu-se hidrosulfat-aluminatul de calciu /147/. În amestecurile cu alunit ars la  $700^{\circ}\text{C}$  – cel mai activ – se formează repede cantități mari de  $\text{Al}_2(\text{SO}_4)_3$ , care la început trece în hidrosulfataluminet de calciu, care în continuare se descompune cu formare de ghips.

Gabadadze și colaboratorii /148/ au elaborat cimenturi cu întărire rapidă și rezistențe ridicăte, pe bază de rocă alunitică și fosfoghips sau zgură + fosfoghips. Rezistențele cimentului alunit-fosfoghips, după 3 zile au fost  $180\text{--}210 \text{ daN/cm}^2$ , iar după 28 zile  $400\text{--}420 \text{ daN/cm}^2$ . Rezistențele cimentului alunit-fosfo-ghips-zgură, după 28 zile de întărire, au fost  $620 \text{ daN/cm}^2$  (la păstrare în apă) și  $510\text{--}560 \text{ daN/cm}^2$  (la păstrare în aer).

În /149/ se indică un ciment cu întărire rapidă cu compoziția: 15–20% alunit ars, 60–75% zgură granulată și 10–20% praf de ciment. Calcinarea alunitului s-a făcut la  $700^{\circ}\text{C}$ . Rezistențele cimentului obținut din 15% alunit, 75% zgură și 10% praf de ciment, după 3h, 6h, 1 zi, 3 zile, 7 zile și 28 zile au fost: 60, 205, 293, 322, 395 și respectiv  $607 \text{ daN/cm}^2$ . Rezultate asemănătoare sunt semnalate în /150/, în care se indică un ciment compus din 5 – 25% alunit ars la  $600\text{--}700^{\circ}\text{C}$  și 75 – 95% zgură aluminoasă.

În /151/ se arată posibilitatea obținerii unui ciment expansiv folosind un amestec de materii prime compus din 77 – 78% calcar și 22 – 28% alunit. Medlov – Petrovian /152/ elaborează un ciment cu întărire rapidă folosind un amestec de materii prime compus din: 17 – 19% componentă argiloasă, 3 – 7% rocă alunitică și restul componentă calcicoasă. Introducerea rocii alunitice în amestecul de materii prime determină scăderea temperaturii de ardere cu  $100\text{--}150^{\circ}\text{C}$ , creșterea rezistențelor inițiale ( $260\text{--}313 \text{ daN/cm}^2$  față de  $127 \text{ daN/cm}^2$  – după 1 zi de hidratare) și lipsa contractiei la întărire.

**Cap.4. DETERMINARI EXPERIMENTALE IN VEDEREA STABILIRII  
STRUCTURII SI A PROPIETATILOR HEPTAALUMINATULUI  
DE CALCIU SI A MODIFICATIILOR LUI HALOGENATE**

Intrucit informatiile din literatura de specialitate referitoare la proprietatile unor cimenturi cu continut de fluoroaluminat de calciu sunt foarte diferite, in functie de proportia de fluoroaluminat din ciment, de materiile prime folosite, conditiile de lucru, etc., intr-o primă etapă s-a urmat sinteza și caracterizarea structurală a acestuia precum și a cleroaluminatului de calciu și de asemenea stabilirea influenței pe care o manifestă condițiile de obținere asupra proprietăților hidraulice ale  $C_{12}A_7 \cdot CaX_2$  ( $X=F, Cl$ ) - astfel de date lipsind din literatură.

**4.1. Sintesa și caracterizarea structurală a fluoroaluminatului de calciu**

In vederea obținerii  $C_{12}A_7$  și a modificării lui fluorurate s-au folosit ca materii prime: carbonatul de calciu precipitat, aluminiu calcinat (Aoc) și fluorinat natural (China) /153/. Omogenizarea materiilor prime s-a făcut pe cale umedă, în moara cu bile, urmată de uscare și brichetare sub formă de cilindri cu  $\varnothing=30$  mm și  $h=30 - 40$  mm, sub o presiune de  $100$  daN/cm<sup>2</sup>. Ca liant pentru presare s-a folosit o soluție de dextrină 10%, care s-a adăugat în proporție de 3%. Compoziția amestecurilor este prezentată în tabelul 8.

**Tabelul 8**

Nr. amestec	Raport molar		
	CaO	Al <sub>2</sub> O <sub>3</sub>	CaF <sub>2</sub>
1	12	7	-
2	11.75	7	0.25
3	11.50	7	0.50
4	11.25	7	0.75
5	11.00	7	1.00
6	10.75	7	1.25
7	10.50	7	1.50

După brișetare amestecurile au fost împărțite în trei serii de probe în vederea arderei la temperaturi diferite. Serile I și II s-au ars la temperaturi de  $1200^{\circ}\text{C}$  și respectiv  $1350^{\circ}\text{C}$ , în cuptor cu bare de siliciu, cu palier de 30 minute la temperatura de ardere, urmat de răcire în cuptor (după curba de răcire liberă a cuptorului).

A III-a serie de probe a fost calcinată mai întâi la  $1000^{\circ}\text{C}$ , iar apoi a fost supusă topirii în jet de plasma de argon și răciri în mediu de argon /153/.

După răcire toate cele trei serii de probe au fost măcinăte și apoi supuse analizei fazale RX, determinării parametrului reticular și a indicelui de refracție.

Analiza fazală RX, efectuată cu un difractometru RX tip TUR M-61, utilizând radiatărea  $\text{Cu}_{\text{K}\alpha}$ , a pus în evidență în toate probele, indiferent de temperatura de ardere, o singură fază și căruia spectru de difracție este practic identic cu al  $\text{Ca}_2\text{Al}_7$  dat în /82/ și /91/. Pentru exemplificare, în figura 10 sunt date spectrele de difracție RX a probelor 1 și 5 din toate cele trei serii de probe ( $1200^{\circ}\text{C}$ ,  $1350^{\circ}\text{C}$  și topite în plasma).

Analiza fazală RX a primei serii de probe (arse la  $1200^{\circ}\text{C}$ ) dovedește că reacția dintre  $\text{CaO}$  și  $\text{Al}_2\text{O}_3$  este practic completă la această temperatură, în toate cele șapte probe, inclusiv în lipsa  $\text{CaF}_2$  (proba 1).

Deglă spectrele de difracție RX a probelor 1-7 (în figura 10 ale probelor 1 și 5) sunt practic identice, ele pun totuși în evidență o ușoară schimbare a parametrului reticular de la proba 1 la proba 5, marcată pe spectrele RX printr-o deplasare a maximelor de difracție spre unghiuri mai mari.

Spectrele de difracție RX ale probelor din seria II ( $1350^{\circ}\text{C}$ ) și seria III (topite în plasma) sunt identice cu cele ale probelor similare din prima serie. Nu s-a observat o tendință de descompunere a fluoroaluminatului în cazul probelor arse la  $1350^{\circ}\text{C}$  și chiar topite, rezultate care sunt în corespondanță cu cele semnalate în /95/.

În continuare s-a trecut la determinarea parametrilor reticulari ai probelor de compoziție diferită. În acest scop s-a folosit probele arse la  $1200^{\circ}\text{C}$ . În cazul probei 5 rezultatele obținute la citirile de precizie ale pozițiilor maximelor de difracție în vederea calculării parametrului reticular sunt prezentate în tabelul 9.

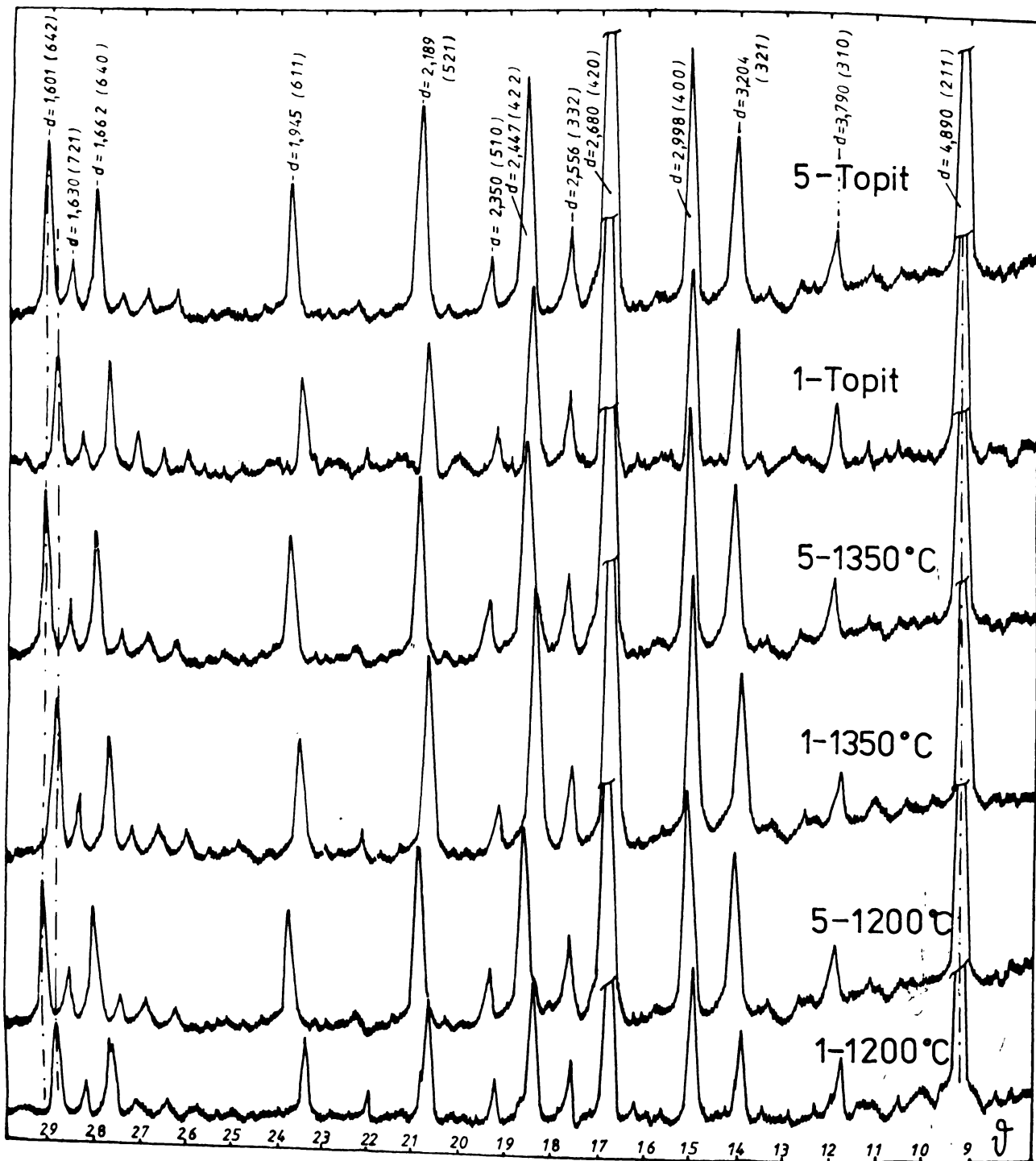


FIG.10. Spectre de difractie RX ale probelor  
1 si 5 arse la 1200°C, 1350°C si respec-  
tiv topite in jet de plasma.

Tabelul 9

$\vartheta$ (grade)	d (Å)	hkl	a (Å)	a <sub>mediu</sub> (Å)
11,94	4,8717	221	11,9331	
16,79	2,6673	420	11,9285	
18,41	2,4397	422	11,9500	
20,67	2,1808	521	11,9447	
23,42	1,9385	611	11,9497	
27,69	1,6581	640	11,9567	
28,84	1,5973	642	11,9530	11,9451

Calculul echidistanțelor planelor reticulare (d) s-a făcut pe baza relației lui Bragg:

$$\lambda = 2 d \sin \frac{\vartheta}{2}$$

în care:  $Cu_{K\alpha} = 1,5418 \text{ \AA}$ , iar  $\frac{\vartheta}{2}$  s-a determinat experimental.

Calculul parametrului reticular (a) s-a făcut pe baza relației matematice care leagă echidistanțele (d) ale planelor reticulare de indicii Miller și parametrul reticular, pentru sistemul cubic, din care face parte  $Cu_7 \cdot CaX_2$ :

$$\frac{1}{d^2} = \frac{1}{a^2} (h^2 + k^2 + l^2)$$

Resultatele obținute în cazul probei 5 sunt prezentate în tabelul 9. Pentru celelalte probe sunt date doar valorile medii obținute, tabelul 10, alături de valorile indicilor de refracție, determinați experimental.

Tabelul 10

Probe	Parametru reticular, a (Å)	Indice de refracție
1	11,9862	1,614
2	11,9756	1,618
3	11,9664	1,621
4	11,9523	1,625
5	11,9451	1,628
6	11,9460	1,627
7	11,9458	1,628

Valoarea indicelui de refracție a fost determinată cu ajutorul unei instalații originale /154/, bazată pe metoda microscopică /155/. Schema de principiu a instalației utilizate este prezentată în figura 11.

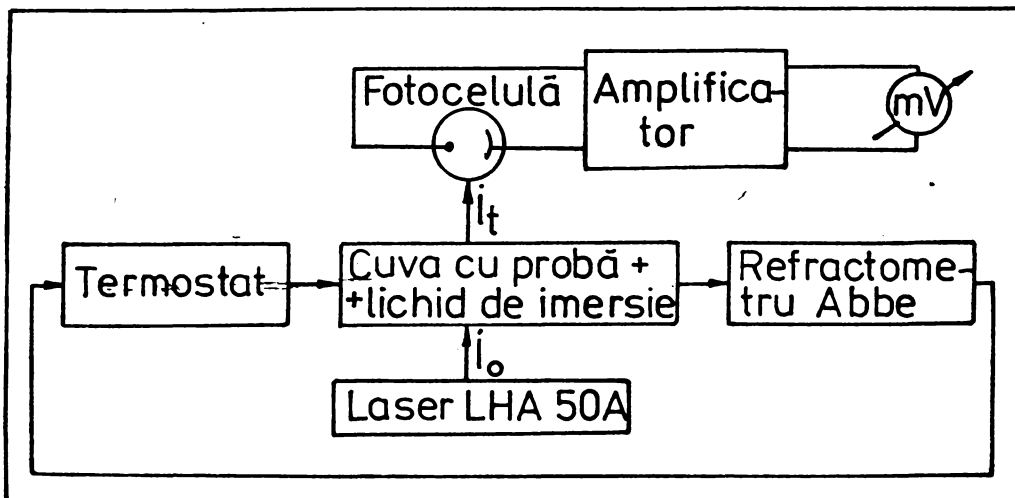


Fig.11. Schema de principiu a instalației pentru determinarea indicelui de refracție a unor probe pulvărante, izotrope prin metoda microscopică.

Instalația utilizată în laborator pentru determinarea experimentală a indicilor de refracție este prezentată în figura 12.

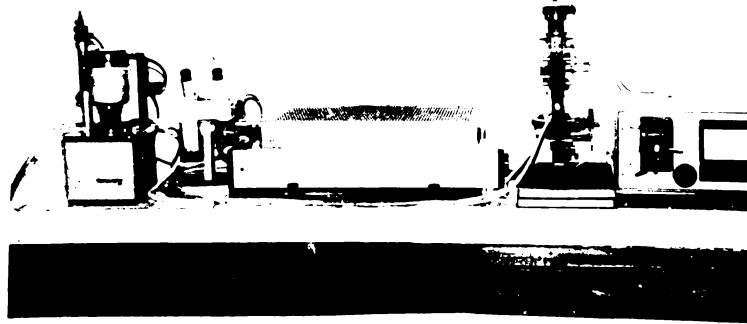


Fig.12. Instalație pentru determinarea indicelui de refracție a unor probe pulvărante, izotrope, prin metoda microscopică.

Metoda utilizată se bazează pe faptul că intensitatea luminii transmise printr-un sistem ceterogen format din pulberea studiată, imersată într-un lichid este cu atât mai mare cu cât diferența între indicei de refracție a celor două medi este mai mică. Ca lichid de imersie s-a folosit monoclornaftalina, pentru probele 3 - 7 și sulfura de carbon pentru probele 1 și 2, lichide cu indice de refracție, la rece, puțin mai mare decât al pulberii imersate. Prin încălzirea ansamblului format din lichid și pulbere imersată, indicele de refracție al lichidului scade, devenind la un moment dat, egal cu al pulberii imersate, ceea ce corespunde cu intensitatea luminii transmise ( $I_t$ ) maximă. În acest moment refractometrul Abbe legat în serie să fițește între o căruți prisme se află același lichid de imersie, permite citirea indicelui de refracție al lichidului deci și al pulberii imersate.

Ca surse de lumină de intensitate mare și constantă s-a folosit un laser HNA-50 (Carl Zeiss Jena), iar fotocelula, sistemul de amplificare și milivoltmetrul s-au folosit de la un spectrofotometru SPKOL 10 (Carl Zeiss Jena-RDG). Fotocelula a fost fixată, prin intermediul unei piese de legătură, în locul ocularului microscopului, astfel încât la ea să ajungă lumina transmisă prin ansamblul format din probă și lichidul de imersie, aflat pe platina microscopului în cuve cu pereti dubli – permitând încălzirea, și fundul transparent.

Din curbele de variație a intensității luminii transmise prin probă, în funcție de indicele de refracție al lichidului de imersie (care scade în timpul încălzirii), prezентate în figura 13, se poate determina indicele de refracție al pulberii imersate – corespunzând valorii maxime a  $I_t$ . Valorile obținute sunt prezentate în tabelul 10.

Rezultatul analizei fazale a probelor 1-7, de compozitie variabilă constă în înlocuirea parțială a  $\text{CaO}$  cu  $\text{CaF}_2$ , fără de stoichiometria corespunzătoare heptaaluminatului de calciu ( $\text{C}_{12}\text{A}_7$ ), precum și variația parametrului reticular și a indicelui de refracție duc la concluzia că  $\text{C}_{11}\text{A}_7\cdot\text{CaF}_2$  și  $\text{C}_{12}\text{A}_7$  formează o serie izomorfă continuă, ceea ce se poate reda și prin următoarea formulă:  $\text{C}_{12-y}\text{A}_7\cdot y\text{CaF}_2$ , în care  $y \leq 1$ . Această afirmație este susținută și de faptul că în probele 6 și 7 analiza microscopică pe pulberi a pus în evidență mici cantități de  $\text{Al}_2\text{O}_3$  liber. Nu s-a

observat  $\text{CaF}_2$  liber, dar aceasta se poate explica prin volatilizarea acesteia.

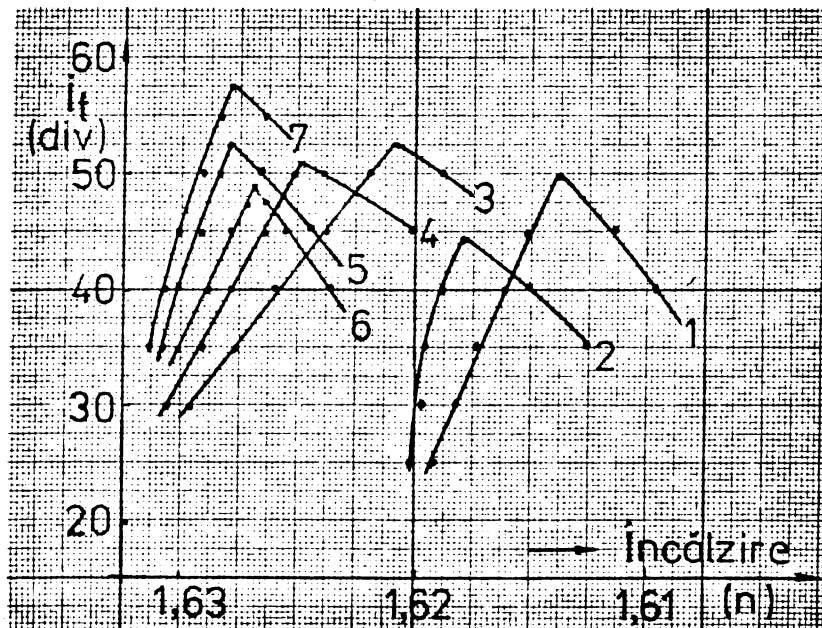
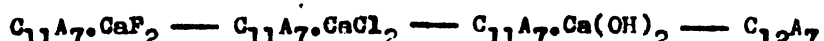


Fig.13. Curbele de variație a intensității luminii transmise prin probă în funcție de indicele de refacție al lichidului de imersie.

#### 4.2. Studiul comparativ al proprietăților hidraulice ale $\text{C}_{12}\text{A}_7$ și $\text{C}_{11}\text{A}_7\cdot\text{CaX}_2$

Stabilirea structurii heptaaluminetului de calciu,  $\text{C}_{12}\text{A}_7$  (maiennit), respectiv a modificărilor lui,  $\text{C}_{11}\text{A}_7\cdot\text{CaX}_2$  ( $X=\text{OH}, \text{F}, \text{Cl}$ ), a constituit obiectul a numeroase lucrări /86-90/, /153/, constatăndu-se că toți acești compuși au aceeași structură și practic același spectru de difracție RX, cu o ușoară variație a parametrului reticular, indicelui de refacție, densității și duratății. Stabilirea față de apă a acestor compuși se dă în ordinea /88/:

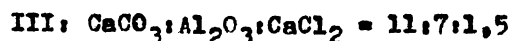
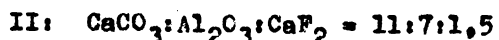


In literatură lipsesc încă date referitoare la proprietățile hidraulice comparative ale  $\text{C}_{12}\text{A}_7$ ,  $\text{C}_{11}\text{A}_7\cdot\text{CaCl}_2$  și  $\text{C}_{11}\text{A}_7\cdot\text{CaF}_2$ .

acordindu-se atenție aproape în exclusivitate doar pentru  
 $C_{11}A_7 \cdot CaF_2$ .

Pentru studiul comparativ al proprietăților hidraulice a celor trei compuși, aceștia s-au preparat pornind de la  $CaCO_3$ , de precipitare, aluminiu calcinat și fluoruri, respectiv cloruri de calciu. Modul de lucru aplicat a fost cel din capitolul 4.1.

S-au preparat trei amestecuri cu următorul raport molar /156/:



Halogenuurile de calciu s-au introdus în exces (1,5 moli în loc de 1 mol) pentru a compensa pierderea de halogeni prin volatilizare și a evita formarea unor halogenoaluminați mai săraci în halogeni decât compoziția corespunzătoare stoichiometriciei



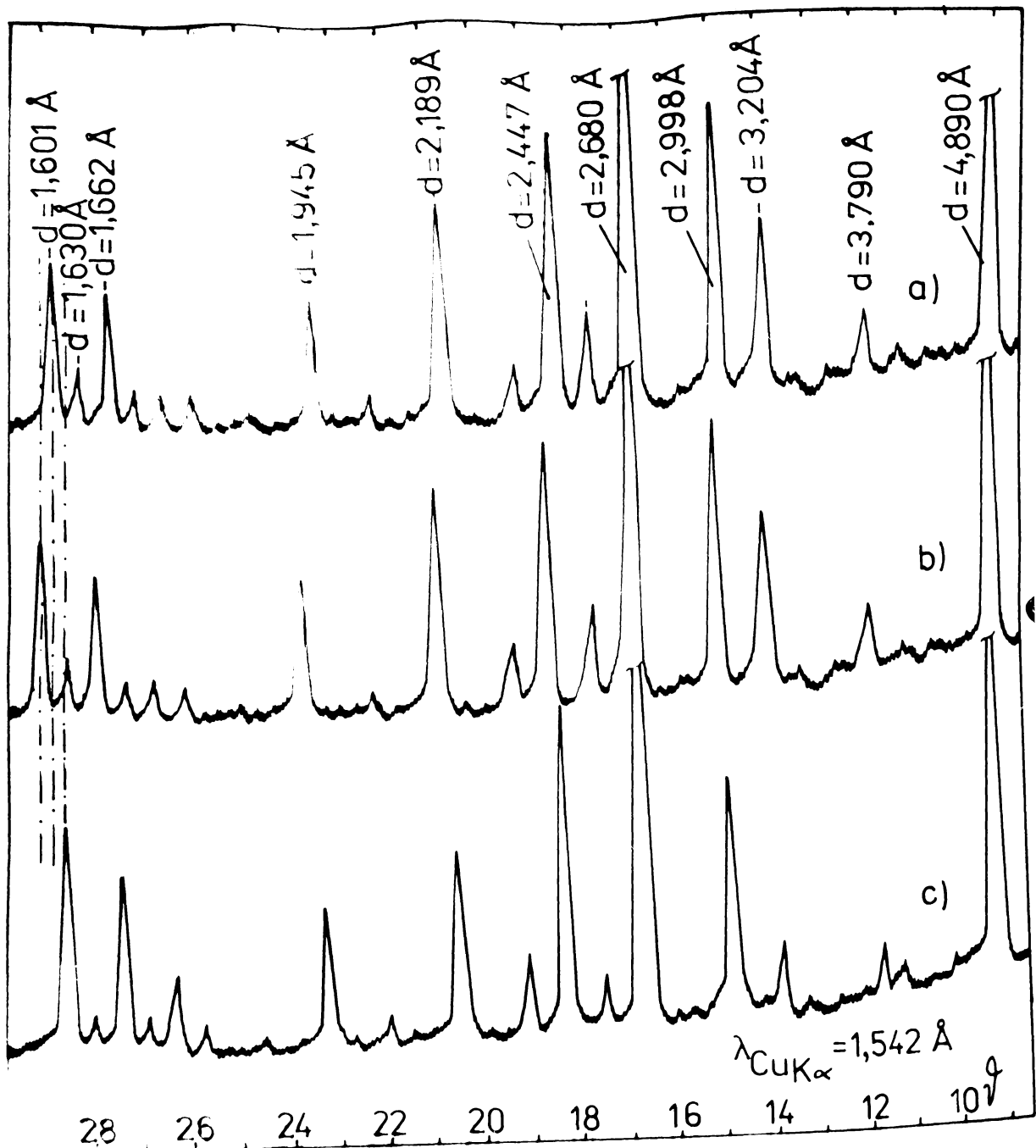
Arderea celor trei amestecuri s-a realizat în cuptor electric cu bare din SiC, la temperatura de 1250 °C, cu palier de 30 minute, urmată de răcire în cuptor. După răcire probele au fost măcinate și apoi supuse analizei fazale RX și studiului proprietăților hidraulice.

Spectrele de difracție RX ale celor trei probe sunt identice, dar pun în evidență o creștere a parametrului reticular de la  $C_{11}A_7 \cdot CaF_2$ , la  $C_{12}A_7$  și  $C_{11}A_7 \cdot CaCl_2$  (tabelul 11), marcată pe spectre prin deplasarea maximelor de difracție spre unghiuri mai mici, figura 14.

Cele trei probe au fost supuse apoi determinării proprietăților hidraulice, rezultatele obținute fiind prezentate în tabelul 11. Cunoșcind interacțiunea rapidă a halogenoaluminaților de calciu cu apa, s-a urmărit realizarea unei suprafețe specifice sub  $3000 \text{ cm}^2/\text{g}$ . În cazul  $C_{12}A_7$ , după 10 minute de măcinare în moara vibratoare s-a atins suprafața specifică de  $2970 \text{ cm}^2/\text{g}$ , în timp ce în cazul  $C_{11}A_7 \cdot CaCl_2$  o suprafață specifică apropriată s-a atins după 30 minute de măcinare (în aceleși condiții), iar în cazul  $C_{11}A_7 \cdot CaF_2$  abia după 40 minute. Aceste rezultate privind măcinarea reflectă diferențele de aptitudine la măcinare ale probelor, în corpondanță cu datele din literatură /88/.

Tabelul 11

Compozit	Parametru reticular (A)	Raport $\frac{A}{t}$	Timp de prăjire		Suprafata specifică (cm²/g)	Resistențe mecanice la compresiune (daN/cm²)			
			Inceput (min)	sfârșit (min)		1 zi	3 zile	7 zile	28 zile
C <sub>12A7</sub>	11,9862	0,55	5	10	2970	67	60	72	73
C <sub>11A7-CaCl<sub>2</sub></sub>	11,9451	0,35	25	45	2800	136	173	214	246
C <sub>11A7-CaCl<sub>2</sub></sub>	12,0643	0,35	11	18	2946	225	245	357	426



rezultatele obținute sunt:  
 a)  $\text{Ca}_{11}\text{Al}_7$ , b)  $\text{Ca}_{11}\text{Al}_7\text{-CaCl}_2$ , c)  $\text{Ca}_{11}\text{Al}_7$ .  
 obținute prin ardere la  $1250^\circ\text{C}$ , 30 minute.

Timpul de priză determinat pune în evidență pe lîngă interacțiunea rapidă cu apa și reactivitatea diferențială a celor trei compuși, în strînsă corelație cu ordinea de stabilitate indicată în literatură /88/.

Se observă că  $C_{12}A_7$  interacționează cel mai rapid cu apa, iar  $C_{11}A_7 \cdot CaF_2$ , cel mai puțin rapid.

Rezistențele mecanice la compresiune, determinate pe micropruvete confeționate din pastă și păstrate în mediu umed, pun în evidență întărirea rapidă a tuturor celor trei compuși. Se constată că  $C_{12}A_7$  dezvoltă rezistențe mecanice modeste, care între 1 și 3 zile de întărire suferă și o ușoară scădere. Rezistențele mecanice dezvoltate de  $C_{11}A_7 \cdot CaF_2$  sunt net superioare celor dezvoltate de  $C_{12}A_7$ , lucru pe care îl considerăm normal și în concordanță cu datele din literatură. Această comportare se poate explica printr-o hidratare a  $C_{11}A_7 \cdot CaF_2$  mai puțin rapidă care permite o dezvoltare mai pronunțată a cristalelor de hidroaluminat de calciu și împisarea fazei gelice cu aceștia. De asemenea este posibil un efect favorabil al ionilor de fluor asupra cristalașrii hidroaluminatilor de calciu în forma cubică,  $C_3AH_6$ , încă înainte de consolidarea structurii de rezistență /96/.

De semnalat sunt rezistențele mecanice dezvoltate de  $C_{11}A_7 \cdot CaCl_2$ , net superioare chiar celor dezvoltate de  $C_{11}A_7 \cdot CaF_2$ . Deocamdată singura explicație pe care o putem da acestei comportări ar fi un raport optim între faza gelică și cea cristalină, precum și dimensiuni ale cristalelor și textura acestora optimă, rezultate similare neexistând în literatură.

În continuare pentru urmărirea procesului de interacțiune cu apa a celor trei compuși s-a determinat cantitatea de apă legată după diferite termene de hidratare. În acest scop s-a luate cu un raport A:C = 2:1. Resultatele obținute sunt prezentate în tabelul 12.

Tabelul 12

Compușul	Cantitatea de apă legată (%) după:					
	30 min	1 oră	3 ore	24 ore	3 zile	7 zile
$C_{12}A_7$	15,53	17,68	21,39	23,98	30,86	33,54
$C_{11}A_7 \cdot CaF_2$	2,75	2,84	5,48	19,77	39,59	40,02
$C_{11}A_7 \cdot CaCl_2$	5,06	6,03	13,38	43,75	47,53	49,60

Procesul de interacțiune cu apă a fost urmărit de asemenea prin variația în timp a pH-ului unor suspensii cu raport A:C = 100:1, figura 15.

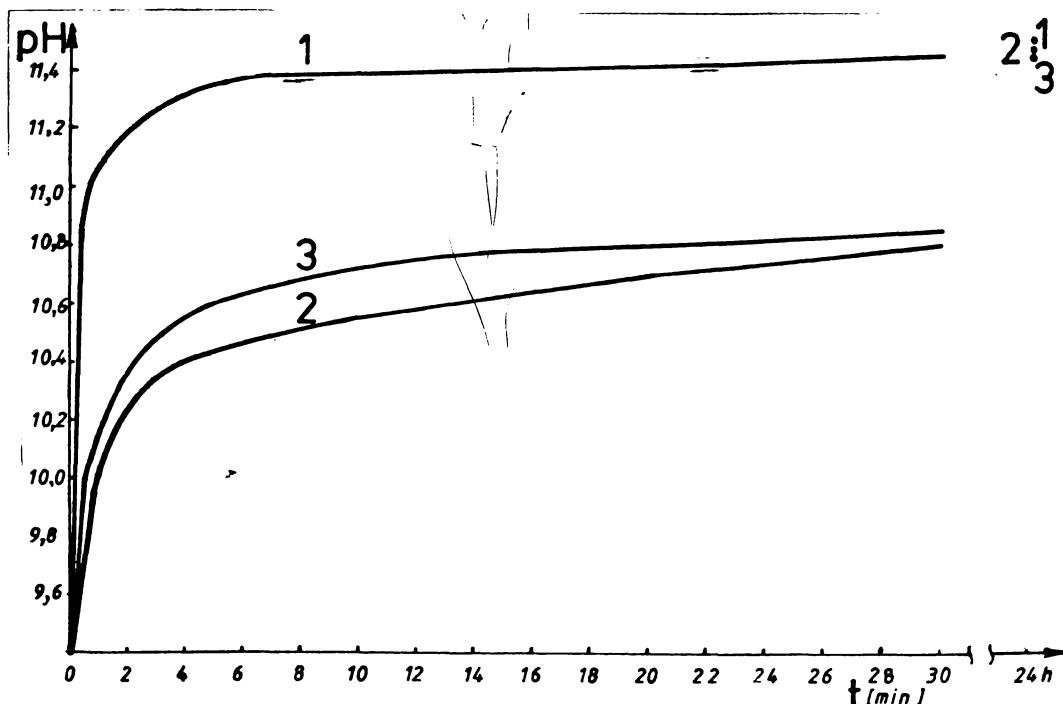


Fig.15.Curbele de variație a pH-ului în timp, ale unor suspensii cu raport A:C = 100:1.

1- $C_{12}A_7$ ; 2- $C_{11}A_7 \cdot CaF_2$ ; 3- $C_{11}A_7 \cdot CaCl_2$ .

Cantitatea de apă legată în primele 3 ore și curbele de variație a pH-ului în timp, arată că  $C_{12}A_7$  interacționează cel mai rapid cu apă,  $C_{11}A_7 \cdot CaF_2$  cel mai puțin rapid, iar  $C_{11}A_7 \cdot CaCl_2$  are o comportare intermediară. Aceste rezultate sunt în deplină concordanță cu ordinea de stabilitate a celor trei compuși, prezentată în literatură /88/:



Cantitatea de apă legată după 3 zile și 7 zile arată însă o cu totul altă ordine a gradului de hidratare:



Această ordine este în perfectă concordanță cu rezistențele mecanice dezvoltate de cei trei compuși.

Prezența în cazul  $C_{12}A_7$ , pe de o parte a unei vitese de interacțiune cu apa maximă, iar pe de altă parte a unui grad de hidratare după 3 zile și 7 zile - minim, se poate explica numai prin formarea rapidă a unei cantități mari de fază gelică (aceea ce s-a și observat la hidratare - filtrarea suspensiilor rezultate din  $C_{12}A_7$ , după 30 minute fiind foarte dificilă comparativ cu suspensiile obținute din  $C_{11}A_7 \cdot CaF_2$  și  $C_{11}A_7 \cdot CaCl_2$ ) care "colmatează" suprafața granulelor și îngreunează hidratarea acestora în continuare.

$C_{11}A_7 \cdot CaCl_2$  se caracterizează printr-o viteză de hidratare accelerată față de  $C_{11}A_7 \cdot CaF_2$ , atingând după 24 ore și termene mai lungi cel mai ridicat grad de hidratare. Se pare că în cazul acestui compus vitesa de cristalizare a produselor de hidratare, dimensiunile cristalelor și raportul între faza gelică și cea cristalină sunt optime, ceea ce ar explica cele mai bune rezistențe ale rezistențelor mecanice.

Faptul că  $C_{11}A_7 \cdot CaCl_2$  dezvoltă rezistențe mecanice mai bune decât  $C_{11}A_7 \cdot CaF_2$  prezintă o importanță deosebită, deoarece  $CaCl_2$  este mai ieftin decât  $CaF_2$  și se poate introduce cu mai multă ușurință în amestecul de materii prime (sub formă de soluție). Ca urmare în continuare se va acorda un interes sporit cloroaluminatului de calciu.

#### 4.3. Influența condițiilor de obținere asupra proprietăților hidraulice ale $C_{11}A_7 \cdot CaX_2$

Dăsi în literatura de specialitate există multe referiri la posibilitatea obținerii unor cimenturi cu întărire rapidă și rezistențe inițiale ridicate, cu conținut de  $C_{11}A_7 \cdot CaF_2$ , lipsesc totuși datele sistematice privind influența condițiilor de obținere asupra proprietăților hidraulice a acestuia. Ca urmare în continuare ne-am propus să studiem influența temperaturii de ardere asupra proprietăților  $C_{11}A_7 \cdot CaX_2$  ( $X = F, Cl$ ) și de asemenea influența introducerii concomitente a ambilor halogeni în structura compusului.

Pornind de la  $\text{CaCO}_3$ , de precipitare, alumina calcinată ( $\text{Al}_2\text{O}_3$ ), fluorură și clorură de calciu s-au preparat patru serii de amestecuri, cu următorul raport molar /157/:



Halogenurile de calciu s-au introdus în exces (1,5 moli în loc de 1 mol) din același motiv ca în cap.4.2. În cazul admisiunii ambilor halogeni, excesul s-a aplicat asupra  $\text{CaCl}_2$ , ținându-se cont de faptul că  $\text{Ca}_{11}\text{Al}_7\text{CaF}_2$  este mai stabil decât  $\text{Ca}_{11}\text{Al}_7\text{CaCl}_2$  /88/ și dacă s-ar fi aplicat excesul și asupra  $\text{CaF}_2$ , există posibilitatea formării fluoroaluminatului în proporție mai mare decât cea dorită.

Amestecurile au fost omogenizate umed, uscate, brișcate și apoi supuse arderii. Arderea s-a făcut la temperatură de 1000, 1050, 1150 și 1200 °C, cu palier de 30 minute, în cuptor cu bare de silică, urmată de răcire în cuptor. După ardere probele au fost măcinate, supuse analizei fazale RX și determinările proprietăților hidraulice. Rezistențele mecanice ale probelor s-au determinat pe microspruvete, confectionate din pastă și păstrate în mediu umed.

Spectrele de difracție RX ale probelor arse la 1050 °C pun în evidență o creștere a parametrului reticular și dată cu creșterea cantității de  $\text{CaCl}_2$  din probe, marcată pe spectru prin deplasarea maximelor de difracție spre unghiuri mai mici, fig.16.

Tinând cont de interacțiunea rapidă cu apa a halogenocaluminatilor de calciu, s-a urmat realizarea unor suprafete specifice a probelor între 3000 - 3300  $\text{cm}^{-2}/\text{g}$ . Rezultatele determinărilor proprietăților hidraulice ale probelor sunt prezentate în tab.13.

Se observă că în cazul fluoroaluminatului viteza de interacțiune cu apa scade și datează cu creșterea temperaturii de sinteză pe întreg intervalul de temperatură studiat. Astfel proba I arși la 1050 °C și 1150 °C prezintă întărire practic instantanee, nepermitând determinarea timpului de priză și nici turnarea probelor pentru determinarea rezistențelor mecanice. Din acest motiv a fost necesară utilizarea întărișoarelor. Timpul de priză al

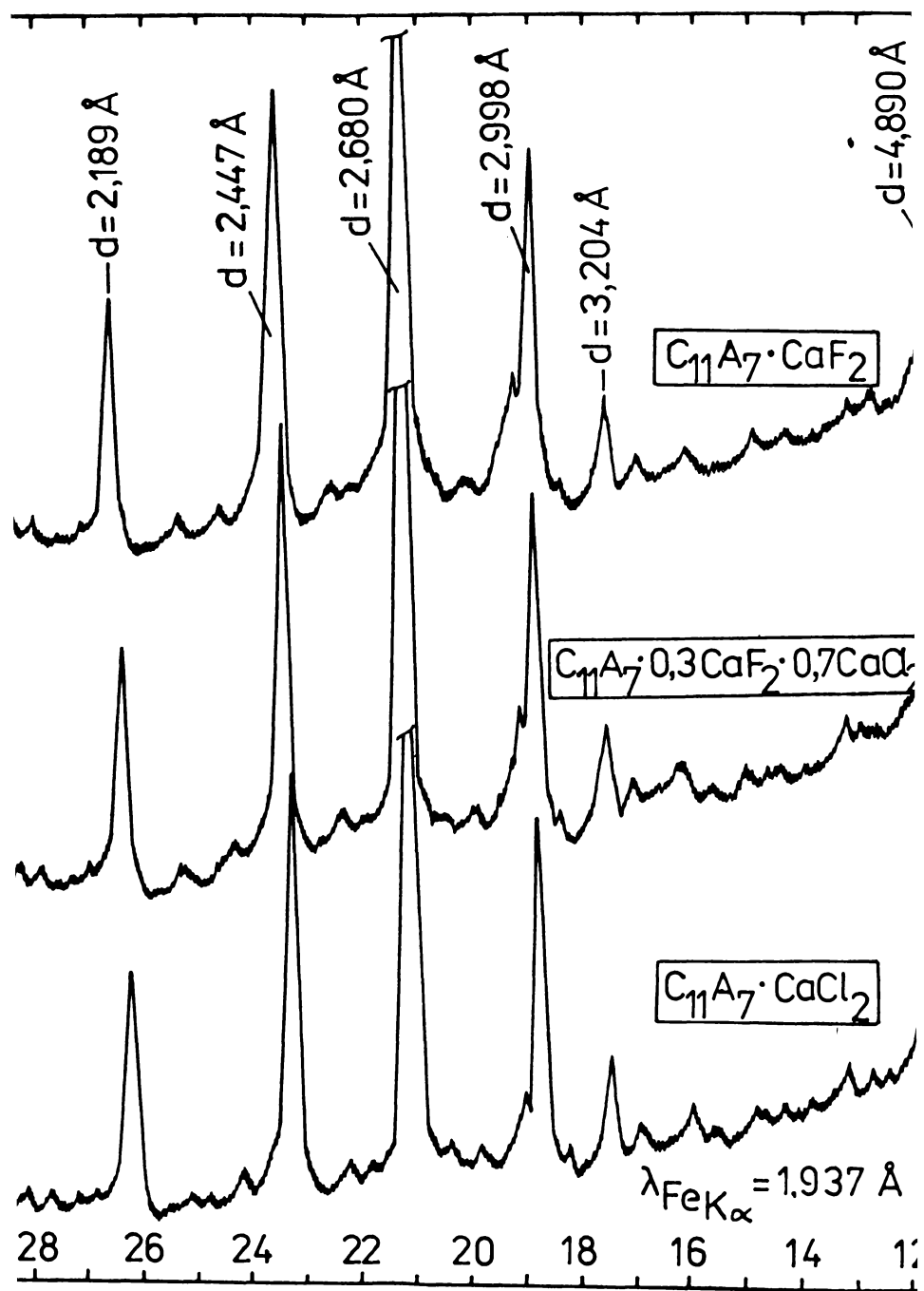


Fig.16. Spectrele de difracție RX ale probelor  
I, III și IV arse la  $1050^{\circ}\text{C}$ .

Table 13

Temperatura de ardere ( $^{\circ}\text{C}$ )	Nr. probă	Adăos întârziator sp. oțica ( $\text{cm}^2/\text{P}$ )	Suprafața probă ( $\text{cm}^2$ )	Report	Temperatură de priză (minute)		Rezistență mecanică la compreșiune (daN/cm <sup>2</sup> )
					Inceput	sfârșit	
1000	III	-	2064	0,20	6	12	528
	IV	0,2% acid fumaric	3126	0,40	1	2	245
	IV	0,2% acid boric	3127	0,40	1	1,5	320
	I	0,5% acid boric	3100	0,50	1	1,5	227
1050	II	0,2% acid fumaric	3140	0,45	1	2	77
	III	-	3090	0,35	1,3	28	328
	IV	0,2% acid boric	3076	0,40	1,5	3	113
	IV	0,2% acid fumaric	3076	0,40	2	3	133

Tab.13 (continuare)

	0.	1.	2.	3.	4.	5.	6.	7.	8.	9.	10.
1150											
I	0,5% acid boric	3150	0,37	15	30	331	460	636	687		
II	0,5% acid fumaric	3150	0,37	2	3	256	293	346	398		
III	0,5% acid boric	3300	0,33	8	9	299	318	520	724		
IV	0,5% acid fumaric	3300	0,34	9	11	286	374	423	556		
1200											
I	0,2% acid fumaric	3100	0,32	5	18	178	271	314	384		
II	0,2% acid boric	3300	0,45	1,5	5,5	391	399	500	523		
III	0,5% acid boric	3100	0,32	75	90	477	549	623	695		
IV	0,5% acid fumaric	3100	0,31	55	65	342	361	678	600		
III	0,5% acid boric	3100	0,32	45	60	300	388	447	437		
IV	0,2% acid fumaric	3139	0,33	12	14	24	495	517	497	632	

Calorific resistance of mechanical preventate in tabel represents media a trei

$C_{11}A_7 \cdot CaF_2$  (probă I) ars la temperaturile de 1050 °C și 1150 °C, cu adăos de 0,5% acid boric - la turmare, arată o scădere evidentă a vitezei de interacțiune cu apa o dată cu creșterea temperaturii. Fluoroaluminatul obținut la temperatura de 1200 °C prezintă viteză de interacțiune cu apa mult mai mică, permitând turarea probelor și fără adăos de întinzător, iar folosind un adăos de 0,5% acid boric timpul de priză se poate regla în limite convenabile.

Această comportare a fluoroaluminatului o considerăm normală și ea se explică printr-o dimensiune a cristalelor cu atât mai avansată cu cât temperatura de sinteză este mai ridicată și în mod implicit scădereea vitezei de interacțiune cu apa o dată cu ridicarea temperaturii de sinteză.

In cazul cloroaluminatului (probă III), în intervalul de temperatură 1000 - 1150 °C observațiile sunt similare cu cele făcute în cazul fluoroaluminatului și explicația este aceeași. De menționat însă că pentru aceeași temperatură de ardere  $C_{11}A_7 \cdot CaCl_2$  prezintă o viteză de interacțiune cu apa mai lentă decât  $C_{11}A_7 \cdot CaF_2$ . Această constatare este în contradicție cu unele date anterioare /156/ și cu date din literatură. Ea se poate explica doar printr-o dimensiune redusă a cristalelor, cu un grad de dezordine avansat în cazul  $C_{11}A_7 \cdot CaF_2$ , obținut la aceste temperaturi relativ joase, în timp ce  $C_{11}A_7 \cdot CaCl_2$  obținut la aceeași temperatură prezintă cristale mai bine dezvoltate și cu o rețea cristalină mai ordonată decărțe formarea lui începe la temperaturi mai joase,  $CaCl_2$  fiind mai activ în acest domeniu de temperatură datorită volatilității mult mai ridicate față de  $CaF_2$ . Aceste presupuneri sunt susținute și de observația făcută la amestecarea probelor cu apa:  $C_{11}A_7 \cdot CaF_2$  obținut la 1050 °C (probă I) la amestecare cu apa a determinat încălzirea rapidă a capsulei, fără să dezvolte însă rezistențe mecanice. (Menționăm că analiza fazală RX și verificarea cu reactivul White a dovedit lipsa oxidului de calciu liber). Din acest motiv probele pe bază de fluoroaluminat (probele I și II) nu s-au mai ars la 1000 °C.

In cazul  $C_{11}A_7 \cdot CaCl_2$  se constată însă o ușoară creștere a vitezei de interacțiune cu apa în intervalul 1150 - 1200 °C. Această comportare se poate explica printr-o pierdere de clor prin volatilizare, cu formarea unei mici cantități de  $C_{12}A_7$ , a

căruia viteză rapidă de interacțiune cu apa este cunoscută. Menționăm că această evoluție se îndreaptă spre concordanță cu datele din literatură /88/ în care se arată că  $C_{11}A_7 \cdot CaF_2$  este mai stabil decât  $C_{11}A_7 \cdot CaCl_2$  și de asemenea spre concordanță cu unele rezultate proprii anterioare /156/ în care, prin ardere la  $1250^{\circ}C$  s-a obținut  $C_{11}A_7 \cdot CaCl_2$  cu început de priză 11 minute și sfîrșit 18 minute, în timp ce  $C_{11}A_7 \cdot CaF_2$  obținut în aceleși condiții a prezentat început de priză 25 minute și sfîrșit 45 minute.

Se poate spune că în cazul  $C_{11}A_7 \cdot CaCl_2$  temperatura optimă de ardere este între  $1050 - 1150^{\circ}C$ , cind dezvoltă rezistențe mecanice ridicate, între 338 și 482 daN/cm<sup>2</sup> după o zi de întărire și peste 600 daN/cm<sup>2</sup> după 28 zile.

In cazul  $C_{11}A_7 \cdot CaF_2$ , temperatura optimă de ardere este între  $1150$  și  $1200^{\circ}C$ , cu mențiunea însă că și la această temperatură, interacțiunea cu apa este foarte rapidă, necesitând utilizarea unor întirzători. Folosind 0,5% acid beric timpul de priză se poate regla în limite convenabile.

Asocierea  $CaF_2$  cu  $CaCl_2$  are efect favorabil în special pînă la temperatura de  $1150^{\circ}C$ , cind rezultatele obținute pe proba II (cu ambele halogenuri) sunt net mai bune decât pentru proba I.

Pornind de la  $C_{11}A_7 \cdot CaCl_2$ , prin înlocuirea parțială a  $CaCl_2$  (proba IV) se obțin rezultate mai slabe, cu atît mai slabe căcăciuntemperatura de ardere este mai joasă. Pentru temperatură de ardere de  $1200^{\circ}C$  se poate spune că probele III și IV sunt practic identice.

Rezultatele obținute arată că:

- Viteza de interacțiune cu apa a halogenocaluminatilor de calciu, este influențată în mare mîsură de compoziție și mai ales de temperatură de ardere.

- $C_{11}A_7 \cdot CaCl_2$  dă rezultatele cele mai bune la temperaturi cuprinse între  $1050-1150^{\circ}C$ , iar  $C_{11}A_7 \cdot CaF_2$  la temperaturi cuprinse între  $1150-1200^{\circ}C$ .

- Cloroaluminatul de calciu prezintă comportare mai bună decât fluoroaluminatul de calciu, atît în ceea ce privește valoarea rezistențelor mecanice căcăciuntemposibilitatea de reglare a timpului de priză în limite mai largi.

#### 4.4. Stabilirea influenței unor adaosuri întărietoare asupra proprietăților hidraulice ale $C_{11}A_7 \cdot CaX_2$

Principalul dezavantaj al halogenocaluminatelor de calciu respectiv al cimenturilor cu conținut de halogenocaluminat îl constituie întărirea prea rapidă și dificultatea reglării vitezei procesului de interacțiune cu apa. De asemenea rezistențele mecanice ale cimenturilor cu conținut de halogenocaluminat sunt influențate în limite largi de adaosurile întărietoare utilizate.

Pornind de la datele din literatură /122-125/ s-a urmărit influența diferitelor adaosuri întărietoare a timpului de priză, în funcție de compoziția și temperatura de sinteză. În acest scop s-au preparat halogenocaluminatii cu următoarele stoichiometrii /158/:

1.  $C_{11}A_7 \cdot CaF_2$
2.  $C_{11}A_7 \cdot 0,7CaF_2 \cdot 0,3CaCl_2$
3.  $C_{11}A_7 \cdot CaCl_2$
4.  $C_{11}A_7 \cdot 0,7CaCl_2 \cdot 0,3CaF_2$

Temperatura de sinteză a acestor halogenocaluminatî a fost de  $1150^{\circ}C$  și  $1200^{\circ}C$ , cu palier de 30 minute. Materialele prime utilizate și modul de lucru au fost aceleasi ca în cap.

#### 4.3.

Prebele care au prezentat început de priză mai lung de 1-2 minute s-au turnat și fără întăriitor pentru a putea observa influența adaosurilor întărietoare și asupra rezistențelor mecanice.

Întăriștorii utilizati au fost acidul boric, acidul fumaric și acidul adipic, în cantități între 0,2-2%. Rezultatele obținute sunt prezentate în tabelul 14.

S-a făcut de asemenea încercări de reglare a timpului de priză folosind acid oxalic, anhidrit și cloruri alcalino-pămintoase, dar rezultatele obținute au arătat că aceste adaosuri prezintă un efect de inacetinire foarte slab sau chiar un efect de accelerare în cazul anhidritului (spre deosebire de rezultatele semnalate în /122/ care arată posibilitatea utilizării anhidritului ca întăriitor de priză pentru cimenturile cu conținut de 5-60%  $C_{11}A_7 \cdot CaX_2$ ).

Temperatura ardere	Compoz.	Ados înfirmitor	Suprafata specifică (cm <sup>2</sup> /g)	Report	Timpul de prăjire		Rezistență mecanică la compresiune	
					început	final	început	final
0°	1°	2°	3°	4°	5°	6°	7°	8°
0,5% acid boric	3150	0,37	15	30	331	406	636	653
0,75% acid boric	3150	0,34	25	45	320	434	592	601
1% acid boric	3150	0,32	40	55	319	425	608	623
1,5% acid boric	3150	0,30	55	80	289	423	584	595
0,2% acid fumaric	3150	0,39	2	3	256	293	346	398
0,5% acid boric	3300	0,33	8	9	299	318	520	724
0,75% acid boric	3300	0,31	12	24	290	314	522	720
1% acid boric	3300	0,30	15	28	260	308	496	583
0,5% acid fumaric	3300	0,34	9	11	286	374	423	556
0,5% acid boric	3193	0,30	40	60	415	519	543	606
0,5% acid fumaric	3193	0,30	45	70	360	567	581	630
0,5% acid adipic	3193	0,30	20	25	415	499	510	592
0,5% acid boric	3100	0,40	3	15	193	282	349	375
0,75% acid boric	3100	0,31	15	20	180	281	370	410
0,2% acid fumaric	3100	0,32	5	18	175	275	375	415

C<sub>11</sub>A<sub>7</sub>·0,7CaF<sub>2</sub>  
·0,3CaCl<sub>2</sub>

1150

Tabelul 14 (continuare)

	0.	1.	2.	3.	4.	5.	6.	7.	8.	9.	10.
0,5% acid boric	-	3300	0,45	2	6	391	399	418	523		
0,5% acid boric	3300	0,32	75	90	477	549	604	625			
0,5% acid boric	-	3100	0,44	4	15	323	331	430	514		
0,5% acid fumaric	3100	0,31	55	65	342	461	578	600			
0,5% acid fumaric	3100	0,32	45	60	300	398	447	493			
0,5% acid boric	-	3064	0,29	24	24	479	517	597	659		
0,5% acid boric	3064	0,28	45	65	483	521	603	641			
0,2% acid fumaric	-	3139	0,33	12	14	435	486	552	613		
0,2% acid fumaric	3139	0,30	15	18	457	515	577	626			

Resultatele prezentate în tabelul 14 arată că tipul și cantitatea optimă de întăriștor este dependență de compoziția și temperatura de sinteză a halogenocaluminatului.

In cazul  $\text{Ca}_{11}\text{A}_7\cdot\text{CaF}_2$  încercările de utilizare a acidului fumaric nu au dat rezultate multumitoare. În schimb prin utilizarea acidului boric timpul de priză poate fi reglat în limite destul de largi fără afectarea negativă a rezistențelor mecanice. Pentru fluoroaluminatul de calciu ars la  $1150^{\circ}\text{C}$  adăosul optim de acid boric este de 0,5-0,75%, care asigură:

- început de priză: 15-25 minute;
- sfîrșit de priză: 30-45 minute;
- $R_c$  - după 1 zi:  $331-320 \text{ daN/cm}^2$
- după 28 zile:  $653-601 \text{ daN/cm}^2$

Pentru fluoroaluminatul ars la  $1200^{\circ}\text{C}$  cantitatea de acid boric necesară este mai mică. Un adăos de 0,5% acid boric asigură un început de priză de 75 minute și sfîrșit - 90 minute, iar rezistențele mecanice sunt ridicate:  $477 \text{ daN/cm}^2$  după 1 zi și  $625 \text{ daN/cm}^2$  - după 28 zile de întărire.

In cazul  $\text{Ca}_{11}\text{A}_7\cdot\text{CaCl}_2$  ars la temperatura de  $1150^{\circ}\text{C}$  se obțin rezultate comparabile în cazul utilizării celor trei întăriștori: acid boric, acid fumaric și acid adipic, fiind de preferat totuși acidul boric, care la un adăos de 0,5% asigură cel mai lung timp de priză: început 40 minute, sfîrșit 60 minute, iar rezistențele mecanice după 1 și 28 zile sunt 413, respectiv  $606 \text{ daN/cm}^2$ , valori considerate deosebit de bune.

Resultatele obținute permit următoarele observații:

- Acidul boric și acizii dicarboxilici (fumaric, adipic) pot fi utilizati ca întăriștori de priză pentru halogenocaluminati de calciu, natura acidului și cantitatea optimă depind de compoziția halogenocaluminatului și temperatura sa de ardere.

- În urma arderii la  $1150^{\circ}\text{C}$  clorocaluminatul prezintă rezultate mai bune decât fluoroaluminatul, apreciate prin posibilitatea unei reglări mai ușoare a timpului de priză, eventual chiar turnarea fără întăriștor și de asemenea rezistențe mecanice foarte bune.

- Adăosul optim pentru  $\text{Ca}_{11}\text{A}_7\cdot\text{CaF}_2$  obținut la  $1150^{\circ}\text{C}$  este acidul boric în proporție de 0,5-0,75%, iar pentru  $\text{Ca}_{11}\text{A}_7\cdot\text{CaCl}_2$  - acidul boric, adipic sau fumaric, în proporție de 0,5%, dă rezultate asemănătoare.

#### 4.5. Influenta temperaturii de ardere asupra continutului de halogeni din halogenoaluminatii de calciu

O problemă importantă în obținerea halogenoaluminatilor de calciu sau a unor cimenturi cu conținut de halogenoaluminat de calciu, care să prezinte proprietăți hidraulice superioare (timp de priză convenabil și rezistențe ridicate) e constituie cantitatea optimă de halogeni ce trebuie introdusă în amestecul de materii prime. Se stie că o bună parte din cantitatea de halogeni din amestecul de materii prime se pierde prin volatilizare în timpul procesului de ardere a cimentului. După Vlasova M.T. /103/ pierderea poate ajunge pînă la 50% în cazul fluorului și pînă la 70-80% în cazul clorului. Această pierdere depinde de temperatura de ardere, de compoziția clincherului și de cantitatea de halogeni din amestecul de materii prime. O cale de reducere a acestei pierderi prin volatilizare e constițuie dozarea halogenilor în funcție de compoziția amestecului de materii prime /106/ și în primul rînd în funcție de cantitatea de  $\text{Al}_2\text{O}_3$  din amestec.

Conținutul ideal de halogen în amestecul de materii prime ar fi acela care să asigure formarea în clincher a fazei halogenoaluminatice cu stoichiometria  $\text{CaO} : \text{Al}_2\text{O}_3 : \text{CaX}_2 = 11 : 7 : 1$ . Un conținut mai mic de halogen în produsul de ardere determină apariția de  $\text{C}_{12}\text{A}_7$  sau chiar  $\text{C}_3\text{A}$ , ceea ce implică accelerarea vitezei de hidratare a cimentului rezultat, peste limitele admisibile. Un conținut mai mare de halogen în clincher este nejustificat sau chiar dăunător.

Cunoscindu-se tendința de volatilizare a halogenilor la temperaturi ridicate s-a urmărit să se determine influența temperaturii de ardere asupra acestora, folosind amestecuri de materii prime cu raport molar  $\text{CaO} : \text{Al}_2\text{O}_3 = 11 : 7$  și conținut variabil de  $\text{CaX}_2$  ( $X = \text{F}, \text{Cl}$ ).

Pornind de la  $\text{CaCO}_3$  de precipitare, aluminiul calcinat (A<sub>co</sub>) și  $\text{CaF}_2$  respectiv  $\text{CaCl}_2$ , s-au realizat amestecuri cu stoichiometriile prezentate în tabelul 15, /159/.

Din fiecare amestec s-au realizat două compozitii:

- a) cu  $\text{CaCl}_2$ ;
- b) cu  $\text{CaF}_2$ .

Tabelul 15

Nr. probă	Raport molar		
	$\text{CaCO}_3$	$\text{Al}_2\text{O}_3$	$\text{CaCl}_2$
1	11	7	0.50
2	11	7	0.75
3	11	7	1.00
4	11	7	1.25
5	11	7	1.50

Amestecurile au fost omogenizate umed, uscate, brișcate și arse în cuptor electric cu bare de SiC, la temperaturi cuprinse între  $950 - 1200^\circ\text{C}$  - cele cu  $\text{CaCl}_2$  și între  $1000 - 1250^\circ\text{C}$  - cele cu  $\text{CaF}_2$ , cu palier de 30 minute. După răcire s-a determinat conținutul de halogen din probe.

Intrucit probele nu s-au putut dizolva în  $\text{HNO}_3$  concentrat, nici chiar la cald, ele au fost supuse dezagregării alcaline, în crevături din platiniu, folosind un amestec fondant compus din  $\text{Na}_2\text{CO}_3$  și  $\text{K}_2\text{CO}_3$  în raport de masă 3 : 1 și adăos de  $\text{ZnO}$ . Raportul de masă, probă:amestec fondant:  $\text{ZnO} = 1 : 10 : 2$ . Temperatură necesară topirii alcaline a fost  $1150^\circ\text{C}$ , timp de 30 minute. După răcire probele au fost supuse dizolvării, în apă, la cald, aduse la 500 ml și transferate în vase de plastic, din care s-au preluat părți alicote pentru determinarea halogenilor.

Fluorul s-a determinat prin metoda spectrofotometrică, fără distilare /160/, bazată pe acțiunea decolorantă a fluorului asupra complexului colorat format de zirconiu (din  $\text{ZrOCl}_2$ ) cu ericocianină R. Măsurările spectrofotométrice s-au făcut pe spectrofotometrul UV-VIS (Karl Zeiss Jena), la lungimea de undă de 525nm. Determinarea conținutului de fluor din probe s-a realizat pe baza unei curbe de etalonare construită folosind o soluție etalon de  $\text{NaF}$ . Rezultatele obținute sunt prezentate în tabelul 16 și figura 17.

Clorul s-a determinat prin precipitare cu azotat de argint, după ce solutiile au fost acidulate în prealabil cu acid azotic. Deoarece cantitățile de  $\text{AgCl}$  formate au fost prea mici pentru a le determina prin cintărire, determinările s-au făcut prin turbidimetrie, pe baza unei curbe de etalonare construită cu o soluție etalon de cloruri de sodiu. Rezultatele obținute sunt prezentate în tabelul 17 și figura 18.

Tabelul 16.

Moli CaF <sub>2</sub> în moli CaO	Conținut initial de F (%)	Conținutul de F (%) în probele arse la (°C)						Pierde- rea to- tală de F (%)
		1000	1050	1100	1150	1200	1250	
0,50	1,39	1,37	1,39	1,35	1,39	1,36	1,27	8,60
0,75	2,05	2,02	2,01	2,04	2,00	1,98	1,87	8,81
1,00	2,70	2,66	2,68	2,60	2,65	2,60	2,45	9,25
1,25	3,33	3,15	2,80	2,75	2,70	2,71	2,60	21,93
1,50	3,94	3,77	3,05	2,81	2,75	2,72	2,65	32,74

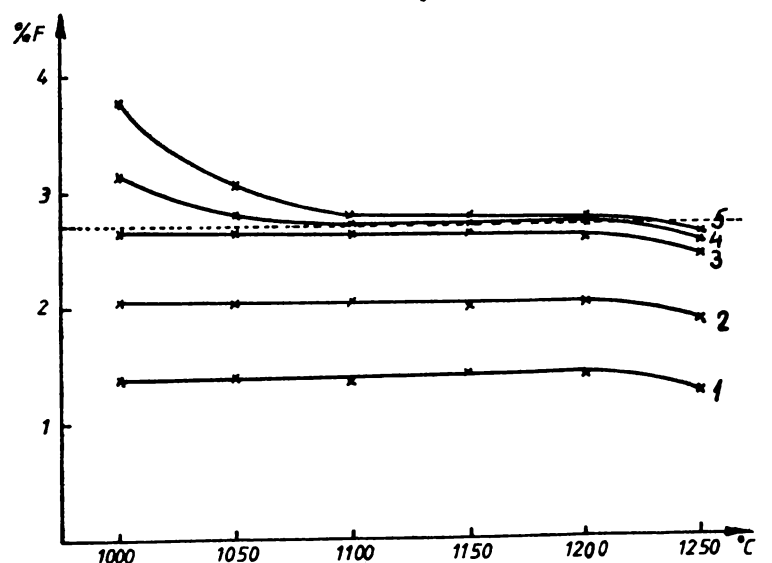


Fig.17. Variatia conținutului de fluor din probele arse,  
în functie de conținutul inițial de fluor și de  
temperatura de ardere.

Tabelul 17.

Moli $\text{CaCl}_2$ 1L mătăsoare	Continut initial de Cl (%)	Continutul de Cl(%) în probele arse la (°C)						Pierderea totală de Cl (%)
		950	1000	1050	1100	1150	1200	
0,50	2,56	2,43	2,38	2,40	2,39	2,35	2,01	21,48
0,75	3,77	3,63	3,62	3,54	3,50	3,40	2,98	20,95
1,00	4,93	4,77	4,65	4,68	4,58	4,45	3,87	21,50
1,25	6,04	5,64	5,08	4,86	4,92	4,80	4,25	29,63
1,50	7,12	6,38	5,30	5,05	4,95	4,90	4,37	38,60

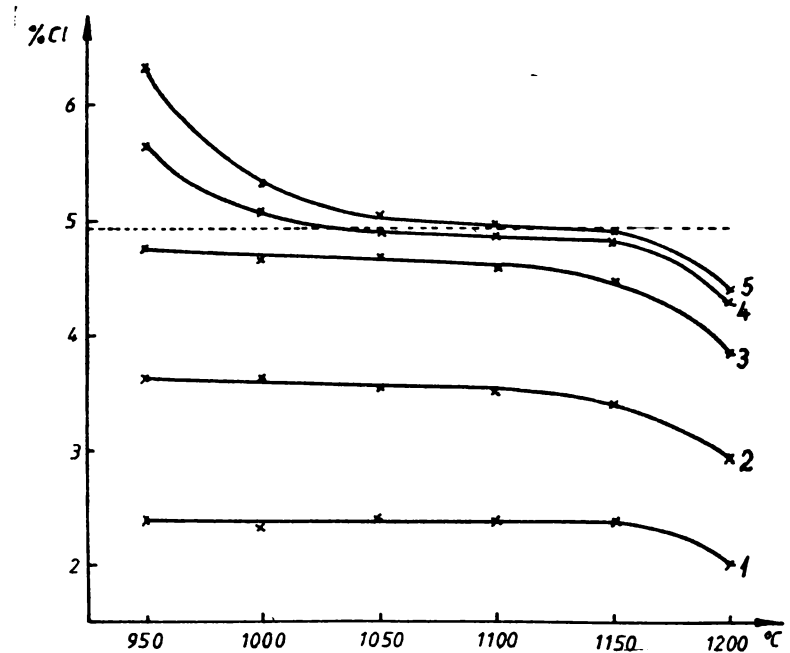


Fig.18. Variatia continutului de clor din probele arse, in functie de continutul initial de clor si de temperatura de ardere.

Pe baza rezultatelor obținute se pot face următoarele observații:

- Pierderea de halogeni din probe, prin volatilizare, depinde de temperatura de ardere, dar mai ales de tipul și conținutul de halogen în probe, în toate cazurile fiind mai mare în cazul clorului.

- Pentru probe cu raport molar  $\text{CaO} : \text{Al}_2\text{O}_3 : \text{CaX}_2 = 11 : 7 : n$ , în care  $n \leq 1$ , pierderea de halogen este de aproximativ 21% în cazul Cl (la temperatură de  $1200^\circ\text{C}$ ) și de aproximativ 9% în cazul fluorului (la temperatură de  $1250^\circ\text{C}$ ). Pentru  $n > 1$  pierderea de halogen crește rapid cu creșterea lui  $n$  și cu creșterea temperaturii.

- Alătura curbelor de variație a conținutului de halogen din probele cu  $n > 1$ , arată că pentru compoziția corespunzătoare raportului molar  $\text{CaO} : \text{Al}_2\text{O}_3 : \text{CaX}_2 = 11 : 7 : 1$  (adică halogenaluminatul de calciu) volatilitatea halogenului scade mult, fiind inclus în rețeaua cristalină a halogenaluminatului, dar totuși și din aceste compozitii prin creșterea temperaturii peste  $1150^\circ\text{C}$  în cazul cloroaluminatului și peste  $1200^\circ\text{C}$  în cazul fluoroaluminatului se elimină halogen, cu formarea de  $\text{Ca}_{12}\text{A}_7$ , ceea ce are implicații majore pentru proprietățile hidraulice ale probelor.

#### In concluzie:

Realizarea unui anumit conținut de halogen în probele arse, în sprijn asigurarea stoichiometriei  $\text{Ca}_{11}\text{A}_7\cdot\text{CaX}_2$ , presupune utilizarea unui exces de halogenuri în amestecul de materii prime. Valoarea excesului necesar de  $\text{CaX}_2$  depinde de temperatură de ardere și de halogen ( $X = \text{F}, \text{Cl}$ ).

**Cap.5. DETERMINARI EXPERIMENTALE IN VEDEREA  
OBTINERII UNOR CIMENTURI CU CONTINUT  
DE  $C_{11}A_7 \cdot CaX_2$**

Pornind de la proprietățile hidraulice foarte bune ale halogenocaluminatilor de calciu s-au făcut multe încercări de valorificare a acestor proprietăți în obținerea unor cimenturi cu întărire rapidă, cu continut de halogenocaluminat. Cercetările efectuate în acest sens se împart în două grupe:

- a) Obținerea unor cimenturi cu continut de  $C_{11}A_7 \cdot CaX_2$  prin introducerea  $CaX_2$  în amestecul de materii prime.
- b) Obținerea unor cimenturi cu continut de  $C_{11}A_7 \cdot CaX_2$  prin amestecarea unui ciment portland cu halogenocaluminat preparați anterior și eventual cu adăosuri pentru reglarea prizei.

**5.1.Obținerea unor cimenturi cu continut de  $C_{11}A_7 \cdot CaX_2$   
prin introducerea  $CaX_2$  în amestecul de materii prime**

**5.1.1. Influența adăosului de  $CaF_2$  asupra formării  
minerealelor în sistemul  $CaO-Al_2O_3-SiO_2$**

Intr-o primă etapă s-a urmărit influența adăosului de  $CaF_2$  asupra formării minerealelor în sistemul  $CaO-Al_2O_3$ , deoarece modificările provocate de adăosul de  $CaF_2$  asupra compoziției aluminaților de calciu determină modificări importante asupra compozitiei mineralogice a unor sisteme mai complexe, care pe lângă  $CaO$  și  $Al_2O_3$  mai conțin  $SiO_2$ ,  $Fe_2O_3$  și în proporție mai redusă și alți oxizi.

În acest scop s-au preparat amestecuri cu raport molar  $CaO : Al_2O_3$  variabil, cu și fără adăos de  $CaF_2$  /16%. Materialele prime utilizate au fost  $CaCO_3$  obținut prin precipitare, alumina calcinată (Aco) și fluorină naturală (China). Compoziția amestecurilor studiate este prezentată în tabelul 18.

Amestecurile au fost omogenizate uscat, presate sub formă de pastile cu  $\phi = 20$  mm și  $h = 10-15$  mm., la presiune de 100 daN/cm<sup>2</sup>, folosind ca liant pentru presare un adăos de 3% soluție dextrină de concentrație 10%. Arderea brișinelor s-a făcut în cuptor electric cu bare de silică, la temperaturi cuprinse între 900 și 1350 °C, cu palier de 60 minute.

Table 1.18.

Nr. amesteo	Raport nr. 380	Raport nr. 11203	Cao, 2	Concentratia fazei galitativi după ardere 1a (00).		
				900	950	1050
1.0	4	1	-	CaO, Al <sub>2</sub> O <sub>3</sub>	-	C <sub>12</sub> A <sub>7</sub> , Ca, CaO
1.1	4	1	1/7	C <sub>11</sub> A <sub>7</sub> •CaF <sub>2</sub> , CaO, Al <sub>2</sub> O <sub>3</sub>	-	C <sub>11</sub> A <sub>7</sub> •CaF <sub>2</sub> , CaO
2.0	3	1	-	CaO, Al <sub>2</sub> O <sub>3</sub>	CaO, Al <sub>2</sub> O <sub>3</sub>	C <sub>12</sub> A <sub>7</sub> •Ca, CaO
2.1	3	1	1/7	C <sub>11</sub> A <sub>7</sub> •CaF <sub>2</sub> , CaO, Al <sub>2</sub> O <sub>3</sub>	C <sub>11</sub> A <sub>7</sub> •CaF <sub>2</sub> , CaO	C <sub>11</sub> A <sub>7</sub> •CaF <sub>2</sub> , CaO
3.0	2	1	-	CaO, Al <sub>2</sub> O <sub>3</sub>	-	C <sub>12</sub> A <sub>7</sub> • Ca, CaO
3.1	2	1	1/7	C <sub>11</sub> A <sub>7</sub> •CaF <sub>2</sub> , CaO, Al <sub>2</sub> O <sub>3</sub>	-	C <sub>11</sub> A <sub>7</sub> •CaF <sub>2</sub> , CaO
4.0	12	7	-	C <sub>12</sub> A <sub>7</sub> , CaO, Al <sub>2</sub> O <sub>3</sub>	C <sub>12</sub> A <sub>7</sub> , CaO, Al <sub>2</sub> O <sub>3</sub>	C <sub>12</sub> A <sub>7</sub> , CaO, Al <sub>2</sub> O <sub>3</sub>
4.1	12	7	1	C <sub>11</sub> A <sub>7</sub> •CaF <sub>2</sub> , CaO, Al <sub>2</sub> O <sub>3</sub>	C <sub>11</sub> A <sub>7</sub> •CaF <sub>2</sub> , CaO, Al <sub>2</sub> O <sub>3</sub>	C <sub>11</sub> A <sub>7</sub> •CaF <sub>2</sub> , CaO, Al <sub>2</sub> O <sub>3</sub>
5.0	1	1	-	-	C <sub>12</sub> A <sub>7</sub> , CaO, Al <sub>2</sub> O <sub>3</sub>	C <sub>12</sub> A <sub>7</sub> , CaO, Al <sub>2</sub> O <sub>3</sub>
5.1	1	1	1/7	C <sub>11</sub> A <sub>7</sub> •CaF <sub>2</sub> , CaO, Al <sub>2</sub> O <sub>3</sub>	C <sub>11</sub> A <sub>7</sub> •CaF <sub>2</sub> , Al <sub>2</sub> O <sub>3</sub>	C <sub>11</sub> A <sub>7</sub> •CaF <sub>2</sub> , Al <sub>2</sub> O <sub>3</sub>

După ardere probele au fost supuse analizei fizale calitative, prin difracție RX. Rezultatele obținute sunt prezentate în tabelul 18. Aceste rezultate arată că între compoziția fazală a probelor arse la aceeași temperatură, fără adăos de  $\text{CaF}_2$ , există diferențe determinate de raportul molar  $\text{CaO} : \text{Al}_2\text{O}_3$ , de la care s-a plecat. În toate cazurile primul compus care apare este  $\text{C}_{12}\text{A}_7$ , iar la temperaturi mai ridicate se formează CA.

La temperatura de  $900^{\circ}\text{C}$  compusul  $\text{C}_{12}\text{A}_7$  prezintă o rețea cristalină deformată, fapt dovedit de intensitatea redusă a maximelor de difracție și mai ales înălțimea propunțată a acestora, care denotă o cristalinitate redusă (fig.19).

Degăi  $\text{C}_{12}\text{A}_7$  și  $\text{C}_{11}\text{A}_7 \cdot \text{CaF}_2$  prezintă spectre de difracție RX practic identice, s-a considerat că în probele cu adăos de  $\text{CaF}_2$ , spectrul de difracție aparține de fapt fluoroaluminatului, afirmație susținută și de faptul că în aceste probe lipsesc maximele de difracție caracteristice pentru  $\text{CaF}_2$ .

Se constată că în amestecurile cu adăos de  $\text{CaF}_2$  fluoroaluminatul apare la temperaturi mai joase decât echivalentul său ( $\text{C}_{12}\text{A}_7$ ) din amestecurile fără  $\text{CaF}_2$ , iar maximele de difracție caracteristice indică un grad de cristalinitate mai avansat. Se observă de asemenea că în amestecurile cu adăos de  $\text{CaF}_2$  nu se mai formează CA, faza presentă la  $1050^{\circ}\text{C}$  în toate amestecurile fără  $\text{CaF}_2$ .

Se constată că la temperatura de  $1350^{\circ}\text{C}$  fluoroaluminatul este prezent în toate amestecurile cu conținut de  $\text{CaF}_2$ , indiferent de raportul molar  $\text{CaO} : \text{Al}_2\text{O}_3$  de la care se pleacă, în timp ce  $\text{C}_{12}\text{A}_7$  este prezent doar în amestecul cu raportul molar

$\text{CaO} : \text{Al}_2\text{O}_3 = 12 : 7$ . Aceasta denotă o stabilitate termodynamică a fluoroaluminatului mai mare decât cea a  $\text{C}_{12}\text{A}_7$  și mai mare chiar decât a  $\text{C}_3\text{A}$ .

Dintre amestecurile studiate, prezintă o importanță deosebită pentru chimia cimentului portland amestecul cu raportul molar  $\text{CaO} : \text{Al}_2\text{O}_3 = 3 : 1$ , iar pentru chimia cimentului aluminos prezintă importanță amestecul cu raportul molar  $\text{CaO} : \text{Al}_2\text{O}_3 = 1 : 1$ . Se vede însă că o diferență esențială între comportarea în absență și în prezență de  $\text{CaF}_2$ , prezintă numai amestecul cu raportul molar  $\text{CaO} : \text{Al}_2\text{O}_3 = 3 : 1$ . În cazul acestui amestec, în prezență  $\text{CaF}_2$ , nu se formează aluminatele tricalcice nici la temperatura de  $1350^{\circ}\text{C}$ , ci în locul lui apare fluoroaluminatul de calciu, cu crearea unei disponibilități de  $\text{CaO}$  nelegat.

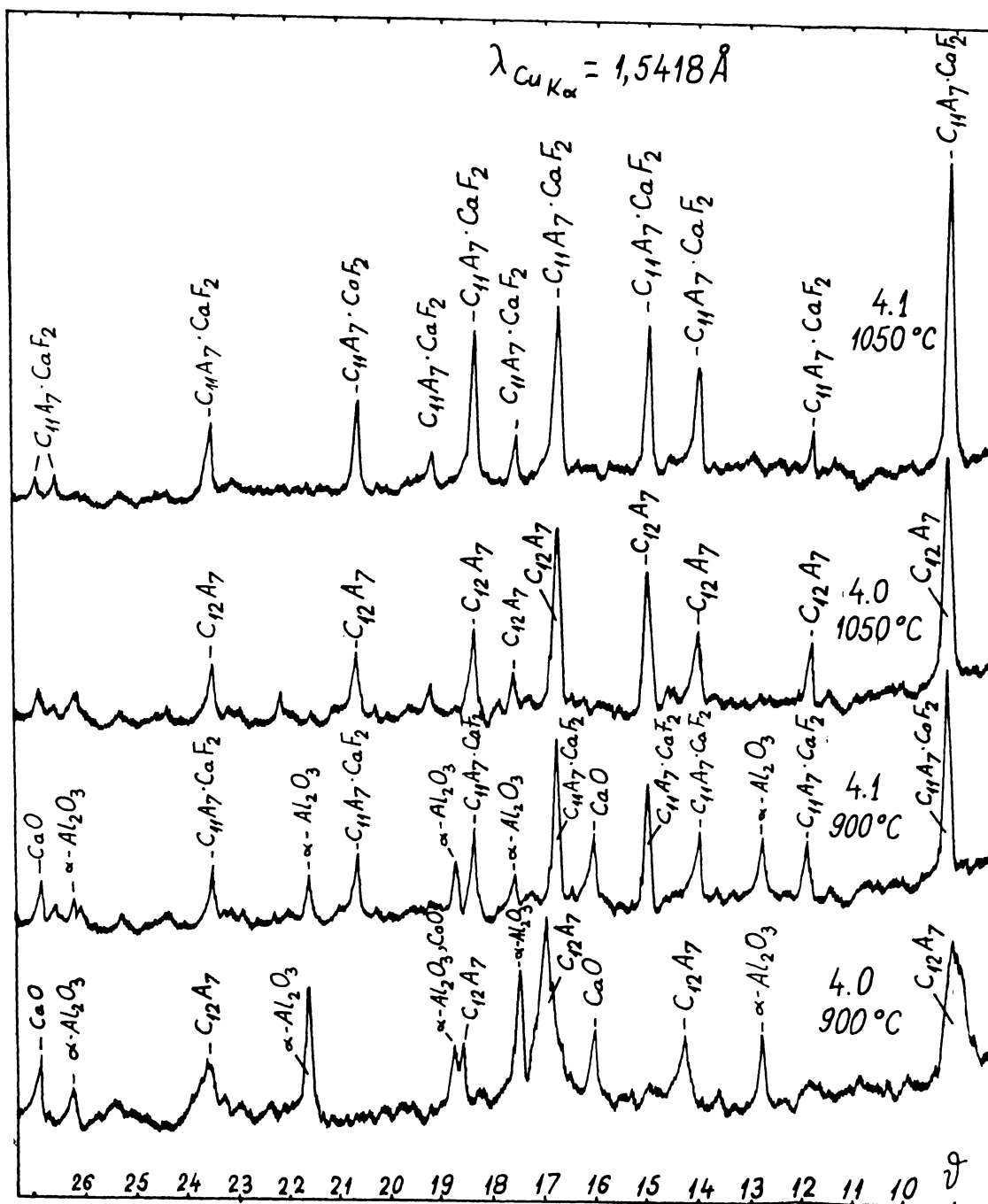


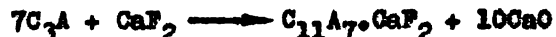
Fig.10. Spectrele de difracție X ale probelor 4.0 și 4.1 arse la 900 °C și 1050 °C.

In continuare s-a urmărit influența adăosului de  $\text{CaF}_2$  asupra  $\text{C}_3\text{A}$  sintetizat anterior. În acest scop s-au preparat probe, sub formă de pastile, din  $\text{C}_3\text{A}$  fără adăos și cu adăos de  $\text{CaF}_2$ , în raport molar  $\text{C}_3\text{A}:\text{CaF}_2 = 1:1/7$ . Omogenizarea  $\text{C}_3\text{A}$  cu  $\text{CaF}_2$  s-a făcut în stare uscată, în moara cu bile. Probele cu și fără adăos de  $\text{CaF}_2$  au fost arse la 850, 950, 1050, 1200 și 1350 °C, cu pauză de 2 ore.

Spectrele de difracție RX ale probelor cu adăos de  $\text{CaF}_2$  au arătat că la 900 °C începe descompunerea  $\text{C}_3\text{A}$ , cu formarea de fluoroaluminat și  $\text{CaO}$  liber. Descompunerea este practic completă la temperatura de 950 °C. Aceste rezultate sunt în concordanță cu cele prezентate în lucrarea /93/, dar spre deosebire de aceasta, în probele arse la 1350 °C este stabil fluoroaluminatul alături de  $\text{CaO}$  liber și nu se constată reformarea  $\text{C}_3\text{A}$ .

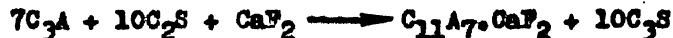
Instabilitatea  $\text{C}_3\text{A}$ , cu eliberare de  $\text{CaO}$ , în prezență de  $\text{CaF}_2$  sugerează posibilitatea dirijării distribuției  $\text{CaO}$  între  $\text{Al}_2\text{O}_3$  și  $\text{SiO}_2$  în casul amestecurilor cuaternare sau mai complexe, folosite pentru obținerea cimentului portland.

Pentru a verifica în ce măsură au loc următoarele reacții:

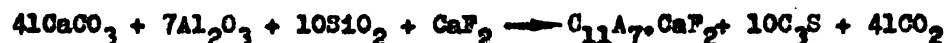


s-au preparat trei serii de amestecuri, de componiții prezente în tabelul 19.

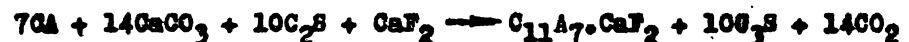
În prima serie de amestecuri (1, 1a și 1b) s-a plecat de la  $\text{C}_3\text{A}$  și  $\beta-\text{C}_2\text{S}$  (sintetizate anterior), reacția globală presupusă fiind:



În a doua serie de probe (2, 2a și 2b) s-a plecat de la  $\text{CaCO}_3$ ,  $\text{Al}_2\text{O}_3$  (alumina calcinată) și  $\text{SiO}_2$  (aerosil) reacția presupusă fiind:



În a treia serie de probe (3, 3a și 3b) s-a plecat de la  $\text{CA}$ ,  $\beta-\text{C}_2\text{S}$  și  $\text{CaCO}_3$  pentru a urmări modul de legare al  $\text{CaO}$  între  $\text{CA}$  și  $\text{C}_2\text{S}$ , în prezență și în absență de  $\text{CaF}_2$ . Reacția presupusă, în prezență  $\text{CaF}_2$ , fiind:



Tabelul 19.

Nр. ord.	Raport molar							Compoziția fazelor calitative după ardere la 1350°C
	C <sub>3</sub> A	β-C <sub>2</sub> S	CaF <sub>2</sub>	CaCO <sub>3</sub>	Al <sub>2</sub> O <sub>3</sub>	SiO <sub>2</sub>	CA	
1	7	10	-	-	-	-	-	C <sub>3</sub> A, βC <sub>2</sub> S
1a	7	10	1	-	-	-	-	C <sub>11</sub> A <sub>7</sub> , CaF <sub>2</sub> , C <sub>3</sub> S, C <sub>3</sub> A și βC <sub>2</sub> S
1b	7	10	2	-	-	-	-	idem
2	-	-	-	41	7	10	-	C <sub>3</sub> A, βC <sub>2</sub> S
2a	-	-	1	41	7	10	-	C <sub>11</sub> A <sub>7</sub> , CaF <sub>2</sub> , C <sub>3</sub> S, C <sub>3</sub> A și βC <sub>2</sub> S
2b	-	-	2	41	7	10	-	idem
3	-	10	-	14	-	-	7	C <sub>3</sub> A, βC <sub>2</sub> S
3a	-	10	1	14	-	-	7	C <sub>11</sub> A <sub>7</sub> , CaF <sub>2</sub> , C <sub>3</sub> S, C <sub>3</sub> A și βC <sub>2</sub> S
3b	-	10	2	14	-	-	7	idem

Arderea amestecurilor s-a făcut la temperatura de 1350 °C, cu palier de 60 minute. Temperatura a fost această pe baza comului anterioare care au arătat că la această temperatură fluorocaluminatul este închis stabil și în plus la această temperatură vitesa de legare a CaO (eliberat din C<sub>3</sub>A) de către C<sub>2</sub>S este apreciabilă.

După ardere probele au fost supuse analizei fazale calitative X, rezultatele obținute fiind prezentate în tabelul 19. Aceste rezultate arată că reacțiile presupuse s-au produs în bună măsură. În timp ce amestecurile fără CaF<sub>2</sub> sunt formate în final numai din C<sub>3</sub>A și C<sub>2</sub>S, amestecurile cu adăos de CaF<sub>2</sub> conțin, după ardere, fluorocaluminat de calciu, C<sub>3</sub>S și numai puțin C<sub>3</sub>A și βC<sub>2</sub>S (maxime de difracție de intensitate mică). Se constată că în toate cele trei serii de probe, efectul CaF<sub>2</sub> este același: formarea fluorocaluminatului în loc de C<sub>3</sub>A și ca rezultat trecerea βC<sub>2</sub>S în C<sub>3</sub>S. În figura 20 sunt prezentate, pentru exemplificare, spectrele de difracție X a probelor 1, 1a, 3 și 3a, după ardere la 1350 °C.

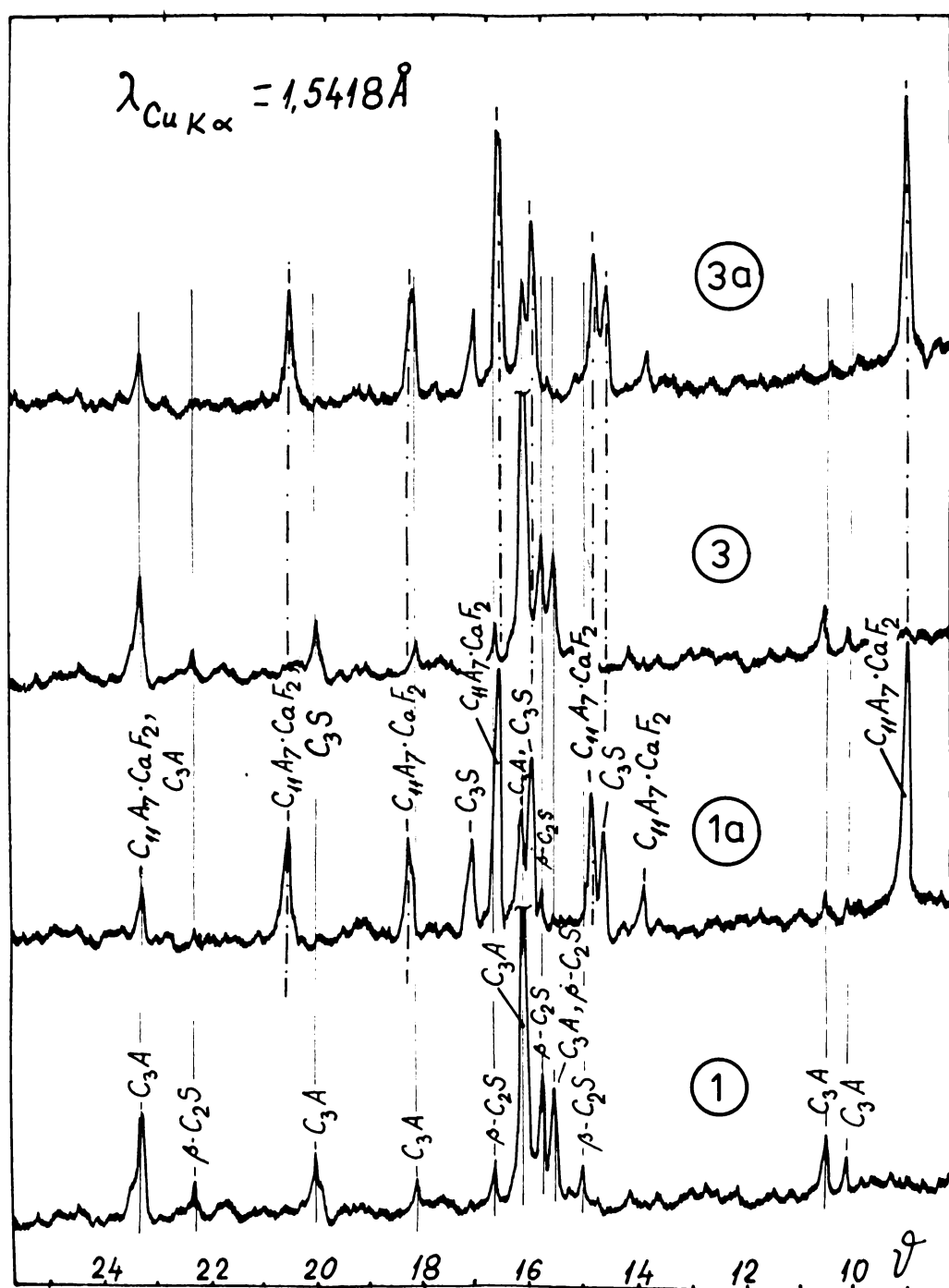


Fig.20. Spectrele de difracție RX a probelor 1, 1a, 3 și 3a după ardere la  $1350^{\circ}\text{C}$ .

Prezența fluorcaluminatului în probele arse la 1350 °C dovedește stabilitatea lui la această temperatură, condiție essentială pentru ca oxidul de calciu eliberat să poată fi legat sub formă de  $C_3S$ , decarece la temperaturi mai joase de 1350 °C viteza de legare a  $CaO$  este mică.

Între probele a) și b) ale fiecărei serii de probe nu se constată deosebiri sensibile și nici  $CaF_2$ , nereacționat în probele b) ceea ce se poate explica doar printr-o volatilizare accentuată a  $CaF_2$  aflat în exces față de raportul  $Al_2O_3:CaF_2 = 7:1$ .

Pe baza rezultatelor prezentate se pot face următoarele observații:

- Adăosul de  $CaF_2$  la amestecul de  $CaCO_3$  și  $Al_2O_3$  reduce temperatura de începere a reacțiilor între  $CaO$  și  $Al_2O_3$  și modifică domeniile de stabilitate ale constituentilor mineralogici în acest sistem.

- În prezență de  $CaF_2$ , nu este stabil  $C_3A$ , indiferent dacă se pleacă de la  $C_3A$  sintetizat anterior sau  $CaCO_3$  și  $Al_2O_3$ , în raport molar 3 : 1, ori  $CA$  și  $CaCO_3$ , corespunzător formării  $C_3A$ . În toate aceste amestecuri, la temperaturi peste 900 °C se formează fluoroaluminat de calciu cu eliberarea unei cantități corespunzătoare de  $CaO$ .

- Adăosul de  $CaF_2$  permite redistribuirea oxidului de calciu, în timpul procesului de ardere la 1350 °C, între  $Al_2O_3$  și  $SiO_2$ , cu formarea a doi constituenți mineralogici prețioși pentru cimentul portland:  $C_3S$  și  $C_{11}A_7 \cdot CaF_2$ .

### 5.1.2. Obținerea unor cimenturi fluoroaluminatice în sistemul $CaO-Al_2O_3-SiO_2-CaF_2$

Formind de la rezultatele care au dovedit proprietățile hidraulice foarte bune ale fluoroaluminatului de calciu s-a urmat în continuare obținerea unor cimenturi care să conțină alături de  $C_{11}A_7 \cdot CaF_2$  și silicat tricalcic. Aceste cimenturi, pe lângă imbinarea calităților celor două minerale - întărire rapidă și rezistențe mecanice finale ridicata - ar prezenta și avantajul că  $Al_2O_3$  s-ar putea introduce sub forma unor materii prime naturale (materiale argilicase) care alături de  $Al_2O_3$  introduc și  $SiO_2$ .

Polesind ca materii prime:  $\text{CaCO}_3$  de precipitare, aluminiu calcinat  $(\text{Al}_2\text{O}_3)$ , aerosil și fluorini naturali (China) s-au preparat amestecuri de compozitie prezentate în tabelul 20. Local acestor amestecuri (1, 2 și 3) în sistemul  $\text{CaO}-\text{Al}_2\text{O}_3-\text{SiO}_2$  este prezentat în figura 21, /162/.

Tabelul 20

Nr. ame- stec	Compozitie (%)			$\text{CaF}_2$ mol%	Compozitie finală după ardere la $1350^{\circ}\text{C}$	% $\text{CaO}$ nele- gat
	$\text{CaO}$	$\text{Al}_2\text{O}_3$	$\text{SiO}_2$			
1	70,05	7,44	22,51	1,5	$\text{C}_2\text{S}, \text{C}_{11}\text{A}_7\cdot\text{CaF}_2$	0,701
2	67,72	12,25	20,03	1,5	$\text{C}_2\text{S}, \text{C}_{11}\text{A}_7\cdot\text{CaF}_2$	0,252
3	61,89	24,22	13,89	1,5	$\text{C}_2\text{S}, \text{C}_{11}\text{A}_7\cdot\text{CaF}_2$	0,224
3a	61,89	24,22	13,89	-	$\text{C}_3\text{A}, \beta\text{-C}_2\text{S}, \text{CaO}, \text{C}_{12}\text{A}_7$	4,021

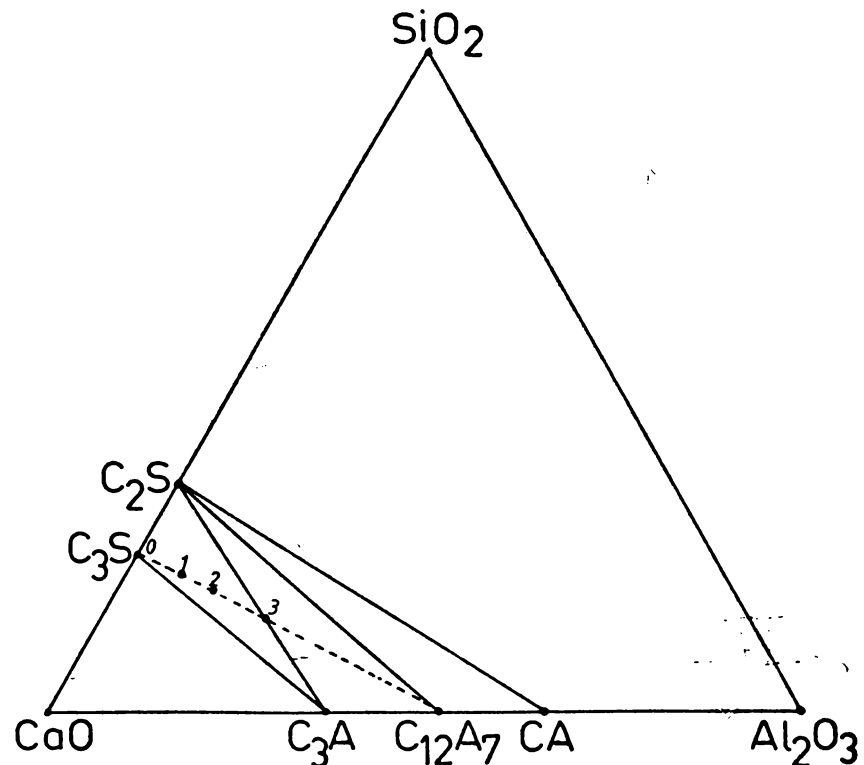


Fig. 21. Poziția amestecurilor studiate, în sistemul  $\text{CaO}-\text{Al}_2\text{O}_3-\text{SiO}_2$ .

Se observă că cele trei amestecuri se arată pe dreapta  $C_3S-C_{12}A_7$  și înințind că în prezența  $CaF_2$  se formează  $C_{11}A_7 \cdot CaF_2$ , înseamnă că în urma arderei acestor amestecuri se vor obține probe cu conținut variabil de  $C_3S$  și  $C_{11}A_7 \cdot CaF_2$ . Pentru compoziția corespunzătoare punctului 3 din figura 21 s-a preparat și un amestec fără  $CaF_2$ , notat 3a).

Intrucât dacă facem abstracție de prezența  $CaF_2$ , cele trei compozitii (1, 2 și 3) se găsesc în parageneza  $C_3S-C_3A-C_2S$ , în amestecurile de materii prime s-a adăugat și 2% acid boric, în scopul stabilizării formei  $\beta-C_2S$  în cazul prezenței acestuia în probele arse.

Amestecurile de materii prime au fost emogenizate umed, uscate, briquetate și apoi arse la temperatură de  $1350^{\circ}C$ , cu palier de 60 minute, în cuptor electric. După răcirea probelor, în cuptor, acestea au fost măcinate și apoi supuse analizei fizice RX și determinării proprietăților hidraulice.

Spectrele de difracție RX ale probelor, prezентate în figura 22 arată următoarele:

- În probele 1, 2 și 3, cu adăos de  $CaF_2$ , lipsește  $C_3A$  și  $C_2S$ , singurele faze semnalate fiind  $C_3S$  și  $C_{11}A_7 \cdot CaF_2$ .

- Se observă creșterea conținutului de fluoroaluminat și scăderea conținutului de  $C_3S$  de la proba 1 la 3.

- Proba 3a) conține  $C_3A$ ,  $-C_2S$ ,  $CaO$  nelegat și  $C_{12}A_7$ .

Aceste rezultate demonstrează rolul hotăritor al prezenței  $CaF_2$  în amestecul de materii prime. Proba 3 (cu  $CaF_2$ ) și 3a) (fără  $CaF_2$ ) au compozitie fazală, după ardere, net diferită ca urmare a formării  $C_{11}A_7 \cdot CaF_2$  (în probă cu adăos de  $CaF_2$ ) în locul  $C_3A$  și eliberarea unei părți corespunzătoare de  $CaO$ . Această cantitate de  $CaO$  eliberat este legată de formare de  $C_3S$ . Ca urmare, în probă 3 apare  $C_3S$  și  $C_{11}A_7 \cdot CaF_2$  (și nu  $C_3A$  și  $C_2S$ ), iar în probele 2 și 1 lucrurile se petrec în mod similar doar că fluoroaluminatul se arată în cantitate mai mică odată cu scăderea conținutului de  $Al_2O_3$ .

În probă 3a) se constată că lipsa efectului mineralizator al  $CaF_2$ ;  $CaO$  nelegat se găsește în proporție mai mare și de asemenea este present încă  $C_{12}A_7$  – fază intermediară formării  $C_3A$ . În tabelul 20 sunt prezентate rezultatele determinării  $CaO$  nelegat, în probele arse. Determinările s-au făcut prin metoda cu etilenglicol /163/.

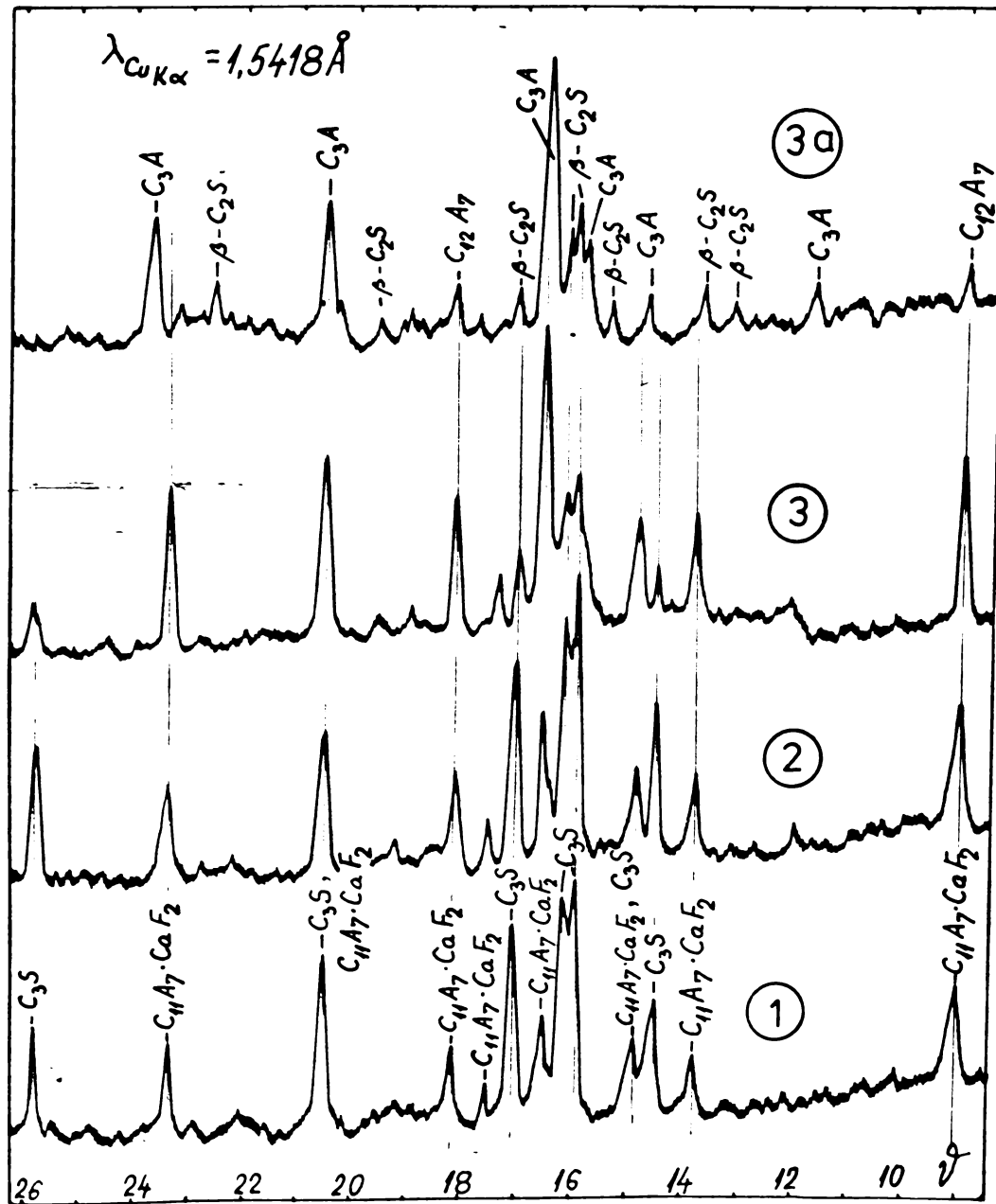


Fig.22. Spectrele de difracție RX ale probelor 1, 2, 3 și 3a, după ardere la  $1350^{\circ}\text{C}$ .

In continuare s-a trecut la elaborarea unor cimenturi de compozitie corespunzatoare punctelor 1, 2 si 3 din figura 20. Modul de lucru utilizat a fost cel presentat anterior.

Prima serie de cimenturi s-a obtinut folosind materiale prime a oror compozitie este prezentata in tabelul 21.

Temperatura de ardere a fost 1350 °C, cu palier de 60 minute. Proprietatile hidraulice ale cimenturilor obtinute sunt prezentate in tabelul 22. Determinarile s-au făcut pe micer-pruvete, confectionate din pastă și păstrate in mediu umed.

Se observă că cimenturile prezintă prind rapidă, cu atât mai rapidă cu cît conținutul de fluoroaluminat este mai mare. Rezistențele mecanice la compresiune, după o zi de hidratare cresc, de asemenea, o dată cu conținutul de  $C_{11}A_7 \cdot CaF_2$ . După 3 zile și termene mai lungi însă, rezistențele cele mai ridicate le prezintă cimentul 1 - cu conținutul cel mai mare în  $C_3S$ .

De semnalat sunt diferențele foarte mari între rezistențele cimenturilor 3 și 3a, care diferă doar prin prezența  $CaF_2$  în proba 3 și lipsa  $CaF_2$  în proba 3a).

In toate cazurile însă rezistențele mecanice rămân relativ mici. Ele nu reflectă compozitia fazală stabilită prin difracție RX. Această comportare necorespunzătoare din punct de vedere a rezistențelor mecanice se poate explica doar prin efectul nefavorabil al conținutului de CaO liber.

In tabelul 22 sunt prezentate și rezultatele obtinute in casul cimenturilor 1, 2 și 3 cu utilizarea unui adăos intirzieitor al timpului de prindă. In acest scop s-a folosit 2% acid fumaric, ales pe baza rezultatelor anterioare. Se observă că in acest caz probele prezintă rezistențe mecanice mai mici după o zi de întărire, dar mult mai ridicate după 28 zile, comparativ cu probele similare, dar fără adăos intirzieitor. Efectul pozitiv cel mai pronunțat se constată la cimentul 3, care prezintă conținutul maxim de  $C_{11}A_7 \cdot CaF_2$ . Oricum însă, chiar și aceste valori ale rezistențelor mecanice nu pot fi declarate corespunzătoare.

Intrucât îmbunătățirea rezistențelor mecanice a acestor cimenturi prin ridicarea temperaturii de ardere nu reprezintă o soluție favorabilă din două motive: accentuarea volatilizării fluorului o dată cu ridicarea temperaturii și în al doilea rînd pierderea avantajului oferit de formarea fluoroaluminatului la

Nr. ciment	Suprafata specifica ( $\text{cm}^2/\text{g}$ )	Infradeter- gent acid fumaric ( $\text{g}$ )	Report	Temperatura de prisă		Resistență la compresiune (kg/cm²)			
				100°C	150°C	200°C	250°C	300°C	
1	3694	—	0,45	6	10	20	95	141	27
		2	0,36	7	14	22	66	142	375
		—	0,45	5	9	26	96	123	238
2	3760	2	0,37	23	54	28	103	120	278
3	3691	—	0,45	2	4,5	29	144	163	181
3a	3580	—	0,36	26	86	27	177	225	263
		2	0,5	6	9	69	60	76	107

Tabelul 22									
Compoziția	% SiO <sub>2</sub>	% Al <sub>2</sub> O <sub>3</sub>	% CaO	% Fe <sub>2</sub> O <sub>3</sub>	% MgO	% R <sub>2</sub> O	% CaZ <sub>2</sub>	% P.O.	
Materiea conditio-									
Briște									
Caciu Achetat	20,17	31,41	0,28	1,80	0,60	0,74	—	15	
Caco <sub>3</sub> de precipitare	—	—	55,3	—	—	—	—	—	44,7
Aluminiu	0,035	99,95	—	—	—	0,015	—	—	—
Aerosil	90,5	—	—	—	—	—	—	—	9,5
Fluorită	0,5	—	—	—	—	—	—	—	—

temperaturi joase, s-a încercat găsirea unor materii prime purtătoare de  $\text{SiO}_2$  care să prezinte o reactivitate mărită pentru a permite formarea  $\text{C}_3\text{S}$  cu o textură corespunzătoare la temperatură de  $1350^{\circ}\text{C}$  sau chiar mai jos și de asemenea legarea completă a  $\text{CaO}$ .

Pornind de la rezultate anterioare /164/, care au arătat posibilitatea obținerii  $\text{C}_3\text{S}$  la temperaturi sub  $1300^{\circ}\text{C}$  în cazul utilizării hidrosilicatului de calciu ca materie primă purtătoare de  $\text{SiO}_2$ , s-a trecut la prepararea celei de a doua serie de probe, în care  $\text{SiO}_2$  s-a introdus sub forma acestui hidrosilicat de calciu; restul de  $\text{CaO}$  impus de rețetă s-a introdus sub formă de  $\text{CaCO}_3$ , iar  $\text{Al}_2\text{O}_3$  sub formă de aluminiu calcinat.

Hidrosilicatul de calciu utilizat a fost obținut după o metodă originală /165-168/ printr-o reacție de precipitare între silicat de sodiu sau potasiu și o sare de calciu ( $\text{CaCl}_2$ ,  $\text{CaSO}_4$ ,  $\text{Ca}(\text{NO}_3)_2$ ) sau chiar hidroxid de calciu. Această hidrosilicat de calciu prezintă raport molar  $\text{CaO}/\text{SiO}_2 = 1:1$ , o granulometrie foarte fină (sub  $3 \mu$ ), iar la calcinare peste  $800^{\circ}\text{C}$  trece în wollastonit /169/, care prin ridicarea temperaturii peste  $1100^{\circ}\text{C}$  leagă noi cantități de  $\text{CaO}$  cu formarea de  $\text{C}_3\text{S}$ .

Folosind hidrosilicatul de calciu ca sursă pentru  $\text{SiO}_2$  s-au realizat din nou amestecurile de compozitii: 1, 2 și 3, prezentate în figura 21 și tabelul 20. În această serie de probe s-a preparat și un amestec de compozitie corespunzătoare obținerii silicatului tricalcic, notată cu "o", (în care s-a introdus 2%  $\text{CaF}_2$ ).

Modul de lucru utilizat a fost același ca și în prima serie de probe.

Rezultatele determinării proprietăților hidraulice a cimenturilor din această a II-a serie de cimenturi sunt prezentate în tabelul 23.

În cadrul acestei serii s-a turnat și un set de probe folosind un adăos de 2% acid fumaric ca întăriitor.

Resistențele mecanice ale cimenturilor din seria II-a reflectă aceeași ordine de variație în funcție de raportul  $\text{C}_3\text{S}/\text{C}_{11}\text{A}_7\cdot\text{CaF}_2$  și același efect pozitiv al acidului fumaric ca și în cadrul seriei I. Se observă însă că toate cimenturile din seria II prezintă rezistențe mai bune decât cimenturile similare din seria I, ceea ce se explică prin reactivitatea ridicată a hidro-

silicatului de calciu utilizat.

Cimentul "o" ( $C_3S$  roentgenografic pur) prezintă rezistențe mecanice relativ bune (înind cont de temperatura relativ joasă la care s-a obținut), dar infericare cimentului I (seria II) despre care putem spune că prezintă un raport optim între  $C_3S$  și  $C_{11}A_7 \cdot CaF_2$ .

A treia serie de probe s-a preparat folosind aceleasi materii prime ca în seria precedentă, doar că în locul  $CaF_2$  s-a introdus  $CaCl_2$ . Ratiunea acestei serii de probe a fost dictată de rezultatele anterioare, care au arătat că rezistențele mecanice dezvoltate de  $C_{11}A_7 \cdot CaCl_2$  sunt mai ridicate decât cele dezvoltate de  $C_{11}A_7 \cdot CaF_2$  în cazul sintezei la temperaturi sub  $1250^{\circ}C$ . S-a urmărit să se verifice în ce măsură proprietățile hidraulice superioare ale cloroaluminatului pot fi verificate și în obținerea unor cimenturi care să contină  $C_{11}A_7 \cdot CaCl_2$  alături de  $C_3S$ .

Modul de lucru folosit a fost același ca și în cazul seriei a doua, cu mențiunea că în seria a treia s-a renunțat la amestecul de compozită "2".

Spectrele de difracție RX ale cimenturilor din această serie (fig.23) sunt identice cu cele ale cimenturilor similare din serile I și II.

Rezultatele determinării proprietăților hidraulice ale cimenturilor din această a III-a serie sunt prezentate în tabelul 24.

Rezistențele mecanice ale cimenturilor din seria a III-a reflectă aceeași ordine de variație în funcție de raportul  $C_3S/C_{11}A_7 \cdot CaCl_2$  și același efect pozitiv al acidului fumaric că și în cadrul seriei II. Se observă însă că rezistențele mecanice ale acestor cimenturi sunt de regulă mai mici decât ale cimenturilor similare din seria II. Această comportare se poate explica prin efectul negativ mai pronunțat al creșterii temperaturii asupra volatilității clorului decât asupra volatilității fluorului, ceea ce face ca proprietățile hidraulice ale cloroaluminatului să fie mai slabe decât ale fluoroaluminatului - în cazul acestor cimenturi obținute la  $1350^{\circ}C$ .

Rezultatele obținute în serile I, II și III de probe permit stabilirea următoarelor concluzii:

- Introducerea  $CaF_2$  în amestecuri de materii prime corespunzătoare paragenesei  $C_3S-C_2S-C_3A$ , determină modificări

Tabelle 23

Nr. ciment	Suprafața specifică (cm <sup>2</sup> /g)	Infiltrator- additiv (%)	Report	Timp de priză			Resistență la compresiune (daN/cm <sup>2</sup> )		
				Incepție	Stările 1 și 2	3 șiile	4 șiile	5 șiile	
0	3540	-	0,45	180	260	43	126	227	434
1	3490	-	0,45	5	10	57	134	278	360
2	3550	2	0,26	18	30	40	262	428	570
2	3550	-	0,45	4	8	72	116	164	271
3	3595	2	0,36	22	50	41	186	323	387
3	3595	-	0,45	2	6	100	121	182	224
		2	0,36	24	80	47	182	294	382

69

Timp de priză Rezistența la eșicare

Nr. ciment	Suprafata specifică (cm <sup>2</sup> /g)	Intrările acid fumaric (%)	Report	Timp de priză		Resistență la compresiune (daN/cm <sup>2</sup> )
				Inceput	sfîrșit	
0	3913	-		0,32	48	176
1	3853	-		0,55	17	34
		2		0,34	35	80
3	3740	-		0,48	6	11
		2		0,40	40	90
		2				23
						106
						232
						28211
						28211

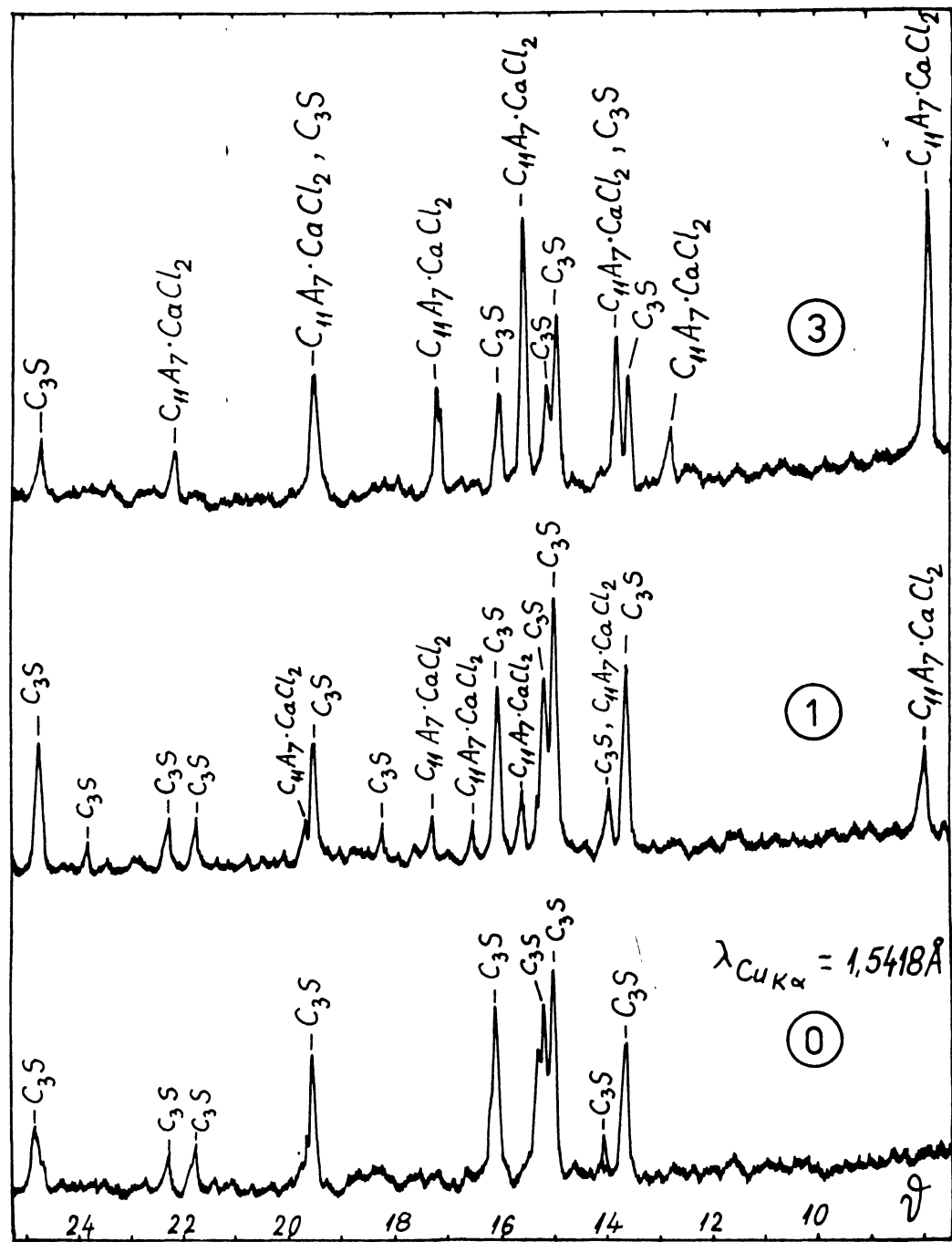


FIG.23. Spectrele de difracție RX ale cimenturilor din seria III (temperatura de ardere  $1350^{\circ}\text{C}$ ).

esentiale în compoziția fazală a probelor arse, constând în formarea  $C_{11}A_7 \cdot CaF_2$  în locul  $C_3A$  și creșterea proporțională a cantității de  $C_3S$ .

- Rezistențele mecanice superioare ale cimenturilor cu conținut de fluoroaluminat de calciu sunt condiționate de realizarea unui raport optim între  $C_3S$  și  $C_{11}A_7 \cdot CaF_2$ .

- Utilizarea hidrosilicatului de calciu ca materie primă purtătoare de  $SiO_2$  permite obținerea unor cimenturi fluoroaluminatice cu rezistențe mecanice superioare, prin ardere la  $1350^{\circ}C$ . Această constatare prezintă însă un interes mai mult teoretic decât practic, deoarece hidrosilicatul de calciu obținut prin precipitare reprezintă o materie primă scumpă. Ea ar putea fi luată însă în considerare pentru obținerea unor cimenturi speciale întrucât asigură obținerea unor cimenturi cu grad de alb ridicat (peste 95% fată de etalonul de  $BaSO_4$ ).

- Deși introducerea  $CaCl_2$  în amestecuri de materii prime corespunzătoare parogenezei  $C_3S-C_2S-C_3A$  determină aceleasi modificări în compoziția fazală a probelor arse, ca și  $CaF_2$ , totuși rezistențele mecanice ale cimenturilor cu conținut de cloroaluminat de calciu și  $C_3S$  sunt mai slabe decât ale cimenturilor similare, dar cu conținut de fluoroaluminat de calciu. Aceasta înseamnă că valorificarea proprietăților hidraulice mai bune ale  $C_{11}A_7 \cdot CaCl_2$  față de  $C_{11}A_7 \cdot CaF_2$  nu este posibilă în cazul cimenturilor care pe lîngă halogenoaluminat conțin și  $C_3S$ , datorită efectului negativ al temperaturilor ridicate (impuse de formarea  $C_3S$ ) asupra proprietăților hidraulice ale cloroaluminatului.

- Rezistențele mecanice pentru toate compozиtiile studiate, din toate cele trei serii de probe, sunt însă sub valorile așteptate ținând cont de compoziția fazală a probelor.

### 5.2. Obținerea unor cimenturi cu conținut de halogenoaluminat prin adăugul de $C_{11}A_7 \cdot CaX_2$ la cimenturi portland

Pentru a valorifica la maxim temperatura joasă de obținere și întărirea rapidă a halogenoaluminatilor de calciu, concomitent cu rezistențele mecanice superioare la termene lungi determinate de conținutul de  $C_3S$  din cimenturile portland, au existat încercări de obținere a unor cimenturi cu conținut de halogenoaluminat, în special  $C_{11}A_7 \cdot CaF_2$ , prin amestecarea acest-

tora anterior preparați, cu cimenturi portland /117-120/. Chiar dacă această soluție presupune complicarea tehnologiei prin necesitatea unor linii separate de preparare a halogenocaluminatului, se pare că avantajele obținute prin adosul de halogenocaluminat la cimentul portland, cu realizarea unor cimenturi speciale cu întărire rapidă sau chiar ultrarapidă și rezistențe inițiale ridicate justifică această soluție pentru cimenturi cu destinație specială.

In literatură nu există încă date sistematice privind influența condițiilor de obținere a halogenocaluminatului, respectiv a compoziției cimentului portland utilizat, asupra proprietăților cimentului obținut prin amestecare.

In continuare s-a urmărit posibilitatea obținerii unor cimenturi cu întărire rapidă prin amestecarea unui ciment P 500 cu  $C_{12}A_7$ , respectiv  $C_{11}A_7 \cdot CaF_2$  anterior sintetizată. S-a studiat influența temperaturii de sinteză, a  $C_{12}A_7$ , respectiv  $C_{11}A_7 \cdot CaF_2$  asupra proprietăților "cimenturilor amestecați" obținute.

Pelosind ca materii prime carbonat de calciu, aluminiu calcinat și fluorinat s-a preparat două amestecuri cu următoarele rapoarte molare, /170/: I)  $CaCO_3 : Al_2O_3 = 12 : 7$ .

II)  $CaCO_3 : Al_2O_3 : CaF_2 = 11 : 7 : 1,5$ .

Amestecurile au fost omogenizate umed, uscate și brișcate. Fiecare din cele două amestecuri au fost împărțite în trei părți destinate arderii la 900, 1000 și 1200 °C. Arderea s-a făcut în cuptor electric, cu palier de 2 ore, urmată de răcire liberă (după curba de răcire a cuptorului). După răcire probele au fost măcinate pînă la suprafață specifică de aproximativ  $3200 \text{ cm}^2/\text{g}$ , supuse analizei fazale RX și determinării conținutului de CaO liber.

Analiza fazală RX a probelor I și II arse la 900, 1000 și 1200 °C arată efectul puternic mineralizator al  $CaF_2$  asupra reacțiilor din timpul procesului de ardere:

- In probele I (fără  $CaF_2$ ): la temperatura de 900 °C descompunerea carbonatului de calciu nu este completă; la 1000 °C  $CaCO_3$  este complet descompus, dar CaO rezultat este în mare măsură nelegat; chiar la 1200 °C CaO nu este complet legat.

- In probele II (cu  $CaF_2$ ): la 900 °C carbonatul de calciu este complet descompus și CaO parțial legat; la 1000 °C CaO

liber nu este detectabil pe cale RX, iar în probele arse la  $1200^{\circ}\text{C}$  singura fază prezentă este  $\text{C}_{11}\text{A}_7\cdot\text{CaF}_2$ .

In tabelul 25 este prezentat conținutul de CaO liber în probe:

Tabelul 25

Proba	% CaO liber în probele arse la temperatură ( $^{\circ}\text{C}$ )		
	900	1000	1200
I	nu s-a det.	18,8 <sup>x</sup>	3,3 <sup>x</sup> <sup>x</sup>
II	7,7 <sup>x</sup>	0,87 <sup>x</sup> <sup>x</sup>	-

<sup>x</sup> valori determinate pe cale roentgenografică, prin metoda etalonului intern /171/;

<sup>x x</sup> valori determinate prin metoda cu etilenglicol /163/.

Probele II arse la  $1000$  și  $1200^{\circ}\text{C}$  și proba I arsă la  $1200^{\circ}\text{C}$  s-au utilizat ca adăos la un ciment portland. Datorită conținutului ridicat de CaO liber în probele I- $1000^{\circ}\text{C}$  și II- $900^{\circ}\text{C}$  și a conținutului de  $\text{CaCO}_3$ , nedescampus în proba I- $900^{\circ}\text{C}$ , acestea nu s-au folosit în continuare pentru prepararea "cimenturilor amestec". S-a urmărit influența fluoroaluminatului de calciu, respectiv a heptaaluminatului asupra proprietăților hidraulice a unui ciment P 500. În acest scop s-au preparat amestecuri cu 8 - 40%  $\text{C}_{11}\text{A}_7\cdot\text{CaF}_2$  respectiv  $\text{C}_{12}\text{A}_7$  și restul ciment P 500. Rezistențele la compresiune s-au determinat pe microcpruvete confectionate din pastă și păstrate în mediu umed. Rezultatele obținute sunt prezentate în tabelul 26.

Acste rezultate arată că prin folosirea unui adăos de 8-40%  $\text{C}_{12}\text{A}_7$  respectiv  $\text{C}_{11}\text{A}_7\cdot\text{CaF}_2$ , la un ciment P 500 se pot obține cimenturi cu întărire rapidă. Atât fluoroaluminatul sintetizat la  $1200^{\circ}\text{C}$  cât și cel sintetizat la  $1000^{\circ}\text{C}$  au efect pozitiv asupra rezistențelor mecanice ale "cimenturilor amestec" după cezi de întărire. Adăosul de 30% și 40% fluoroaluminat influențează însă negativ rezistențele după 3 zile și perioade mai lungi. În schimb adăosul de 15% fluoroaluminat are efect pozitiv atât asupra rezistențelor inițiale cât și la 28 zile.

In cazul utilizării heptaaluminatului de calciu,  $\text{C}_{12}\text{A}_7$ , obținut prin arderea probei I la  $1200^{\circ}\text{C}$ , rezistențele mecanice după 3 zile și perioade mai lungi sunt net inferioare, comparativ cu rezistențele probelor mărtor.

Tabelul 26.

- 94 -

Adosul ta- tes	Cun- ti- Raport	Temp de priză (min)	Rezistență mecanică la compresiune (kN/cm <sup>2</sup> )			
			1-m	3 mil	7 mil	28 mil
014-CAP <sub>2</sub> 1200°C	8	0.3	50	95	201.1	59.84
	15	0.3	40	80	176.2	39.99
	20	0.3	30	65	174.7	36.4
	40	0.3	15	25	104.9	-
	8	0.3	55	120	152.8	21.4
	15	0.3	45	105	161.8	28.5
	20	0.3	20	30	168.4	33.8
	40	0.3	10	15	66.6	-
	15	0.35	25	60	146.3	16.2
	30	0.35	20	35	153.2	21.7
	40	0.35	15	20	177.8	41.2
Martor	0.3	70	140	125.8	345.7	-

Intrucit în cap. 4.2. s-a arătat că  $C_{11}A_7 \cdot CaCl_2$  prezintă proprietăți hidraulice superioare față de  $C_{11}A_7 \cdot CaF_2$  și urmăriri în continuare studiul comparativ al influenței adaosului celor doi halogenocaluminati asupra proprietăților hidraulice ale "cimenturilor amestec" obținute pornind de la un ciment P 400. Ca temperatură de sinteză a halogenocaluminatilor s-a ales  $1250^{\circ}C$ , valoare care asigură proprietăți hidraulice optime pentru  $C_{11}A_7 \cdot CaF_2$ , chiar dacă în cazul  $C_{11}A_7 \cdot CaCl_2$  ar fi fost suficientă temperatura de  $1150^{\circ}C$ .

Modul de lucru și materiile prime au fost aceleasi ca în etapa anterioară.

După sinteza halogenocaluminatii au fost măcinati pînă la suprafață specifică de  $3250 \text{ cm}^2/g$  și supuși analizei fazale RX, care a dovedit că cei doi halogenocaluminati sunt reantrenografic puri. Proprietățile hidraulice ale celor doi halogenocaluminati precum și a unor "cimenturi amestec" rezultate prin adaosul acestor aluminati, în proporții variabile (5 - 30%), la un ciment P 400 sunt prezentate în tabelul 27. Determinările s-au făcut pe micropruvete confectionate din pastă și păstrate în mediu umed.

Rezultatele obținute permit urmărirea observației:

- Cimenturile obținute prin amestecarea cimentului P 400 cu halogenocaluminati de calciu prezintă întărire cu atît mai rapidă cu cît conținutul de halogenocaluminat este mai mare. Pentru același conținut de halogenocaluminat, cimenturile cu  $C_{11}A_7 \cdot CaCl_2$  prezintă întărire mai rapidă decit cele cu  $C_{11}A_7 \cdot CaF_2$  - ambele halogenocaluminati fiind obținuti prin ardere prealabilă la  $1250^{\circ}C$ .

- Pentru toate conținuturile de halogenocaluminati "cimentul amestec" prezintă rezistențe mecanice după 1 și 3 zile superioare cimentului P 400 de la care s-a plecat.

- Adaosul optim de  $C_{11}A_7 \cdot CaCl_2$  este de 10%, iar pentru  $C_{11}A_7 \cdot CaF_2$  - 15%. Rezistențele mecanice ale cimenturilor cu adaos de clorocaluminat sunt însă mai bune decit în cazul adaosului de fluorocaluminat, rezultate intru totul concordante cu observațiile anterioare făcute pe cei doi halogenocaluminati.

- Adaosul de 10%  $C_{11}A_7 \cdot CaCl_2$  la un ciment P 400 asigură obținerea unui ciment caracterizat prin întărire rapidă și o dinamică de creștere a rezistențelor inițiale foarte rapidă, comparabilă cu a unui ciment RIM 200.

Influența adaosului de halogenocaluminati este însă puternică dependentă și de compoziția cimentului la care se practică ada-

Tablă 27

Nr.	Compoziție "Cimentului aditiv" (%)		Raport 6	Raspuns la presiune (min)	Rezistențe secante la compresiune (daN/cm <sup>2</sup> )			
	P 400	C1147-CaCl <sub>2</sub>			1 min	3 zile	7 zile	28 zile
1	100	-	-	0,30	55	105	25	68
2	-	100	-	0,30	7	17	253	384
3	-	-	100	0,30	26	44	182	205
4	95	5	-	0,33	14	22	94	276
5	92	8	-	0,33	10	18	112	348
6	90	10	-	0,33	10	15	198	692
7	88	12	-	0,33	8	14	140	460
8	85	15	-	0,33	8	14	114	356
9	95	-	5	0,30	23	30	41	64
10	90	-	10	0,30	16	26	69	176
11	85	-	15	0,30	15	22	137	448
12	80	-	20	0,30	7	20	118	372
13	70	-	30	0,30	6	18	113	352

sul. Această afirmație se bazează pe rezultate obținute utilizând un ciment Pa 35. Adăosul de 5 - 30%  $C_{11}A_7 \cdot CaX_2$  ( $X = F, Cl$ ) la cimentul Pa 35 a determinat creșterea rezistențelor mecanice după o zi, dar după 3 zile și termene mai lungi influența s-a dovedit negativă - rezistențele mecanice ale cimenturilor cu adăos de halogencaluminati fiind sensibil mai mici decât în lipsa acestora (pentru toate continuturile).

**Cap.6. OPTINEREA UNOR CIMENTURI CU TEMPERATURA JOASĂ  
DE ARDERE, IN PARAGEMEZA  $C_{11}A_7 \cdot CaCl_2 - C_4AF - C_2S$**

Deoarece rezultatele prezentate în cap.5, care au urmărit realizarea unor cimenturi cu întărire rapidă pe bază de  $C_{11}A_7 \cdot CaX_2$  și  $C_2S$  nu pot fi declarate multumitoare întrucât prezintă dezavantajul fie a unor rezistențe mecanice finale modeste, fie necesitatea unor materii prime scumpe cum este hidrosilicatul de calciu, în continuare s-a urmărit obținerea unor cimenturi cu conținut de halogenocaluminat, dar fără  $C_2S$ .

Intrucit în cap.4.2 și 4.3 s-a arătat că  $C_{11}A_7 \cdot CaCl_2$ , prezintă unele avantaje față de  $C_{11}A_7 \cdot CaF_2$ , constând în temperaturi de sinteză mai joase, reglare mai ușoară a timpului de prindere și rezistențe mecanice superioare, în prezentul capitol s-a urmărit obținerea unor cimenturi cu conținut de clorocaluminat de calciu, alături de feritaluminat tetracalcic și silicat dicalcic, în proporții variabile.

In prima etapă s-a urmărit stabilirea influenței raportului celor trei minerale ( $C_{11}A_7 \cdot CaCl_2$ ,  $\beta-C_2S$  și  $C_4AF$ ) asupra proprietăților hidraulice a cimenturilor obținute. În acest scop s-a permis de la cele trei minerale anterior sintetizate /172/.

$C_{11}A_7 \cdot CaCl_2$  s-a preparat din  $CaCO_3$  - de precipitare, aluminiu calcinat - Aco și  $CaCl_2$ , prin omogenizare umedă, uscare, brichătare, ardere în cuptor electric la temperatura de  $1150^{\circ}C$  - cu palier de 30 minute, răcire în cuptor și măcinare pînă la suprafață specifică de  $3100 \text{ cm}^2/\text{g}$ .

In mod similar și la aceeași temperatură de ardere s-a preparat  $C_4AF$ , care s-a măcinat pînă la suprafață specifică de  $3250 \text{ cm}^2/\text{g}$ .  $Fe_2O_3$ , a fost introdus sub formă de pirită.

Silicatul dicalcic s-a preparat din carbonat de calciu și aerosil, prin omogenizare umedă, uscare, brichătare și ardere în cuptor electric la temperatura de  $1450^{\circ}C$  - cu palier de 60 minute. În scopul stabilizării formei  $\beta-C_2S$  în amestecul de materii prime s-a introdus  $0,5\% B_2O_3$ , sub formă de acid boric. După răcire rapidă proba s-a măcinat pînă la o suprafață specifică de  $3740 \text{ cm}^2/\text{g}$ .

După măcinare toți cei trei compuși mineralogici ( $C_{11}A_7 \cdot CaCl_2$ ,

$\text{C}_4\text{AF}$  și  $\beta\text{-C}_2\text{S}$ ) au fost supuși analizei fazale prin difracție X, dovedindu-se că aceștia sunt roentgenografic puri.

In continuare s-a trecut la prepararea unor amestecuri din cele trei minerale, în proporție variabilă. Amestecurile s-au emogenizat manual, în mojar de porțelan, apoi s-au supus determinării proprietăților hidraulice. Compoziția amestecurilor studiate este prezentată în figura 24. Proprietățile hidraulice ale amestecurilor studiate sunt prezentate în tabelul 28. Rezistențele mecanice s-au determinat pe micropruvete, confectionate din pastă și păstrate în mediu umed.

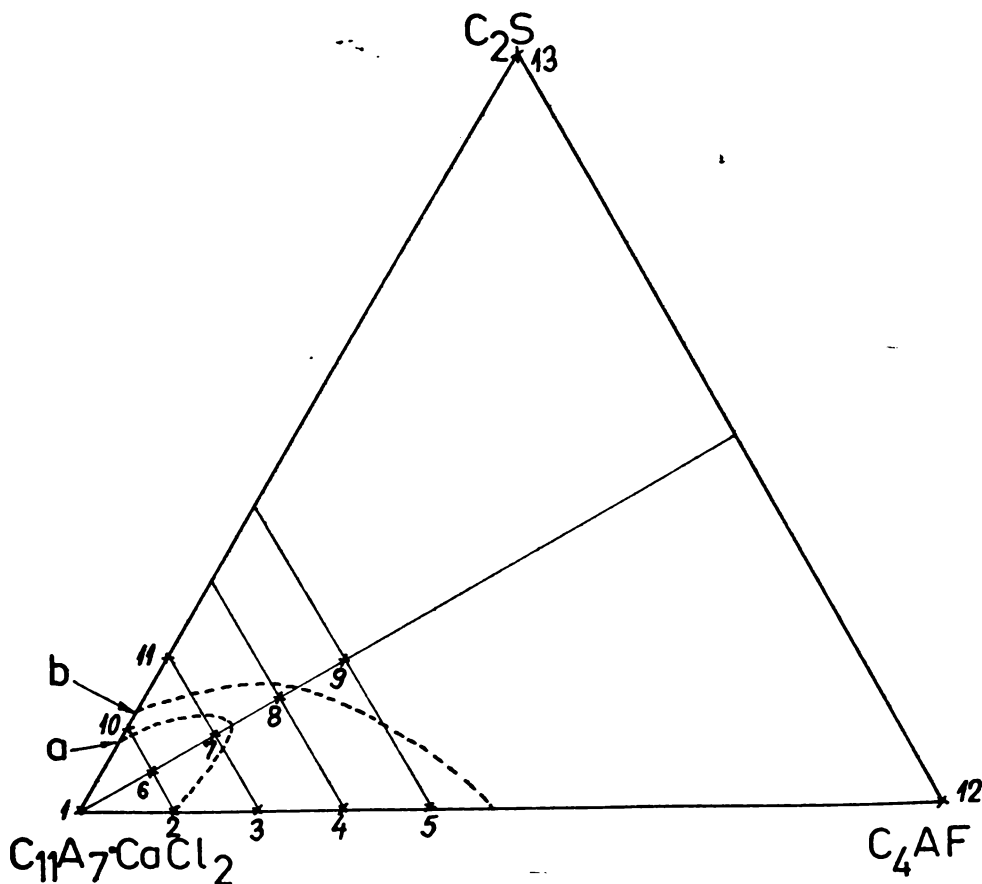


Fig. 24. Compoziția amestecurilor studiate, în diagrama  $\text{C}_{11}\text{A}_7\text{CaCl}_2\text{-C}_4\text{AF-C}_2\text{S}$ .

a)  $R_{28} = 600 \text{ daN/cm}^2$ ; b)  $R_{28} = 450 \text{ daN/cm}^2$ .

Tabelul 23.

Nr. probă	Compoziția sustecurilor	Temperatură în probă (°C)			Temperatură în camera de testare (°C)	Durată de testare (min)	Rezistențe mecanice la compresiune (kg/cm²)			
		100	120	140			1 st	3 zile	7 zile	28 zile
1	100	-	-	21	46	0,33	502	606	701	566
2	90	10	-	24	55	0,33	522	633	713	601
3	80	20	-	35	60	0,33	505	617	682	569
4	70	30	-	35	65	0,33	411	537	675	537
5	60	40	-	35	65	0,33	424	437	507	513
6	50	5	5	45	120	0,325	470	725	616	770
7	80	10	10	50	125	0,325	468	763	577	626
8	70	15	15	95	130	0,325	510	691	545	665
9	60	20	20	105	150	0,325	586	587	542	497
10	90	-	10	80	150	0,30	499	816	663	662
11	80	-	20	-	-	0,30	-	285	316	394
12	-	100	-	25	50	0,40	192	144	206	252
13	-	-	100	-	-	0,295	-	-	238	270

Dacă se adaugă clorocaluminat de calciu prezintă întărire rapidă, să se folosească ca adăos întrăriector acidul boric în proporție de 0,5%, calculat față de cantitatea de  $C_{11}A_7 \cdot CaCl_2$  din amestec. Acest adăos să se folosească pe baza rezultatelor prezentate în cap. 4.4., urmărindu-se realizarea unui început de priză peste 20 minute.

Pe baza rezultatelor prezentate se pot face următoarele observații:

- Probele 1...5 arată că o dată cu creșterea conținutului de  $C_4AF$  scade vîrteza de interacțiune cu apa, dar foarte puțin. Toate aceste amestecuri prezintă întărire rapidă și rezistențe ridicate după o zi de hidratare (peste 400 daN/cm<sup>2</sup>). Creșterea conținutului de  $C_4AF$  pînă la 20% este însoțită de o creștere a rezistențelor mecanice față de  $C_{11}A_7 \cdot CaCl_2$  singur. Valoarea maximă a rezistențelor mecanice corespunde unui conținut de 10%  $C_4AF$ . Amestecurile cu conținut de 30 și 40%  $C_4AF$  se caracterizează prin rezistențe mecanice mai slabe decît  $C_{11}A_7 \cdot CaCl_2$ . De remarcat este faptul că probele 1...5 prezintă o scădere a rezistențelor mecanice în intervalul 7...28 zile.

- Probele 6...9, constituite din amestecul celor 3 compuși mineralogici în proporții variabile, arată că o dată cu creșterea conținutului de  $\beta\text{-}C_2S$  scade vîrteza de interacțiune cu apa, apreciată prin timpul de priză. Rezistențele mecanice după o zi de întărire se mențin însă ridicate. Cele mai bune rezultate le prezintă amestecul nr.6 - cu conținut de 5%  $C_4AF$  și 5%  $\beta\text{-}C_2S$ .

- Proba nr.10 pune în evidență un efect favorabil asupra proprietăților hidraulice ale  $C_{11}A_7 \cdot CaCl_2$  chiar și a unui adăos de 10%  $\beta\text{-}C_2S$ . Depășirea acestui conținut duce la amestecuri cu întărire prea lentă și rezistențe mecanice mai slabe.

In figura 24 sunt prezentate și curbele de egală rezistență mecanică, după 28 de zile de hidratare, ale amestecurilor celor trei minerale - caracterizate prin conținutul ridicat de clorocaluminat.

Pornind de la aceste rezultate în etapa a doua a lucrării s-a trecut la prepararea unor cimenturi cu conținut de  $C_{11}A_7 \cdot CaCl_2$  alături de  $C_4AF$  și  $\beta\text{-}C_2S$ , în proporții variabile, pornind de la amestecuri de materii prime compuse din  $CaCO_3$ ,  $Al_2O_3$ ,  $Fe_2O_3$ ,  $SiO_2$  și  $CaCl_2$ .

Materiile prime s-au dozat conform compozițiilor prezentate

în tabelul 29, apoi au fost supuse omogenizării umede, uscării și brișcatării sub formă de cilindri cu  $\phi = 40$  mm și  $h = 30-40$  mm, sub o presiune de 100 daN/cm<sup>2</sup>, folosind ca liant o soluție de dextrină 10% (adăos 3%). Brișcatele s-au ars la temperatură de 1150 °C, cu palier de 30 minute, urmat de răcire în cuptor și apoi măcinare în moara planetară.

Pentru comparație între cimenturile pe bază de clorcaluminat și cele pe bază de fluorocaluminat s-au preparat și trei amestecuri (10, 11 și 12 din tabelul 29) în care în locul  $\text{CaCl}_2$  s-a introdus  $\text{CaF}_2$ , /173/.

După măcinare cimenturile au fost supuse analizei fazale RX și determinării proprietăților hidraulice. De menționat că analiza fazelor RX a pus în evidență în toate probele o singură fază, cu spectru de difracție identic cu al  $\text{Ca}_{11}\text{Al}_7\text{CaX}_2$ , ceea ce dovedește că  $\text{SiO}_2$  și  $\text{Fe}_2\text{O}_3$  au fost inclusi în rețea cristalină a halogenocaluminatului, cu formarea unor soluții solide halogenocaluminatice. Pentru exemplificare, în figura 23 sunt prezentate spectrele de difracție RX a probelor 1, 4 și 7.

Resistențele mecanice s-au determinat pe micropruvete, confectionate din pastă și păstrate în mediu umed. Resultatele obținute sunt prezentate în tabelul 29.

Acstea rezultate permit următoarele observații:

- Cimenturile pe bază de clorcaluminat de calciu, obținute prin arderea unor amestecuri de materii prime cu conținut de  $\text{SiO}_2$  și  $\text{Fe}_2\text{O}_3$  prezintă interacțiune cu apa mai lentă decât amestecurile celor trei minerale ( $\text{Ca}_{11}\text{Al}_7\text{CaCl}_2$ ,  $\text{Ca}_4\text{AlF}_6$  și  $\text{Ca}_2\text{S}$ ) sintetizate anterior, nemaifiind necesară utilizarea unor adăsuri întărietoare. Aceste cimenturi sunt formate din soluții solide halogenocaluminatice care includ în rețea cristalină  $\text{Fe}_2\text{O}_3$  și  $\text{SiO}_2$ , cu influență favorabilă pronunțată asupra proprietăților hidraulice.

- Majoritatea cimenturilor obținute prezintă rezistențe mecanice inițiale ridicăte. Creșterea conținutului de  $\text{SiO}_2$  are o acțiune încetinitoare a vitezei de interacțiune cu apa a cimentului cu mult mai pronunțată decât creșterea conținutului de  $\text{Fe}_2\text{O}_3$ . Cimenturile cu 10%  $\text{SiO}_2$  (nr.5), respectiv cu 8%  $\text{SiO}_2$  și 8%  $\text{Fe}_2\text{O}_3$  (nr.8) dezvoltă rezistențe mecanice mici (50 și respectiv 23 daN/cm<sup>2</sup>) după o zi de întărire, dar rezistențele după 28 zile sunt ridicate.

Nr. element	Compozitie amestecurilor					Suprafata specifica (cm <sup>2</sup> /g)	Raport g	Timp de presare (minute)	Rezistenta mecanica la comprese (daN/cm <sup>2</sup> )			
	Cao Al <sub>2</sub> O <sub>3</sub>	CaCl <sub>2</sub>	CaF <sub>2</sub>	SiO <sub>2</sub>	Fe <sub>2</sub> O <sub>3</sub>				1 st	2nd	3rd	
1	11	7	1,5	-	-	3193	0,30	40	60	415	519	548
2	11	7	1,5	-	-	3905	0,30	55	150	404	503	599
3	11	7	1,5	-	8,0	3850	0,30	60	185	360	512	621
4	11	7	1,5	-	10,0	3140	0,27	60	120	524	563	477
5	11	7	1,5	-	10,0	-	3064	0,25	150	200	50	251
6	11	7	1,5	-	1,75	3,3	3820	0,325	60	180	435	571
7	11	7	1,5	-	3,5	1,65	3880	0,30	60	140	515	750
8	11	7	1,5	-	8,0	8,0	3621	0,27	180	220	23	159
9	11	7	-	1,5	-	-	3150	0,37	15	30	331	460
10	11	7	-	1,5	-	10,0	3100	0,27	45	100	244	355
11	11	7	-	1,5	20,0	-	3164	0,25	90	175	101	279
12	11	7	-	1,5	8,0	8,0	3160	0,26	130	210	141	223

\*Conținutul de SiO<sub>2</sub> și Fe<sub>2</sub>O<sub>3</sub> este exprimat în % față de masa C<sub>11</sub>A<sub>7</sub>•CaX<sub>2</sub> considerată ca 100%.

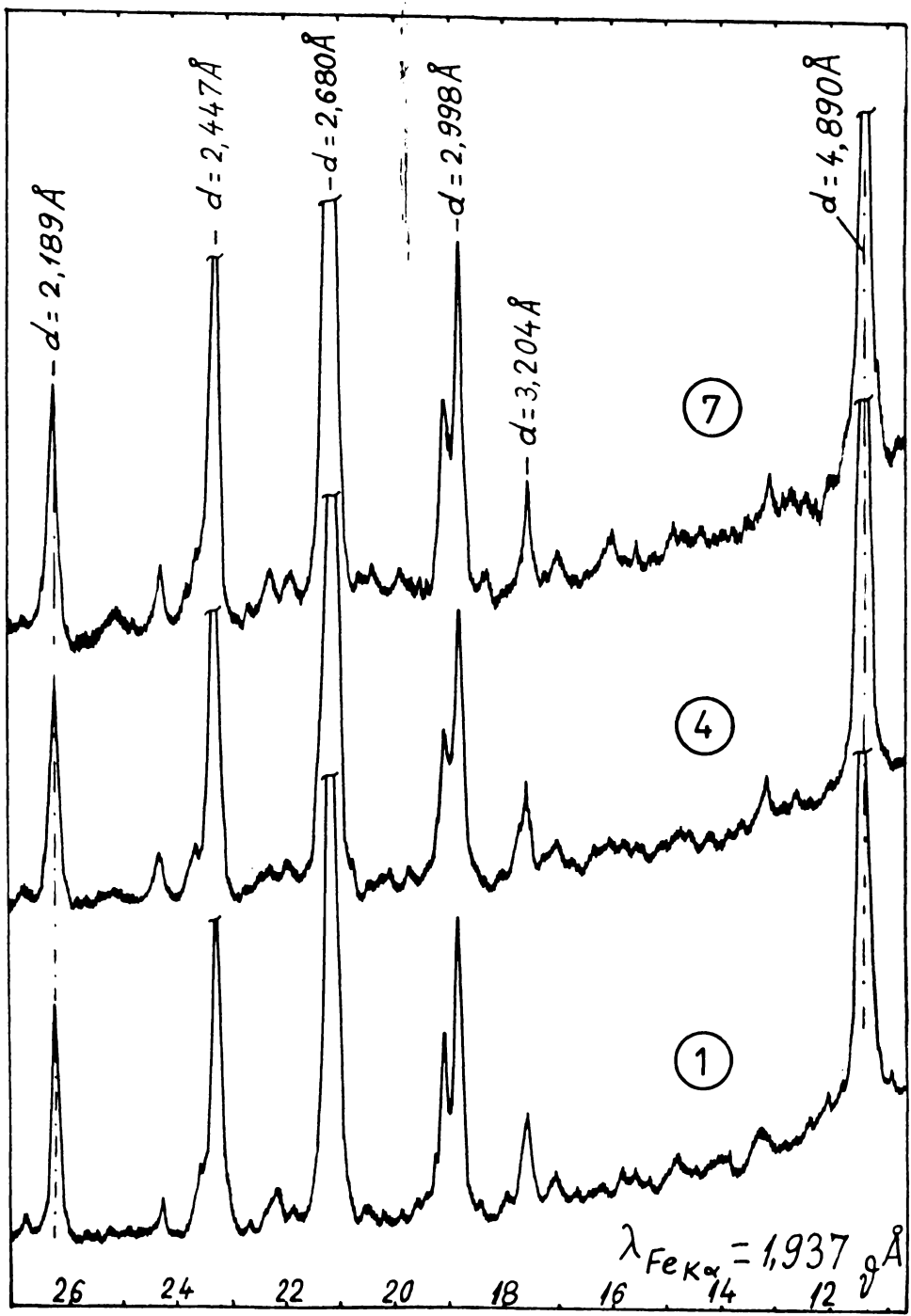


FIG. 25. Spectrele de difractie RX ale probelor 1, 4 si 7 după ardere la  $1150^{\circ}\text{C}$ .

- Cimenturile pe bază de  $C_{11}A_7 \cdot CaF_2$  dezvoltă rezistențe mecanice mai mici decât cele similare, dar pe bază de  $C_{11}A_7 \cdot CaCl_2$ . De menționat că acțiunea  $SiO_2$  este mai puțin pronunțată asupra  $C_{11}A_7 \cdot CaF_2$  decât asupra  $C_{11}A_7 \cdot CaCl_2$ .

#### In concluzie:

Cimenturile realizate de noi se caracterizează prin temperatură joasă de ardere ( $1150^{\circ}C$ ) și prin compozitie mineralogică simplă - analiza fază RX pune în evidență o singură fază,  $C_{11}A_7 \cdot CaX_2$ , - ceea ce le diferențiază net față de alte cimenturi prezентate în literatură, care contin  $C_{11}A_7 \cdot CaX_2$  alături de alți compuși mineralogici și se obțin la temperaturi mai ridicate. În ce privește materiile prime ce pot fi utilizate la obținerea acestor cimenturi, acestea sunt condiționate doar de posibilitatea realizării compozitiilor chimice indicate.  $SiO_2$  și o parte din  $Al_2O_3$  se poate introduce sub formă de minerale argiloase sau tuf. Ca surse de  $Al_2O_3$  și de asemenea de  $Fe_2O_3$ , și  $SiO_2$  se pot folosi bauxite.

Nu am avut posibilitatea realizării acestor cimenturi la scară industrială, dar putem aprecia că aceasta nu implică dificultăți tehnologice deosebite, în afara asigurării compozitiei chimice a amestecului de materii prime, întrucât cantitatea de fază lichidă care apare la ardere este foarte mică - nici nu determină deformarea epruvetelor în cazul arderii acestora într-un cupor electric, iar măcinarea este relativ ușoară, epruvetele fiind friabile.

Cimenturile realizate nu necesită adăosuri întăriștoare întrucât viteză de interacțiune cu apa a acestor cimenturi se poate regla în limite largi prin conținutul de  $Fe_2O_3$  și  $SiO_2$  din amestecul de materii prime.

Deglă există încă multe probleme nerezolvate privind obținerea și experimentarea la scară industrială a cimenturilor propuse de noi, considerăm că rezultatele obținute la scăă de laborator arată că aceste cimenturi reprezintă un progres evident față de realizările existente pînă la această oră în acest domeniu, și ele constituie obiectul unei cereri de brevet /173/.

**Cap. 7. OPTINEREA UNOR CIMENTURI ALBE CU TEMPERATURA  
JOASA DE ARDERE, PE BAZA DE  $C_{11}Al_7CaX_2$**

Pornind de la rezultatele prezentate în cap. 6, care au arătat posibilitatea roglării vitezei de interacțiune cu apa a halogenoaluminatilor de calciu prin adăos de  $SiO_2$  și  $Fe_2O_3$ , în amestecul de materii prime, concomitent cu îmbunătățirea rezistențelor mecanice ale cimenturilor obținute, făță de toate rezultatele anterioare, s-a urmărit în continuare realizarea unor cimenturi pe baza de soluții solide halogenoaluminatice care să nu contină  $Fe_2O_3$  și să prezinte un grad de alb mai ridicat.

În acest scop s-a studiat asocierea  $SiO_2$  cu  $MgO$  aceștia fiind oxizi care pot fi introdusi în mod normal în amestecul de materii prime, prin însăși prezența lor în unele materii prime.  $MgO$  s-a menținut constant în compoziția amestecurilor, el provenind din calcarul utilizat ca materie primă, care a văzut compozitia:  $CaO = 54,76\%$ ,  $MgO = 0,86\%$ ,  $SiO_2 = 0,4\%$ , P.C. = 43,97%. Excepție fac amestecurile 5 și 6 în care conținutul de  $MgO$  s-a realizat prin adăos de  $MgO$ .

$Al_2O_3$  s-a introdus sub formă de alumini calcinat, iar  $SiO_2$  sub formă de făină de silice (cuart).

Materiile prime au fost dozate conform compozitiilor prezentate în tabelul 30, /174/, omogenizate usor (în moară planetară cu corpuri și bile din alumini sintetizat) uscate, brișcate sub formă de cilindri cu  $\varnothing = 40$  mm și  $h = 30 - 40$  mm, sub o presiune de 100 daN/cm<sup>2</sup> și apoi arse. Briștele s-au ars în cuptor cu bare de  $SiC$ , la temperatură de  $1150^{\circ}C$  în cazul probelor cu conținut de  $CaCl_2$  și la  $1250^{\circ}C$  în cazul probelor cu conținut de  $CaF_2$ , cu palier de 30 minute, urmat de răcire în cuptor. Minimarea s-a realizat în moară planetară, cu corpuri și bile din alumini sintetizat pentru evitarea impurificării cimentului.

Gradul de alb al cimenturilor obținute s-a determinat în raport cu etalonul de  $MgO$ , folosind un spectrofotometru de reflexie SPEKOL 10.

Analiza fazelor RX a pus în evidență o singură fază,  $C_{11}Al_7CaX_2$ , în toate probele aceea ce dovedește că  $SiO_2$  și  $MgO$  adăugăti să fie incluși în rețeaua cristalină a halogenoalumi-

Tabelul - 30

Nr. dint imis	Concentrație Bazelor metale			Supra- față speci- fică ( $\text{cm}^2/\text{g}$ )	Grad de absor- ție (%) <sup>a</sup>	Report A	Temperatură în experiment: zile 107	Rezistențe la compresiune (daN/ $\text{cm}^2$ )				
	MgO	Al <sub>2</sub> O <sub>3</sub>	CaCO <sub>3</sub>					zile 107	zile 110	zile 116		
0	11	7	1,5	-	0,67	3289	92	0,425	4	12	248	
1	11	7	1,5	-	3	0,67	3256	92	0,29	45	75	358
2	11	7	1,5	-	6	0,67	3243	93	0,27	60	135	464
3	11	7	1,5	-	9	0,67	3421	92	0,26	105	180	590
4	11	7	1,5	-	12	0,67	3222	93	0,25	135	210	341
5	11	7	1	-	6	1,50	3495	94	0,305	180	285	217
6	11	7	0,75	-	6	1,00	3250	94	0,30	90	150	304
7	11	7	-	1,5	6	0,69	3400	-	0,385	105	150	260
8	11	7	-	1,5	12	0,69	3507	-	0,401	250	195	107
											143	264
											278	-

<sup>a</sup>Conținutul de MgO și SiO<sub>2</sub> este exprimat în % față de masa hidrogenatului netutur (Ca<sub>11</sub>Al<sub>7</sub>SiX<sub>2</sub>) considerat ca 100%.

naților de calciu, cu formarea unor soluții solide halogenocaluminatice.

Resistențele mecanice s-au determinat pe microspravete confectionate din pastă și păstrate în mediu umed. Resultatele obținute sunt prezentate în tabelul 30.

Aceste rezultate permit următoarele observații:

- Cimenturile pe bază de soluții solide halogenocaluminatice cu conținut de  $\text{SiO}_2$  și  $\text{MgO}$  prezintă grad de alb ridicat (92-94% față de etalonul de  $\text{MgO}$ ) și se obțin prin ardere la temperaturi joase ( $1150\text{-}1250^\circ\text{C}$ ). Gradul de alb este condiționat de puritatea materiilor prime colportocare de  $\text{CaO}$  și  $\text{Al}_2\text{O}_3$ . De reținut însă că prezenta  $\text{CaCl}_2$  în amestecul de materii prime manifestă și o acțiune de ridicare a gradului de alb prin îndepărțirea parțială a fierului provenit din materiile prime, prin volatilizarea acestuia sub formă de  $\text{FeCl}_3$ .

- Cimenturile pe bază de cloroaluminat de calciu dă rezistențe mecanice mai bune decât cele pe bază de fluoroaluminat de calciu și în plus prezintă și avantajul că se obțin la temperaturi mai joase.

- Viteza de interacțiune cu apa a cimenturilor pe bază de soluții solide halogenocaluminatice se poate regla în limite largi prin conținutul de  $\text{SiO}_2$  și  $\text{MgO}$ , permitând evitarea utilizării adosurilor întărietoare, iar rezistențele mecanice atât inițiale cât și finale sunt ridicate.

**Cap.8. STUDIUL PROCESELOR DE HIDRATARE ALE  
CIMENTURILOR HALOGENCALUMINATICE OBTINUTE**

Pernind de la rezultatele prezentate în cap.6 și cap.7 care au arătat că se pot obține halogencaluminati de calciu, respectiv soluții solide halogencaluminatice, cu timp de priză regabil în limite largi, folosind diverse adăosuri oxidice ( $\text{SiO}_2$ ,  $\text{Fe}_2\text{O}_3$ ,  $\text{MgO}$ ) în amestecul de materii prime, în continuare s-a urmărit studiul comparativ al proceselor de hidratare în funcție de compozită a acestor faze halogencaluminatice, cu scopul corelärii rezistențelor mecanice dezvoltate cu procesele și produsii de hidratare.

S-au luat în studiu probele 0, 2, 4, 7 și 8 (din tabelul 30) întrucât acestea au prezentat proprietăți hidraulice mult diferite, deși din punct de vedere al compozităi fazale acestea sunt foarte apropriate - în toate prin difracție X a fost pusă în evidență o singură fază,  $\text{Ca}_{11}\text{Al}_7\text{O}_{12}$ .

Folosind același mod de lucru și același materii prime ca în cap.7 s-au preparat probele necesare studiului. Temperatura de ardere a fost  $1150^{\circ}\text{C}$  pentru probele 1, 2 și 4 și  $1250^{\circ}\text{C}$  pentru probele 7 și 8. După sinteza probele au fost măcinate și apoi au fost supuse studiului proprietăților hidraulice.

Rezistențele mecanice s-au determinat pe microspruvete confectionate din pastă și păstrate în mediu umed. Valorile obținute sunt date, în paranteză, în tabelul 31, /175/.

După încercarea spruvetelor la compresiune, s-a stopat procesul de hidratare prin spălare cu alcool etilic absolut și apoi cu eter etilic, urmată de uscare la  $80^{\circ}\text{C}$ , după care au fost supuse studiului prin analiză derivatografică, difracțometrie X și microscopie electronică. În mod similar s-au preparat și probe pentru care procesul de hidratare s-a stopat după termene mai mici decit cele corespunzătoare determinării rezistențelor mecanice (30 minute, 60 minute și 3 ore).

Din curbele TG ale derivatogramelor obținute s-a calculat cantitatea de apă legată după diferite termene de hidratare, pentru diverse compozităi ale halogencaluminatilor, valorile obținute fiind prezentate în tabelul 30, iar curbele ATD sunt prezentate în figurile 23, 24 și 25.

Tabelul 3

Nr. cîr de Gao 11203	Compoziția smelteșurilor raport polar CaCl <sub>2</sub> -CaF <sub>2</sub> (%) <sup>a</sup>	Sulfatul NaCl (%)	Suprafața specifică (m <sup>2</sup> /g)	Temperatură (°C)	Timp de prăjire (min)		Apa liberă (%)		Resist. mecanice la compresiune - N/mm <sup>2</sup>	
					30	60	3	24	7	28
0	11 7 1,5 -	- - - 0,67	3289	0,425	4	12	6,5 7,0 14,5 26,0	25,0 27,8 30,0	37,8 37,8 37,8 37,8	37,8 37,8 37,8 37,8
1	11 7 1,5 -	- - - 0,67	3243	0,270	60	135 1,5 2,5 3,25	19,0 19,0 19,0 19,0	27,0 27,0 27,0 27,0	27,0 27,0 27,0 27,0	
2	11 7 1,5 -	- - - 0,67	3222	0,250	135	210 1,2 1,8 12,6	16,5 16,5 16,5 16,5	19,5 19,5 19,5 19,5	19,5 19,5 19,5 19,5	
3	11 7 1,5 -	- - - 0,69	3400	0,385	105	210 (-) (341) (536)	22,0 - (627) (636)	26,5 27,0 27,0 27,0	26,5 27,0 27,0 27,0	
4	11 7 1,5 -	- - - 0,69	3707	0,410	210	195 (-) (260) (245)	20,0 - (305) (390)	27,0 29,5 29,5 29,5	27,0 29,5 29,5 29,5	
5	11 7 1,5 -	- - - 0,69	3707	0,410	210	195 (-) (143) (107)	20,0 - (305) (490)	27,0 29,5 29,5 29,5	27,0 29,5 29,5 29,5	
6	11 7 1,5 -	- - - 0,69	3707	0,410	210	195 (-) (143) (107)	20,0 - (305) (490)	27,0 29,5 29,5 29,5	27,0 29,5 29,5 29,5	

<sup>a</sup> Cantitățile de NaCl și SiO<sub>2</sub> este exprimat în % rapă de masa halogenocaluminatului (Ca<sub>11</sub>A<sub>7</sub>.CaF<sub>2</sub>) considerat ca 100%.

Aceste rezultate permit următoarele observații:

- Viteza de interacțiune cu apa, apreciată prin timpul de prind și cantitatea de apă legată la primele termene, scade în ordinea 0 → 2 → 4 (pentru probele pe bază de  $C_{11}A_7 \cdot CaCl_2$ ).

- Probele pe bază de  $C_{11}A_7 \cdot CaCl_2$  prezintă viteză de interacțiune cu apa mai mică decât probele similare, pe bază de  $C_{11}A_7 \cdot CaF_2$  (7 și 8).

- Curbele ATD în cazul probei 0 (fig.25) după 30 și 60 minute de hidratare pun în evidență un foarte slab caracter cristalin al produsilor de hidratare dovedit de poziția picurilor endotermă - apropiate de  $100^{\circ}C$ , alături de un efect endoterm slab la aprox.  $290^{\circ}C$ . Aceste efecte endotermă ar putea fi atribuite eventual hidroaluminatului de calciu hexagonal  $CAH_{10}$ , slab cristalizat, a cărui prezență ar putea fi corelată cu efectul endoterm de la  $610-690^{\circ}C$  atribuit hidroxidului de calciu rezultat alături de  $CAH_{10}$  (la hidratarea  $C_{11}A_7 \cdot CaCl_2$ ). Deplasarea efectului endoterm corespunzător pentru  $Ca(OH)_2$  la temperaturi mai mari decât cele obișnuite se poate explica printr-o ușoară carbonatare precum și prin conductibilitatea termică mică a probei.

- După 24 ore și mai ales după 3 zile și 7 zile de hidratare în probe se pune în evidență  $C_4AH_{13}$ , caracterizat prin deshidratarea în trepte: efecte endotermă la  $140 \dots 170^{\circ}C$  și la  $270 \dots 305^{\circ}C$ . Efectele exotermă care apar la temperaturi mai ridicate pot fi puse pe seama proceselor de cristalizare ale produsilor de deshidratare.

- Curbele ATD în cazul probei 2 (fig.26) după 30 minute, 60 minute și 3 ore de hidratare dovedesc în primul rând un grad de hidratare foarte redus, fără a permite o individualizare a produsilor de hidratare. După 3 zile și mai ales 7 zile de hidratare în probe este semnalat hidroaluminatul de calciu hexagonal,  $C_4AH_{13}$ , alături de  $CAH_{10}$ .

- Curbele ATD ale probei 4 (fig.27) sunt asemănătoare cu ale probei 2.

De menționat este faptul că deși curbele ATD ale celor trei probe pun în evidență deosebiri între acestea, în special între 0 și 2, ele nu permit totuși explicarea diferențelor mari între rezistențele mecanice a celor trei probe. Aceasta și deoarece faptul că în intervalul  $140 \dots 300^{\circ}C$  efectele endotermă ale hidroaluminatilor hexagonali ( $CAH_{10}$  și  $C_4AH_{13}$ ) se

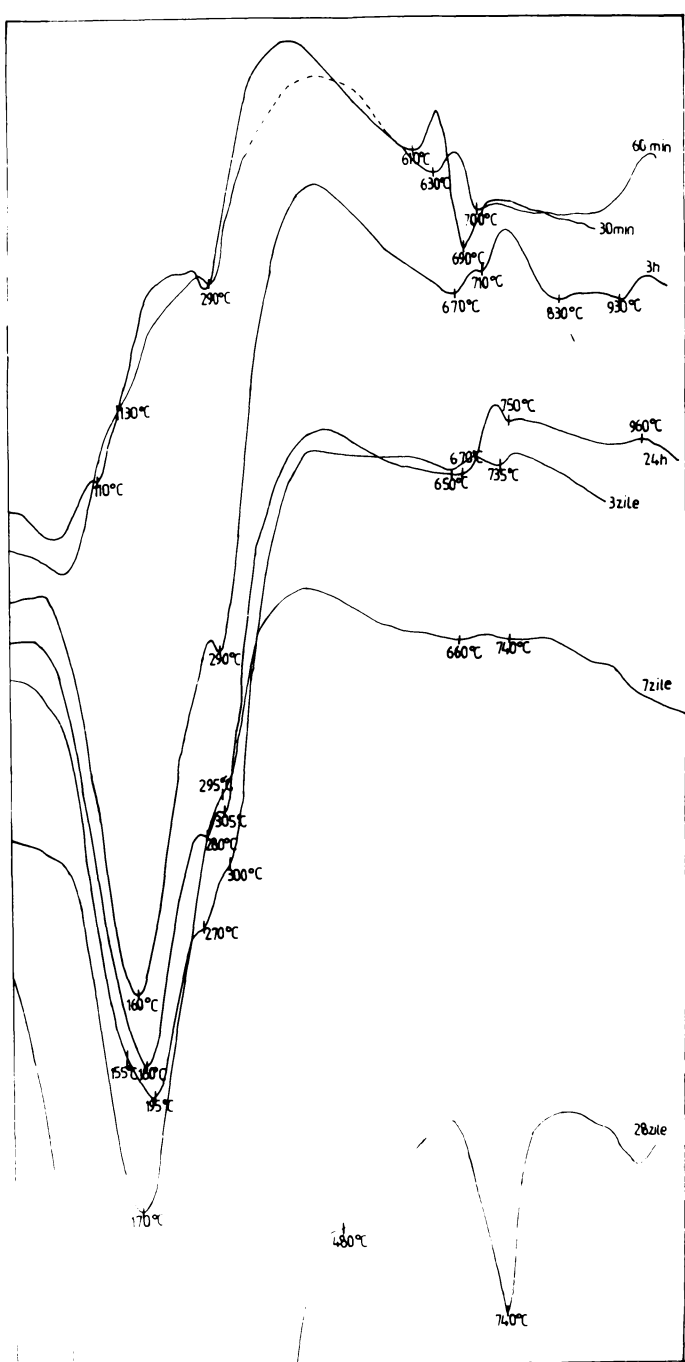


Fig.25. Curbile ATD ale probei 0 după diferite termene de hidratare.

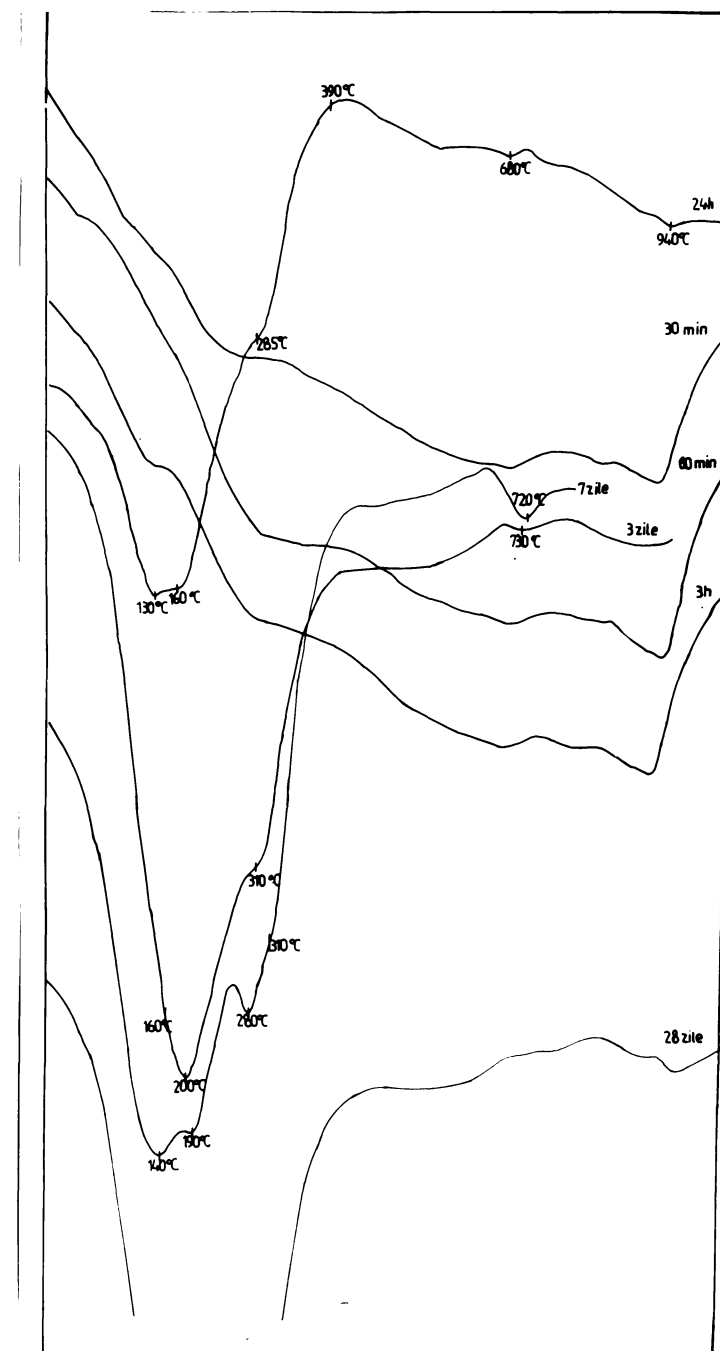
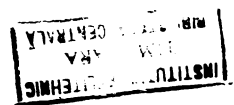


Fig.26. Curbele ATD ale probei 2 după diferite termene de hidratare.



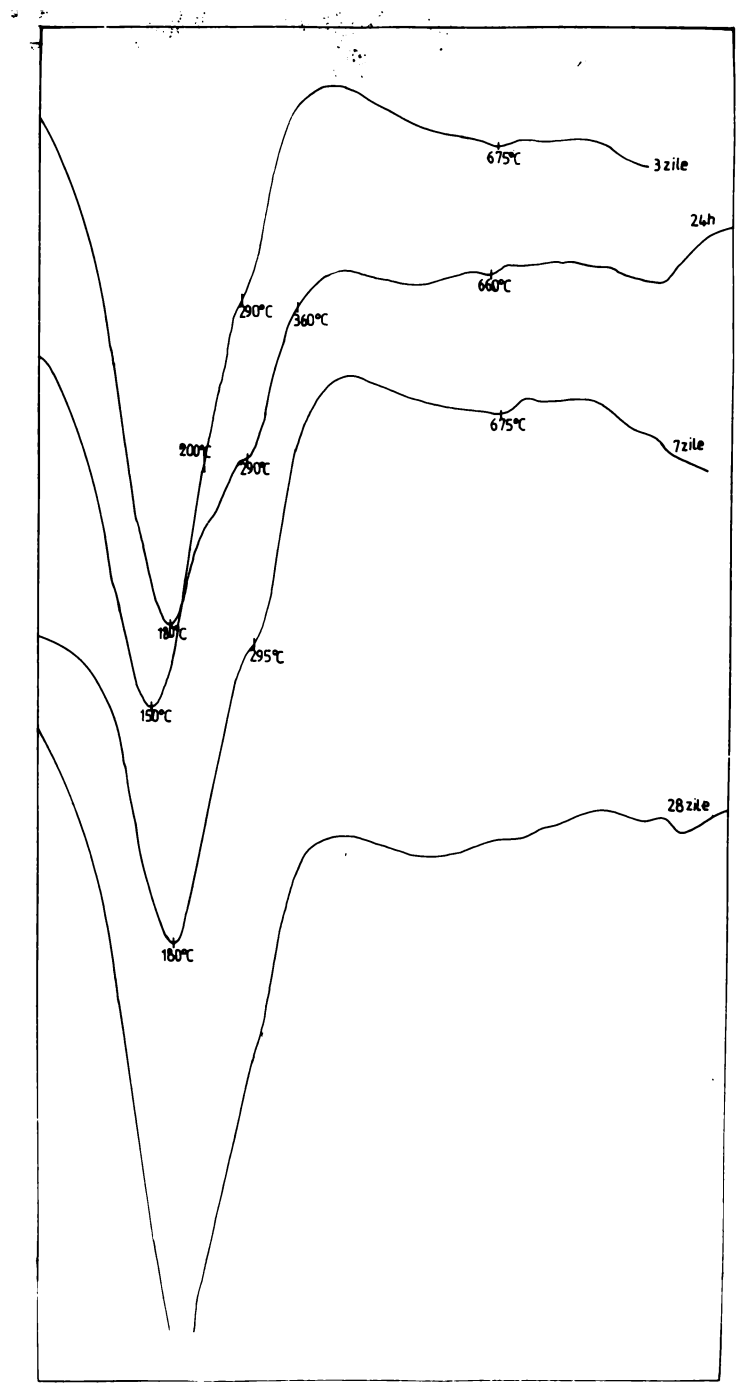


Fig.27. Curbele ATD ale probelor 4 după diferite termene de hidratare.

suprapun în mare măsură făcând dificilă o apreciere a raportului cantitativ al acestora. Un lucru sigur însă este lipsea hidroaluminatului cubic,  $C_3AH_6$ , în toate probele, care ar trebui să prezinte un efect endoterm la 530-560 °C.

Analiza fazală prin difracție RX, a probelor 0, 2 și 4, după 7 zile de hidratare (fig.28) pune în evidență în toate cele trei probe hidroaluminatii hexagonali:  $CAH_{10}$  și  $C_4AH_{13}$ , alături de  $C_{11}A_7 \cdot CaCl_2$  încă nehidratat. Probele diferă însă prin raportul cantitativ al acestor faze:

$$\frac{I_{C_4AH_{13}}(6,90^\circ)}{I_{CAH_{10}}(7,75^\circ)} = 2,185 (\text{în proba 0}); 0,712 (\text{în 2}); 0,780 (\text{în 4})$$

În proba 0 raportul intensităților maximelor de difracție ale  $C_4AH_{13}/CAH_{10}$  este cel mai mare și de asemenea proporția în găsbit este cea mai mare.

Probele 0, 2 și 4, după 7 zile de hidratare au fost supuse de asemenea studiului prin microscopie electronică folosind microanalizorul JEOL JXA-50A. Imaginele SEI ale probelor sunt prezentate în figurile 29, 30 și 31. Aceste imagini pun în evidență cel mai bine diferențele mari dintre cele trei probe, în concordanță cu diferențele dintre rezistențele mecanice; în probele 0 și 2 se observă clar cristalele hexagonale tabulare de hidroaluminat de calciu, dar dezvoltarea lor este net mai pronunțată în proba 2, caracterizată și printr-o distribuție uniformă a fazelor cristaline și un grad avansat de impinsuire a acestora.

În cazul probei "2" s-a încercat de asemenea să se stabilească modul de repartizare a clorului în producții de hidratare. În acest scop s-a realizat imaginea RX de distribuție a clorului în această probă (fig.32a). Cerează că această imagine cu imaginea SEI a probei, la același grad de mirire (și în același loc - fig.32b), se poate trage concluzia că halogenul este repartizat în fază gelată, probabil sub forma unui clorohidroxid de aluminiu,  $Al(OH)_pCl_q$ , așa cum se arată și în /103/.

Tinând cont de toate rezultatele obținute în studiul produsilor de hidratare a probelor pe bază de halogenoaluminat de calciu, cu conținut variabil de  $SiO_2$ ,  $Fe_2O_3$ ,  $MgO$  se poate formula următoarea imagine asupra procesului de interacțiune cu apa a acestor probe.

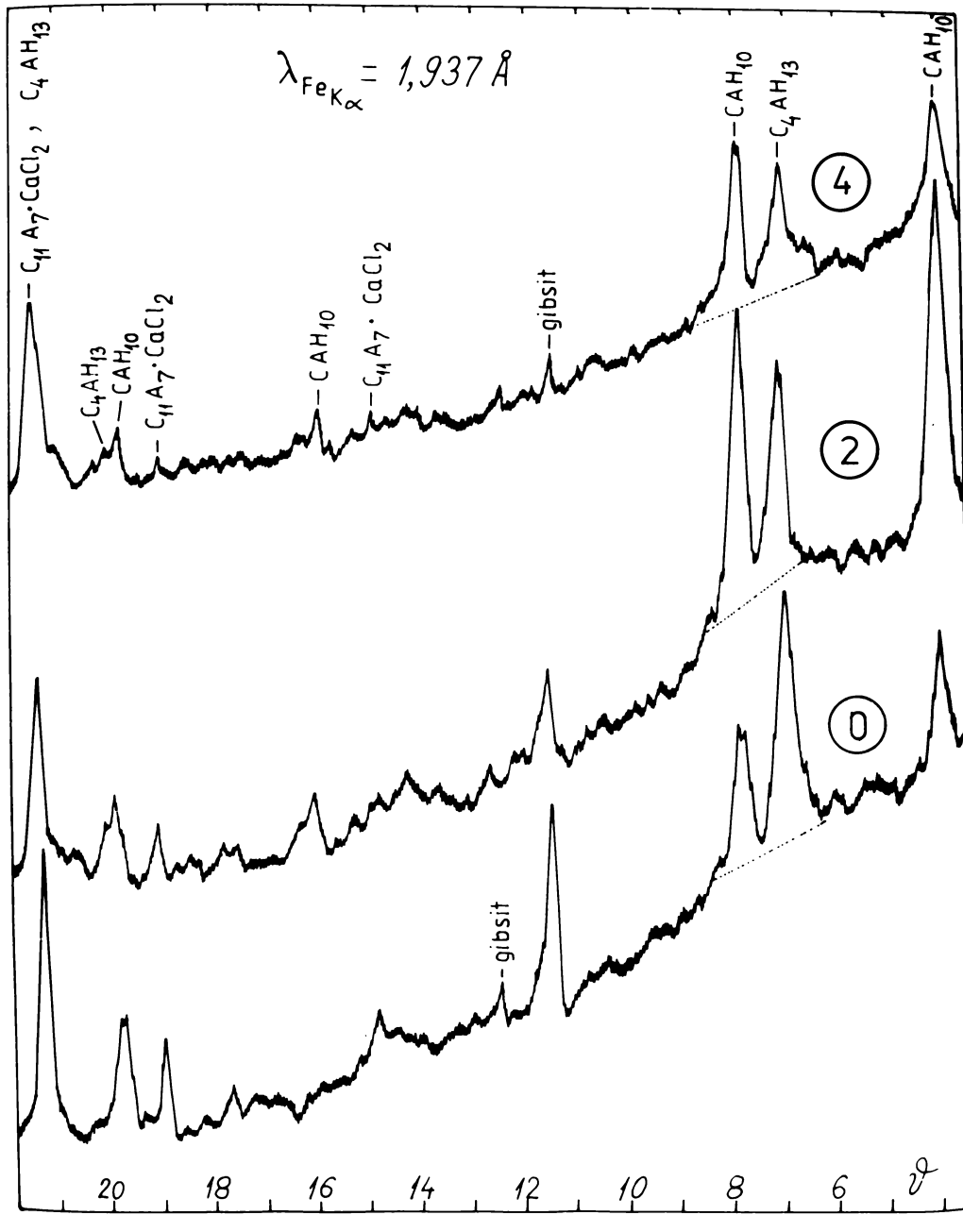


Fig.28. Spectrele de difracție RX ale probelor 0, 2 și 4 după 7 zile de hidratare.

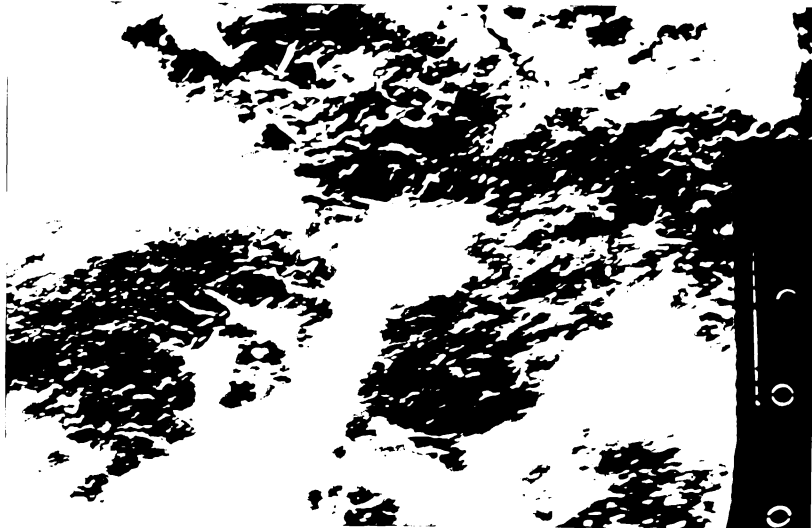


FIG.29. Micrografia probei "0" după 7 zile de hidratare, SEM 1000 x.



FIG.30. Micrografia probei "2" după 7 zile de hidratare, SEM 1000 x.

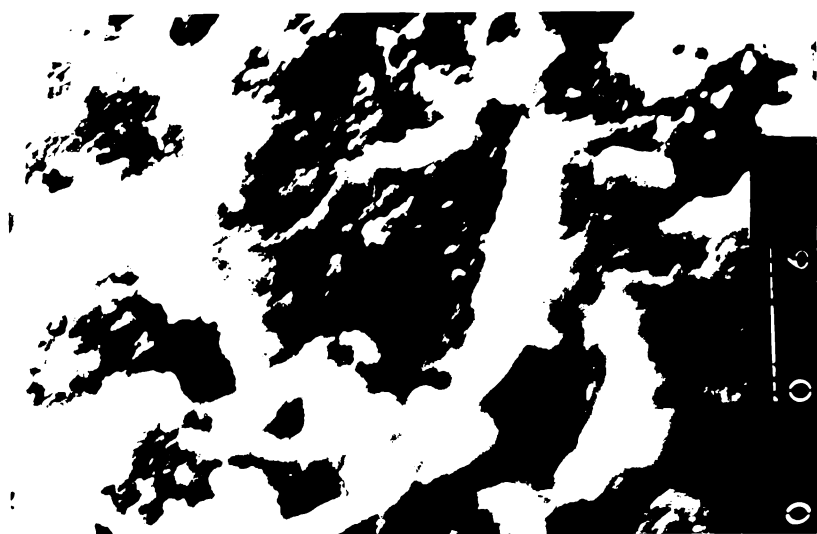


Fig.31. Micrografie probei "4" după 7 zile de hidratare, SEM 1000 x.

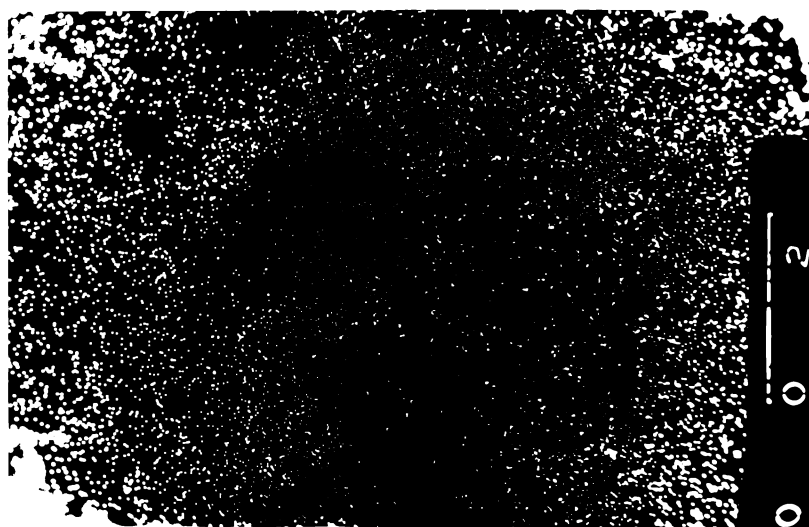


Fig.32a. Micrografie probei "2" după 7 zile de hidratare, imagine RX 100 x.



Fig.32b. Micrografie probiei "3" după 7 zile de hidratare, 100 x.

Proba 3 interactionează cel mai rapid cu apa dovedind ceea mai redusă stabilitate a rețelei cristaline. Prin hidratare, pe lângă  $\text{CaAl}_{10}$  rezultă o mare cantitate de  $\text{C}_4\text{Al}_13$  și implicit o cantitate corespunzătoare de hidroxid de aluminiu, care datorită caracterului său gelic va determina încetinirea treptată a procesului de hidratare (printr-o colmatare a suprafeței particulelor nohidratate) astfel că după 7 zile gradul de hidratare a probei 3 este egală și în continuare depășit de proba 2. Hidroxidul de aluminiu influențează negativ și procesul de creștere a cristalelor de hidroaluminat din proba 0, rezultatul fiind o structură a pietrei de ciment caracterizată prin faze cristaline mai slab dezvoltate, un grad de împăslire mai redus și un raport nefavorabil între fazele cristaline și faza gelică, trăsături reflectate în rezistențe mecanice mai slabe.

Proba 2 se caracterizează prin viteză de interacțiune cu apa, moderată, ceea ce arată că prezența  $\text{SiO}_2$  și  $\text{Al}_2\text{O}_3$  în amestecul de materii prime au dus la formarea unei soluții solide clo-roaluminatice cu rețea cristalină mai stabilă. În cazul acestei probe raportul cantitativ dintre  $\text{CaAl}_{10}$  și  $\text{C}_4\text{Al}_13$  asigură o proporție mai redusă de hidroxid de aluminiu în probă, cristalele de hidroaluminat de calciu fiind mai mari și mai bine împăslite. Textura acestei pietre de ciment o putem aprecia ca optimă și ca

se reflectă în rezistențe mecanice ridicate atât după o zi de întărire cît și după termene mai lungi.

Proba 4 se caracterizează printr-o viteză de hidratare mai lentă decât proba 2, dar și prin rezistențe mecanice mai slabe după o zi de întărire. După termene mai lungi ea dezvoltă însă rezistențe mecanice superioare.

In concluzie:

- Studiul hidratării halogenocaluminatilor de calciu prin analiză derivatografică pune în evidență diferențe între curbele ATD și mai ales între cantitatea de apă legată (curbele TG) după diferite termene de hidratare, în funcție de compoziția halogenocaluminatului. Diferențele între curbele ATD ale probelor 0, 2 și 4 sunt însă mai puțin pregnante decât diferențele între rezistențele mecanice ale probelor, ceea ce sugerează faptul că acestea din urmă sunt cauzate mai ales de textura și dimensiunea fazelor cristaline, precum și de conlucrarea acestora cu faza gelică.

- Hidroaluminatul de calciu cubic  $C_3Al_6$  nu este prezent în nici una din probe, chiar și după 28 zile de hidratare. Produgii cristalini de hidratare, pași în evidență, sunt  $CAH_{10}$  și  $C_4AH_{13}$ , în proporții diferențiate în funcție de compoziția probei supuse hidratării.

- Imaginele de microscopie electronică pun în evidență cel mai bine diferențele dintre textura probelor în curs de hidratare, în funcție de compoziția halogenocaluminatului, permitând înțelegerea diferențelor dintre rezistențele mecanice ale probelor.

## CONCLuzii GENERALE

Obținerea unor cimenturi cu temperatură joasă de ardere și proprietăți hidraulice superioare constituie o problemă de mare actualitate. Dintre acestea, literatura de specialitate acordă un interes aparte cimenturilor cu conținut de halogenoaluminat de calciu,  $C_{11}A_7 \cdot CaX_2$ , fără să prezinte însă date sistematice referitoare la bazele științifice ale obținerii acestor cimenturi și influența condițiilor de obținere asupra proprietăților hidraulice.

Din materialul original prezentat în cadrul acestei lucrări se desprind următoarele contribuții:

1. S-a stabilit că fluoroaluminatul de calciu, definit de obicei în literatură cu formula  $C_{11}A_7 \cdot CaF_2$ , reprezintă de fapt o serie izomorfă continuă între  $C_{11}A_7 \cdot CaF_2$  și  $C_{12}A_7$ , ceea ce se poate reda prin formula  $C_{12-y}A_7 \cdot yCaF_2$ , în care  $y < 1$ , lueru dovedit de variația parametrului reticular și a indicelui de refracție. În acest sens s-a pus la punct o instalatie originală pentru determinarea indicelui de refracție pe pulberi, prin metoda microscopică.

2. S-a realizat studiul comparativ al proprietăților hidraulice ale  $C_{12}A_7$ ,  $C_{11}A_7 \cdot CaF_2$  și  $C_{11}A_7 \cdot CaCl_2$  sintetizați la  $1250^{\circ}C$ , stabilindu-se că în timp ce viteza de interacțiune cu apa acestor compuși este în concordanță cu ordinea de stabilitate prezentată în literatura de specialitate:



rezistențele mecanice ale acestor compuși variază în ordinea:



Faptul că  $C_{11}A_7 \cdot CaCl_2$  dezvoltă rezistențe mecanice mai bune decât  $C_{11}A_7 \cdot CaF_2$  prezintă o importanță deosebită, deoarece  $CaCl_2$  este mai accesibilă decât  $CaF_2$  și se poate introduce cu mai multă ușurință în amestecul de materii prime (sub formă de soluție).

3. Studiile întreprinse asupra halogenoaluminatilor de calciu,  $C_{11}A_7 \cdot CaX_2$  ( $X=F$  și sau  $Cl$ ), sintetizați în intervalul de temperatură  $1000-1200^{\circ}C$  au arătat că:

- vîrsta de interacțione cu apa a acestor halogenocaluminatî este influențată în mare măsură de compoziție și mai ales de temperatură de ardere;

-  $C_{11}A_7 \cdot CaCl_2$  dă rezultatele cele mai bune pentru temperaturi cuprinse între  $1050-1150^{\circ}C$ , iar  $C_{11}A_7 \cdot CaF_2$  pentru temperaturi cuprinse între  $1150-1200^{\circ}C$ . Important de subliniat este faptul că pentru temperaturi de sinteză mai mici decât  $1200^{\circ}C$  cloroaluminatul prezintă vîrste de interacțione cu apa mai lente decât fluorocaluminatul;

- cloroaluminatul de calciu prezintă comportare mai bună decât fluorocaluminatul de calciu, atât în ceea ce privește valoarea rezistențelor mecanice dezvoltate cât și posibilitatea de reglare a timpului de priză în limite mai largi.

4. Determinările experimentale privind influența unor adăosuri întirzietoare asupra proprietăților hidraulice ale halogenocaluminatîlor de calciu arată că:

- acidul boric și acizii dicarboxilici (fumaric, adipic) pot fi utilizati ca întirzitori de priză pentru halogenocaluminatî de calciu, dar acidul optim și cantitatea optimă depind de compoziția halogenocaluminatului și temperatura sa de ardere;

- adăosul optim pentru  $C_{11}A_7 \cdot CaF_2$  obținut la  $1150^{\circ}C$  este acidul boric în proporție de  $0,5 - 0,75\%$ , iar pentru  $C_{11}A_7 \cdot CaCl_2$  - acidul boric, adipic sau fumaric, în proporție de  $0,5\%$ , dau rezultate asemănătoare.

5. Studiile întreprinse asupra influenței temperaturii de ardere asupra conținutului de halogeni din halogenocaluminatî de calciu au arătat că:

- pierderea de halogeni din probe, prin volatilizare, depinde de temperatura de ardere și mai ales de conținutul inițial de halogeni, în toate cazurile fiind mai mare în cazul clorului decât în probele similare cu fluor;

- pentru probe cu raportul molar  $CaO:Al_2O_3:CaX_2 = 11:7:n$ , în care  $n < 1$ , pierderea de halogen este de aproximativ 21% în cazul clorului (la temperatura de  $1200^{\circ}C$ ) și de aproximativ 9% în cazul fluorului (la temperatura de  $1250^{\circ}C$ ). Pentru  $n > 1$ , pierderea de halogeni crește rapid cu creșterea lui  $n$  și cu creșterea temperaturii;

- alura curbelor de variație a conținutului de halogen din probele cu  $n > 1$  arată că pentru compoziția corespunzătoare raportului molar  $CaO:Al_2O_3:CaX_2 = 11:7:1$  (adică halogenocaluminat-

lui de calciu) volatilitatea halogenului scade mult, acesta fiind inclus în rețeaua cristalină a halogenocaluminatului, dar totuși și din aceste compozitii prin creșterea temperaturii peste 1150 °C în cazul cloroaluminatului și peste 1200 °C în cazul fluoroaluminatului se elimină halogen, cu formarea de  $C_{12}A_7$ , ceea ce are implicații majore pentru proprietățile hidraulice ale probelor. Aceste constatări au o importanță practică deosebită, ele sugerind că la obținerea cimenturilor cu conținut de  $C_{11}A_7 \cdot CaCl_2$  este indicat să nu se depășească 1150 °C, iar în cazul cimenturilor cu conținut de  $C_{11}A_7 \cdot CaF_2$  este indicat să nu se depășească temperatura de 1200 °C pentru a valorifica la maxim proprietățile hidraulice ale acestor halogenocaluminati.

6. Cercetările întreprinse pentru obținerea unor cimenturi în sistemul  $CaO-Al_2O_3-SiO_2-CaF_2$  au dovedit că prezența  $CaF_2$  în amestecul de materii prime determină modificări esențiale în compozitia fazală a probelor arse, constând în formarea  $C_{11}A_7 \cdot CaF_2$  în locul  $C_3A$  și creșterea proporțională a cantității de  $C_3S$ . Realizarea unor cimenturi fluoroaluminatice cu rezistențe mecanice ridicate, prin ardere la 1350 °C, impune utilizarea unor materii prime cu reactivitate sporită – cum este hidroscopicul de calciu și realizarea unui raport optim între  $C_3S$  și  $C_{11}A_7 \cdot CaF_2$ . Chiar și în acest caz însă rezistențele mecanice sunt încă sub valorile acceptate ținând cont de compozitia fazală a probelor.

7. Cimenturi cu întărire rapidă și rezistențe inițiale mari se pot obține prin adăosul de halogenocaluminat, anterior sintetizării, la cimenturi portland. Adăosul optim la un ciment P 400 este de 10% în cazul  $C_{11}A_7 \cdot CaCl_2$  și 15% în cazul  $C_{11}A_7 \cdot CaF_2$ . Influența adăosului de halogenocaluminat la cimenturi portland este însă puternic dependentă de compozitia cimentului la care se practică adăosul și de condițiile de sinteză a halogenocaluminatului.

8. Cercetările întreprinse pentru obținerea unor cimenturi cu temperatură joasă de ardere în paragenesa  $C_{11}A_7 \cdot CaCl_2-C_4AF-C_2S$  au arătat că:

– folosind amestecuri ale celor trei minerale, anterior prepararei, se pot imbunătăți proprietățile hidraulice ale cloroaluminatului în sensul scăderii convenabile a vitezei de interacțiune cu apa, concomitant cu ridicarea rezistențelor mecanice;

- folosind amestecuri de materii prime cu conținut de  $Fe_2O_3$  și  $SiO_2$  (alături de  $CaO$ ,  $Al_2O_3$  și  $CaCl_2$ ), prin ardere la  $1150^{\circ}C$  se obțin cimenturi care nu conțin cele trei minerale (conform compoziției calculate) ci sunt formate din soluții solide clorocaluminatice, rezultate prin includerea  $Fe_2O_3$  și  $SiO_2$  în rețeaua cristalină a clorocaluminatului. Aceste cimenturi, obținute la scară de laborator, prezintă proprietăți hidraulice superioare față de indicațiile din literatură, constând în viteză de infișajumne cu apă reglabilă în limite largi prin conținutul de  $Fe_2O_3$  și  $SiO_2$  din amestecul de materii prime și în rezistențe mecanice ridicate. Ca urmare aceste cimenturi constituie obiectul unei cereri de brevet.

9. S-a stabilit că pornind de la amestecuri de materii prime cu conținut de  $SiO_2$  și  $MgO$  (alături de  $CaO$ ,  $Al_2O_3$  și  $CaCl_2$ ) se pot obține cimenturi albe caracterizate prin temperatură joasă de ardere și întărire rapidă. Aceste cimenturi sunt constituite din soluții solide clorocaluminatice, cu conținut de  $SiO_2$  și  $MgO$ , care manifestă un efect pozitiv pronunțat asupra proprietăților hidraulice a clorocaluminatului de calciu și constituie obiectul unei cereri de inventie.

10. Studiul proceselor de hidratare a cimenturilor pe bază de soluții solide halogenocaluminatice a pus în evidență că produsele de hidratare după 7 zile sunt hidroaluminatii de calciu hexagonali:  $CAH_{10}$  și  $C_4AH_{13}$  alături de gibsit, în proporții variabile în funcție de compoziția cimentului de la care s-a pornit. Viteza de hidratare a cimenturilor este determinată de compoziție, iar la rîndul ei această viteză determină raportul cantitativ între  $CAH_{10}$  și  $C_4AH_{13}$ , pe de o parte și între fazele cristaline și fază gelică, pe de altă parte, precum și textura fazelor cristaline și conlucrarea acestora cu fază gelică. Studiul produselor de hidratare prin analiză termogravimetrică, difractometrie X și microscopie electronică permite corelarea rezistențelor mecanice ale probelor cu compoziția fazală și textura pietrei de ciment.

Prin întregul său conținut tesa a încercat să identifice condițiile optime de sinteză a halogenocaluminatilor de calciu și posibilitățile de valorificare la maxim a proprietăților hidraulice a acestor halogenocaluminati în vederea obținerii unor cimenturi cu temperatură joasă de ardere și întărire rapidă, care asigură importante avantaje economice.

### Bibliografie

1. Drăgoi, I. - Tehnologia liantilor și betoanelor, Vol.I,  
I.P."Traian Vuia" Timișoara, 1980.
2. Maly, P. - Stavivo, (7), 1961.
3. Teoreanu, I., Georgescu, M., Puri, A., Butucescu, N. - Materiale de Construcții, (1), 42, (1985), Vol.15.
4. Christensen, N.H. - World Cem. Tehn., (5), 238, (1981).
5. Butt, Iu., Timasev, V.V. - Trudi sovetskia po himii i tehnologii cementa, Moskva, april., 1961.
6. Solacolu, S. - Chimia fizicii a silicatiilor tehnici,  
Ed. Tehnică, București, 1968.
7. Ergov, L.D. - Visokoprocinie i bilstrotverdeiuscie tementi,  
Izdatelstvo "Budivelnik", Kiev, 1975.
8. Kravcenko, I.V., Vlesova, M.T., Iudnovici, E.E. - Visokoprocinie  
i osobo Bilstrotverdeiuscie portland tementi,  
Izd. lit. po stroit., Moskva, 1971.
9. Satarin, V.I. - Bilstrotverdeiuscie slakoportland tement,  
Izd. lit. po stroit., Moskva, 1970.
10. Budnikov, P.P. - Stroistva slakoportland tement sverh tonkavo  
pomole, Trudi N.I.I. Tementa, vip.9, Promstroizdat, 1956.
11. Semenovker, N.N. - Puti poviszenia kacestva slakoportland  
tementa, Trudi Giprotementa, vip.III, Stroizdat,  
Leningrad, 1962.
12. Satarin, V.I. - Tement, (4), 12, (1968).
13. Holin, I. - Vlianije tonkosti pomole na kacestvo slakoportland  
tementa, Informatione soobseenie N.I.I.Tementa,  
nr.25, Promstroizdat, 1955.
14. Satarin, V.I. - Nekatorie voprosi tehnologii proizvodstva,  
bilstrotverdeiusciva slakoportlandtamenta, Trudi  
Iujghipotementsa, vip.9, Stroizdat, 1967.

15. Butt, Iu.M. - Isledovanie protesov tverdenia domenih slakov, Naucinie soobscenie N.I.I. Tementa, nr.36, Gostroizdat, 1959.
16. Teoreanu, I. - Bazele tehnologiei liantilor, Ed. Tehnică, Bucureşti, 1975.
17. Palei, A.M. - Tement, (4), 23, (1958).
18. Gherman, M.I., Sahmagon, N.V. - Tement, (2), 17, (1959).
19. Iaughinina, I.G. - Tement, (4), 20, (1961).
20. Brevet SUA - nr. 4319927.
21. Nikiforov, Iu.V., Svatovskaja, M.B., Tintiper, M.S. - Tement, (8), 5, (1983).
22. Pagenko, A.A., Miasnikova, E.A., Gumen, V.S. - Stroit materiali izdelia i san. tehn., Kiev, (6), 40, (1983).
23. Karibaev, K.K., Pagenko, A.A. - "5 SILICHEM", Brno, 1981.
24. Kugličkii, N.N., Tuliaev, S.H., Bejanov, S.E. - Stroit materiali i konstrukcii, (2), 22, (1984).
25. Guliamov, M.G., Musaev, E.M., Hodjaev, O.F. - Ysb. him. J., (6), 53, (1982).
26. Budnikov, P.P. - Cement-Warno-Gips, 17, (2), 39, (1962).
27. Teoreanu, I., Muntean, M. - Rev. Roum. Chem., 19, (9), 1483, (1974).
28. Okorokov, S.D. s.a. - Tement, (3), 6, (1964).
29. Pankratov, V.L., Lopatnikova, L.Ia. - Tement, (5), 19, (1970).
30. Lopatnikova, L.Ia., Pankratov, V.L. - Tement, (8), 8, (1969).
31. Kuznetsov, T.V., Kravcenko, I.V. - Tement, (9), 17, (1982).
32. Sicev, M.M., Korneev, V.I. - Tement, (4), 6, (1965).
33. Simanovski, R.E. - Tement, (5), 12, (1955).
34. Volkonski, B.V., Konovalov, P.E. - Minéralizatori v tementoi promislenosti, Moskva, Gostroizdat, 1964.
35. Akiyama Keiiki, Ohta Takeshi - "Rev. 34-th Gen. Meet. Cem. Assoc. Jap. Techn. Sess, Tokyo, 1980, Synops", p.61-62.

36. Brevet URSS - nr. 863533.
37. Brevet URSS - nr. 975632.
38. Brevet URSS - nr. 973496.
39. Brevet URSS - nr. 1193138.
40. Dmitrieva, G.G., Koughia, M.V. - Tement, (3), 18, (1982).
41. Tandileva, K.B., Sicev, M.M. - Tement, (3), 16, (1982).
42. Brevet URSS - nr. 1020393.
43. Astahova, M.A., Semcenko, I.A. - Tement, (10), 15, (1981).
44. Brevet URSS - nr. 2783967.
45. Spacu, G. ! Revista de chimie, 5, (3), 139, (1954).
46. Atakuziev, T.A., Bondarenko, M.V., Tulipov, V.H. - Him. prom.-st., (3), 156, (1983).
47. Brevet URSS - nr. 947118.
48. Brevet R.P.Poloni - nr. 49896.
49. Cerepanova, V.N., Abubakirova, F.M., Sekolova, V.I. - "Ekol. tehnol.: Pererab. prom. othodov v stroit materiali", Sverdlovsk, 1984.
50. Daniugovskii, S.I., Nikiforov, Iu.V., Sudakov, L.G. - Povis kacestva i ulucis assortimenta tementov, Moskva, 1981.
51. Brevet URSS - nr. 2808654.
52. Brevet URSS - nr. 897728.
53. Brevet URSS - nr. 990715.
54. Brevet URSS - nr. 903329.
55. Koslova, V.K., Ovciarenko, G.I. - Tement, (8), 4, (1985).
56. Pivovar, A.G., Gonciar, V.Ia, Gorina, A.A. - Tv. meet, (11), 56, (1985).
57. Brevet URSS - nr. 1188128.
58. Brevet URSS - nr. 895949.
59. Brevet URSS nr. 895948.

60. Kudowski, W., Taksuk, L. - Cement-Warne-Gips, 36, (10-11), 271, (1983).
61. Muradov, A.M. - "Nov. stroit. materiali i izdelia, izgotovl. na base mest. sifra", Baku, 1985.
62. Stark, J., Müller, A., Rümpler, K., Mielke, I. - Mat. de Constr., 12, (2), 75, (1981).
63. Stark, J., Müller, A., Rümpler, K. - Silikattechnik, 30, (12), 357, (1979).
64. Skark, J., Rümpler, K., Müller, A. - Silikattechnik, 31, (2), 50, (1979).
65. Stark, J., Müller, A., - Silikattechnik, 31, (6), 168, (1980).
66. Stark, J., Müller, A., Mielke, I. - Silikattechnik, 35, (9), 276, (1984).
67. Jost., K.H., Seydel, R., Müller, A., Stark, J., Mielke, I. - Silikattechnik, 36, (12), 375, (1985).
68. Seydel, R., Jost, K.-H., Stark, J., Müller, A. Mat. de Constr., 15, (3), 142, (1985).
69. Mielke, I., Müller, A., Stark, J. - Mat. de Constr., 15, (3), 138, (1985).
70. Matkoviči Tonis, Carin Vladimir - Amer. Ceram. Soc. Bull., 60, (8), 825, (1981).
71. Juhász, A.Z., Opoczky, L. - Szilikátek mechanikai aktiválása finomörlessel, Akadémiai Kiadó, Budapest, 1982.
72. Brevet RDG - nr. 142704.
73. Brevet RDG - nr. 212955.
74. Brevet RDG - nr. 138197.
75. Brevet RDG - nr. 221234.
76. Brevet RFG - nr. 3414196.
77. Brevet R.S.Cehoslovacă - nr. 227542.
78. Feng Xiuji, Zhu Yufeng - J. chim. silic. soc., 12, (1), 32, (1984).

79. Brevet Japonia - nr. 49-67182.
80. Kulikova, T.G., Zosulia, P.V. - Tement, (7), 11, 1982.
81. Rankin, G.A., Wright, F.E. - Amer. J. Sci. 29, 1, 1915.
82. Taylor, H.F.W. - The Chemistry of Cements, Vol.I și II, Academic Press, London-New York, 1964.
83. Teoreanu, I. - Bazele Tehnologiei Lianților, Ed. tehnică, București, 1975.
84. Teoreanu, I., Moldovan, V., Georgescu, N., Muntean, M., Puri, A. - Bazele fizico-chimice ale întăririi liantilor anorganici, Ed. didact. și pedagogică, București, 1972.
85. Teoreanu, I., Ciocea, N. - Lianți, mase și betoane refractare, Ed. tehnică, București, 1977.
86. Nurse, R.W., Welch, J.H., Majumdar, A.J. - Trans. Brit. Ceram. Soc., 64, (6), 323-332 (1965).
87. Nurse, R.W., Welch, J.H., Majumdar, A.J. - Trans. Brit. Ceram. Soc., 64, (9), 409-419 (1965).
88. Jeevaratnam, J., Glasser, F.P.; Dent Glasser; L.S. - J. Amer. Ceram. Soc., 47, (2), 105-106, (1964).
89. Jeevaratnam, J., Dent Glasser, L.S., Glasser, F.P. - Nature, 194, (4830), 764 (1962).
90. Brisi Cesare - Cemento, 80, (3), 155, (1983)
91. Gorskov, V.S., Timashev, V.V., Savelov, V.G. - Metodi fiziko-himiceskovo analiza viajuscih vescestv, Visšnia škola, Moskva, 1981.
92. Satarin, V.I. - Tement, (3), 11, (1957).
93. Torepov, N.A., s.a. - Tement, (4), 12, (1955).
94. Okorekov, S.D., s.a. - Tement, (4), 7, (1962).
95. Volkonskii, B.B. - Tement, (9), 13, (1971).
96. Sango Hiroyuki, s.a. - Gyps and Lime, (197), 183, (1985).
97. Butt, Iu.M., Timashev, V.V. - Tement, (9), 7, (1974).
98. Mendez, P.M., s.a. - Proc. Brit. Ceram. Soc. (35), 127, (1984).

99. Gustav Krystina - Cement. Warne. Gips, 37, (9), 267, (1984).
100. Lughinina, I.G., Vorovlev, A.V. - Tement, (7), 9, (1982).
101. Blanco-Valera, M.T. - Com. min. Concr. Res., 14, (3), 397, (1984).
102. Nikiforev, Iu.M. - Tement, (8), 5, (1983).
103. Vlasova, M.T., Kravcenko, I.V. - Tement, (4), 13, (1977).
104. Huang, W.H., Jons, W.D. - Anal. Chim. Acta, 37, (4), 508, (1967).
105. Iskrant, A. - Zement-Kalk-Gips, (10), (1972).
106. Vlasova, M.T. - Tement, (3), 9, (1979).
107. Brevet Marea Britanie - nr. 1386790.
108. Lughinina, I.G. - Tement, (0), 15, (1979).
109. Brevet URSS - nr. 3211145.
110. Brevet URSS - nr. 3219168.
111. Brevet URSS - nr. 3253015.
112. Brevet URSS - nr. 3261760.
113. Nudelman, B.I., Bikbaev, M.Ia - VII Int. Congr. on the Chem. Com. Paris, 1980.
114. Szvenickij, A.Sz., Ban, I.M. - Tement, (1), 2, (1980).
115. Révay, M., Bényei, K. - Epítőanyag, 37, (1), 1, (1985).
116. Brevet Japonia - nr. 53-9531.
117. Bilkov, V., s.a. - Godign. him. tehnol. inst., Sofia, 27, (2), 17, (1980).
118. Brevet Japonia - hr. 55-86406.
119. Brevet Japonia - nr. 56-31137.
120. Brevet Japonia - nr. 53-9531.
121. Brevet Japonia - nr. 56-9254.
122. Brevet SUA - hr. 3864138.
123. Brevet RFG - nr. 3130459.
124. Brevet Japonia - nr. 56-5366.
125. Brevet Japonia - hr. 33332.

126. Brevet Japonia - nr. 47-74384.
127. Okorekov, S.D., s.a. - Tement, (4), 7, (1962).
128. Okneanova, E.Z., Kramer, G.L. - Tement, (3), 4, (1964).
129. Atakuziev, T.A., Mirzaev, F.M. - Sulfominalnie tementi na osnove fosfoghips, Izdatelstvo "Pan" Uzbeckoi SSR, Tashkent, 1979.
130. Atakuziev, T.A., s.a. - Him. prom. st., (3), 156, (1983).
131. Atakuziev, T.A., s.a. - Izv. vuzov. Str.-vo i exhit., (3), 70, (1984).
132. Ahmedov, M.A., Atakuziev, T.A. - Fosfoghips, Izdatelstvo "Pan", Uzbeckoi S.S.R., 1980.
133. Kuznetova, T.V. - Epitanyag, 34, (3), 110, (1982).
134. Brevet SUA - nr. 132666.
135. Brevet SUA - nr. 143667.
136. Brevet Japonia - nr. 54-90295.
137. Brevet R.S. Cehoslovakii - nr. 225492.
138. Brevet URSS - nr. 1174401.
139. Brevet URSS - nr. 3412989.
140. Kutateladze, K.S., Gabadadze, T.G. - Soobshch. A.N. G.S.S.R., 113, (2), 309, (1984).
141. Brevet Japonia - nr. 57-200252.
142. Brevet Japonia - nr. 57-156347.
143. Brevet SUA - nr. 289589.
144. Brevet Japonia - nr.
145. Brevet SUA - nr. 440431.
146. Brevet Japonia - nr. 57-183339.
147. Kravcenko, I.V., Kuznetsova, T.V. - "Himia i tehnologiya spetsialnykh tementov", Stroizdat, Moskva, 1979.
148. Gabadadze, T.G., Suladze, I.S. - Stroit. materiali, (3), 14, (1984).
149. Brevet URSS - nr. 3219077.

150. Brevet URSS - nr. 3009262.
151. Brevet URSS - nr. 3342907.
152. Brevet URSS - nr. 1006403.
153. Drăgoi, I., Lazău, I., Sandu, A. - Materiale de Construcții, 14, (4), 178, (1984).
154. Bechereșcu, D., Lazău, I., Menessy, I. - Cerere de inovație, I.P. "Traian Vuia", nr. S/276, 27.XI.1989:
155. Winter, F., Lazău, I., Menessy, I., Marz, F. - Metode de investigație și de analiză din chimia solidului, I.P. "Traian Vuia", Timișoara, 1983.
156. Drăgoi, I., Lazău, I. - A V-a Conferință de chimie și inginerie chimică, București, 22-23 oct., 1987.
157. Drăgoi, I., Lazău, I., Taloș, F., Jurock, M. - Materiale de Construcții, 19, (2), 73, (1989).
158. Drăgoi, I., Lazău, I., Răneanu, E. - Materiale de Construcții, (în curs de apariție), 19, (4), 227, (1989).
159. Drăgoi, I., Lazău, I., Jureck, M. - "Zilele academice timișene", Timișoara, 25-27 mai, 1989.
160. Jeffery, P.G. - Metode chimice de analiză a rocilor, Editura tehnicoă, București, 1983.
161. Drăgoi, I., Lazău I. - Materiale de Construcții, 16, (2), 88, (1986).
162. Drăgoi, I., Lazău, I. - Al 2-lea Simpozion "Materiale actuale și de perspectivă", București, 11 nov., 1987. 57-13511.
163. Jlavelena, M.P., Jawed, I. - "Cem. and, Concr. Res", 12, (3), 399, (1982).
164. Drăgoi, I., Drăgoi, A., Lazău, I., Vlaicu, S. - Al 2-lea Colocviu Național "Fundamente în știința silicatilor", București, aprilie 1986, p.59.
165. Brevet RSR - nr. 93046.
166. Brevet RSR - nr. 94634.

167. Brevet RSR - nr. 94635.
168. Brevet RSR - nr. 94636.
169. Lazău, I., Menessy, I., Vlaicu, S. - Al 2-lea Colocviu Național "Fundamente în știința silicatilor" București, aprilie, 1986, p.182.
170. Drăgoi, I., Lazău, I., Drăgoi, A. - Al 2-lea Colocviu Național "Fundamente în știința silicatilor" București, aprilie, 1986, p.55.
171. Becherescu, D., Cristea, V., Menessy, I. - Metode fizice în chimia silicatilor. Editura științifică și enciclopedică, București, 1977.
172. Drăgoi, I., Lazău, I., Jureă, M. - Materiale de Construcții, 19, (3), (1989).
173. Drăgoi, I., Lazău, I., Jureă, M. - Cerere inventie, Dosar OSIM - nr. 136251/1988.
174. Drăgoi, I., Lazău, I. - Cerere inventie, Dosar OSIM - nr. 139571/1989.
175. Drăgoi, I., Lazău, I., Stefan, M., Nestase, D. - "Zilele academice timișene", Timișoara, 25-27 mai, 1989.